

SPIS TREŚCI

	Str.
1. Marian PASKO: Wąskopasmowy filtr RC-GIC zawierający okresowo sterowane parametry	5
2. Marian PASKO: Wszecchprzepustowy filtr drugiego rzędu z wykorzystaniem filtru środkowoprzepustowego z parametrami sterowanymi okresowo	13
3. Marian PASKO, Lesław TOPÓR-KAMIŃSKI: Filtr aktywny RC o strukturze równoległej przełączanej	19
4. Zygmunt GARCZARZYK: Analiza numeryczna pewnej klasy nieliniowych obwodów rezystancyjnych	31
5. Stanisław FRYCZ, Lesław TOPÓR-KAMIŃSKI: Przełącznikowo-kondensatorowy układ mnożący	47
6. Lesław TOPÓR-KAMIŃSKI: Połączenia elementów osobliwych z dwójnikami klasycznymi	55
7. Jan CHOJCAN: Obliczenie wrażliwości wyższych rzędów i ich zastosowanie	67
8. Andrzej DRYGAJŁO: Dyskretne diadyczne układy liniowe	81
9. Piotr PACANOWSKI: Dyskretna reprezentacja układów w oparciu o algebrę Banacha	91
10. Tadeusz GLINKA: Silnik piezoelektryczny	97
11. Krzysztof KLUSZCZYŃSKI: Harmoniczne przestrzenne przepływu w maszynach asynchronicznych	111
12. Roman MIKSIEWICZ: Silnik jednofazowy o dziewięciu układach połączeń uzwojeń stojana	121
13. Aleksander FRĘCHOWICZ: Metodyka identyfikacji parametrów modelu matematycznego układu elektromaszynowego na podstawie jego charakterystyki częstotliwościowej	131
14. Maciej SIWCZYŃSKI, Zuzanna SIWCZYŃSKA: Równania funkcyjne w teorii układów o parametrach rozłożonych	139

Marian PASKO

Instytut Podstawowych Problemów
Elektrotechniki i Energoelektroniki
Politechnika Śląska

WĄSKOPASMOWY FILTR RC-GIC ZAWIERAJĄCY OKRESOWO
STEROWANE PARAMETRY

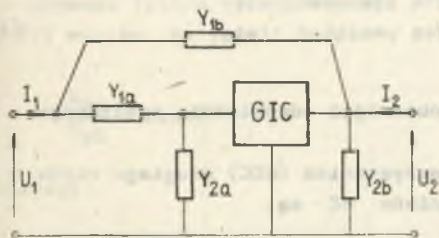
Streszczenie. W artykule przedstawiono podstawową sekcję wąskopasmowego filtra RC z wykorzystaniem uogólnionego konwertera impedancji (GIC). Syntezę oparto o model syntezy Yanagisawy dla konwerterów impedancji ujemnej. Przedstawiono wpływ na dobroć Q przestrajanych okresowo parametrów filtra. Rozważono wrażliwość $S_{x, \omega}^Q$,

$S_{x, \omega}^Q$ $S_x^{|D(j\omega)|}$ proponowanego filtra na zmiany parametrów.

1. Wstęp

W wielu urządzeniach pomiarowo-kontrolnych istnieje potrzeba stosowania filtrów o przestrajanych charakterystykach. Przestrajanie to może odbywać się np. poprzez zmianę wartości przewodności. W pracy zaproponowano model filtra wąskopasmowego wykorzystując uogólniony konwerter impedancji (GIC) drugiego rzędu, który prowadzi do struktury filtra mającego dwie uziemione przewodności, które można łatwo przestrajac.

2. Analiza filtra



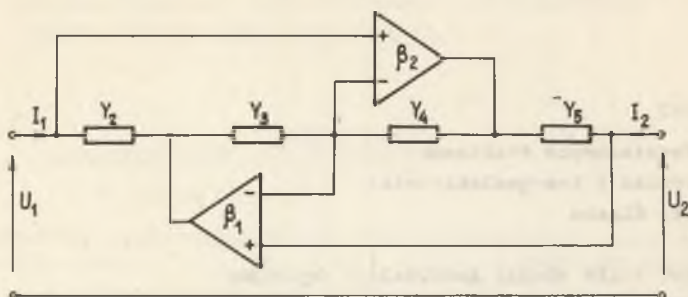
Rys. 1

Zmodyfikowany model syntezy Yanagisawy [2], [9], przedstawiono na rys. 1, w którym: Y_{1a} , Y_{2a} , Y_{1b} , Y_{2b} są to dwójniki RC. Element (GIC) jest czwórnikiem aktywnym o macierzy łańcuchowej,

$$\mathbf{A} = \begin{bmatrix} 1 & 0 \\ 0 & k(s) \end{bmatrix} \quad (1)$$

gdzie:

$$k(s) = \text{const.}$$



Rys. 2

Na rysunku 2 przedstawiona jest jedna z możliwych realizacji GIC [1], [2], [4] z wykorzystaniem dwóch wzmacniaczy operacyjnych. Dla nieskończenie dużych współczynników wzmocnienia β_1 i β_2 układ z rys. 2 ma macierz \mathbf{A} o postaci:

$$\mathbf{A} = \begin{bmatrix} 1 & 0 \\ 0 & \frac{Y_2 Y_4}{Y_3 Y_5} \end{bmatrix} \quad (2)$$

Przez dobór odpowiednich admittancej możliwa staje się realizacja dwójników aktywnych o wysokiej dobroci i o impedancjach typu αs^2 , βs , $\gamma \frac{1}{s^2}$.

Transmitancja napięciowo-napięciowa układu z rys. 1 ma postać

$$K_U(s) = \frac{U_2(s)}{U_1(s)} = \frac{Y_{1a} + k(s) Y_{1b}}{Y_{1a} + Y_{2a} + k(s)(Y_{1b} + Y_{2b})} \quad (3)$$

Z relacji (3) wynika, że transmitancję napięciowo-napięciową filtra pasmowego postaci

$$K_U(s) = \frac{H_0}{s^2 + 2\zeta s + \omega_0^2} \quad (4)$$

można zrealizować na wiele sposobów dobierając odpowiednio admittancej Y_{1a} , Y_{2a} , Y_{1b} , Y_{2b} oraz $k(s)$.

W pracy zaproponowano strukturę z wykorzystaniem (GIC) drugiego rzędu o $k(s) = ks^2$ i wówczas admittancej dwójników RC są:

$$Y_2 = sC_2, \quad Y_3 = G_3, \quad Y_4 = sC_4, \quad Y_5 = G_5$$

natomiast

$$Y_{1a} = sC_{1a}, \quad Y_{1b} = 0, \quad Y_{2a} = G_{2a}, \quad Y_{2b} = G_{2b}$$

Dla powyższych admitancji transmitancja (3) filtru ma postać:

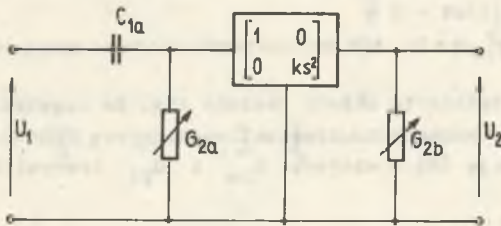
$$K_U(s) = \frac{\frac{C_{1a}}{kG_{2b}} s}{s^2 + \frac{C_{1a}}{kG_{2b}} s + \frac{G_{2a}}{kG_{2b}}} = \frac{Ns}{s^2 + 2\sigma s + \omega_0^2} = \frac{N(s)}{D(s)} \quad (5)$$

gdzie:

$$k = \frac{C_2 C_4}{G_3 G_5}$$

$$\omega_0 = \sqrt{\frac{G_{2a}}{kG_{2b}}} \quad (6)$$

$$Q = \frac{\omega_0}{2\sigma} = \frac{\sqrt{kG_{2a}G_{2b}}}{C_{1a}} \quad (7)$$



Rys. 3

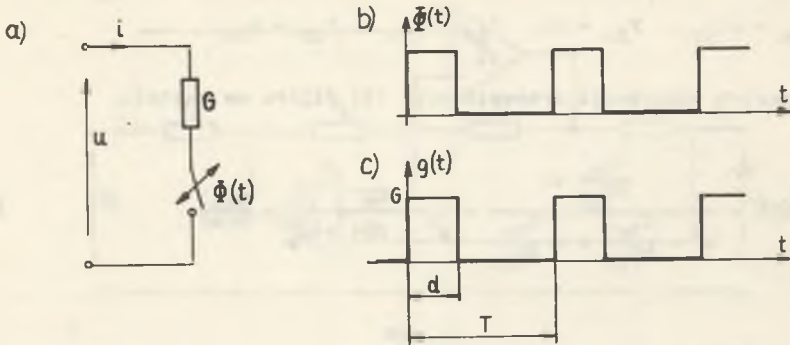
Schemat filtru wąskopasmowego przedstawiono na rys. 3. Z relacji (6) i (7) wynika, że jeżeli będziemy zmieniać G_{2a} i G_{2b} , tak aby

$$\frac{G_{2a}}{G_{2b}} = \text{const}$$

wówczas

$$\omega_0 = \text{const},$$

a zmieniać się będzie dobroć Q realizowanego filtru.



Rys. 4

Przełączanie G_{2a} i G_{2b} można realizować np. poprzez sterowanie kluczem tak jak przedstawiono to na rys. 4a. Niech klucz zmienia swe położenie wg funkcji podanej na rys. 4b, wówczas przebieg przewodności $g(t)$ zmienia się zgodnie z rys. 4c.

Średnia przewodność za okres przyjmie postać:

$$\bar{G}(t) = \frac{1}{T} \int_0^d g(t) dt = G \frac{d}{T} \quad (8)$$

Celem poprawności działania układu zakłada się, że częstotliwość kluczkowania jest znacznie większa od częstotliwości pracy filtru.

Wstawiając relację (8) w miejsce G_{2a} i G_{2b} transmitancja (7) przyjmie postać:

$$K_u(s) = \frac{\frac{C_{1a} T}{kG_{2b} d}}{s^2 + \frac{C_{1a} T}{kG_{2b} d} s + \frac{G_{2a}}{kG_{2b}}} \quad (9)$$

stąd $Q_{sr} = Q \frac{d}{T}$, natomiast ω_0 pozostaje bez zmiany.

3. Wrażliwość

Wrażliwość S_x^Q , $S_x^{\omega_0}$ i $S_x^{|D(j\omega)|}$ określono wg klasycznej wrażliwości podanej przez Bode'a [6].

$$S_x^T(s) = \frac{\partial T(s)}{\partial x} \cdot \frac{x}{T(s)}$$

Wpływ zmian parametrów czwórnika aktywnego na częstotliwościową charakterystykę filtra oceniono poprzez zmiany modułu transmitancji dla $s = j\omega$.

W tym celu wystarczy ocenić zmiany modułu mianownika, zmiana bowiem modułu licznika powoduje jedynie podniesienie charakterystyki bez zmiany kształtu [7].

Dla rozpatrywanego ogniwa filtra

$$S_k^Q = S_{G_{2a}}^Q = S_{G_{2b}}^Q = \frac{1}{2}, \quad S_{C_{1a}}^Q = -1$$

$$S_k^{\omega_0} = -\frac{1}{2} = S_{G_{2b}}^{\omega_0} = \frac{1}{2}, \quad S_{G_{2a}}^{\omega_0} = \frac{1}{2}.$$

Sumaryczna modułowa wrażliwość wynosi

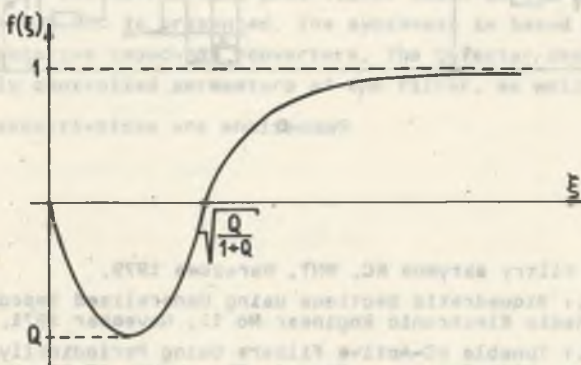
$$\sum |S_x^Q| = \frac{5}{2}; \quad \sum |S_x^{\omega_0}| = \frac{3}{2}.$$

Natomiast

$$S_k^{|D(j\omega)|} = \frac{\partial |D(j\omega)|}{|D(j\omega)|} \cdot \frac{k}{\partial k} = - \frac{\omega^2 G_{2b} (G_{2a} - k\omega^2 G_{2b}) k}{(G_{2a} - k\omega^2 G_{2b})^2 + (\omega C_{1a})^2}$$

Wyrażenie to przyjmie wartość ekstremalną dla $\omega = \omega_0 \sqrt{\frac{Q}{1+Q}}$ i wynosi Q .
Przebieg

$$S_k^{|D(j\omega)|} = f(\xi), \quad \text{gdzie} \quad \xi = \frac{\omega}{\omega_0} \quad \text{przedstawiono na rys. 5.}$$



Rys. 5

4. Uwagi końcowe

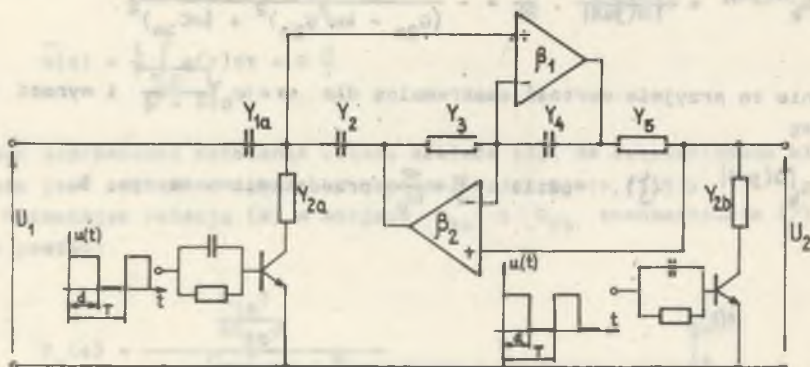
Zaprojektowano filtr o następujących danych $f_0 = 1000$ Hz, $Q = 50$, współczynnik $\frac{d}{T} = 0,5$, $T = 10 \mu\text{s}$, przyjęto $G_{2a} = G_{2b} = G = 10^{-3}$ S, $G_3 = G_5 = G_x = 10^{-4}$ S, $C_2 = C_4 = C_x$. Wówczas

$$C_{1a} = \frac{G_{2a}}{Q\omega_0} = 3,184 \text{ nF}, \quad C_x = \frac{G_x}{\omega_0} = 15,92 \text{ nF}.$$

Transmitancja (7) dla wartości znormalizowanych $R_0 = 1 \text{ k}\Omega$, $\omega_0 = 2\pi \cdot 1000 \frac{\text{rad}}{\text{s}}$ przyjmuje postać

$$K_U(\bar{s}) = \frac{0,02 \frac{T}{\bar{s}}}{\bar{s}^2 + 0,02 \frac{T}{\bar{s}} + 1} \quad (10)$$

Rzeczywisty model filtru został przedstawiony na rys. 6. Parametry rzeczywiste filtru pokrywają się z wyznaczonymi teoretycznie.



Rys. 6

LITERATURA

- [1] Białko M.: Filtry aktywne RC. WNT, Warszawa 1979.
- [2] Bruton L.T.: Biquadratic Sections using Generalized Impedance Converters. The Radio Electronic Engineer No 11, November 1971.
- [3] Bruton L.T.: Tunable RC-Active Filters Using Periodically Switched Conductances. IEEE Trans. on Circuit Theory VOL CT-20, No 3, May 1973.
- [4] Bruton L.T.: Multiple-Amplifier RC-Active Filter Design With Emphasis on GIC Realizations. IEEE Trans. on Circuits and Systems, VOL CAS-25, No 10, October 1978.

- [5] Hirano K.: Active RC All-Pass Filters Containing Periodically Operated Switches. IEEE Trans. on Circuits and Systems, September 1975.
- [6] Mitra S.K.: Analiza i synteza układów aktywnych liniowych. WNT, Warszawa 1974.
- [7] Pasko M.: Porównanie metod syntezy aktywnych filtrów RC. Materiały Seminarium VSSE Pilzen, Czechosłowacja 1978.
- [8] Temes C., Mitra S.K.: Teoria i projektowanie filtrów. WNT, Warszawa 1978.
- [9] Yanagisawa T.: RC Active Networks Using Current Inversion Type Negative Impedance Converters. IRE Trans. on Circuit Theory, No 3, 1967.

Recenzent: prof. dr inż. Stanisław Bolkowski

Wpłynęło do redakcji dnia 4.XI.1983 r.

УЗКОПОЛОСНЫЙ ФИЛТР RC-ОКС С ПЕРЕМЕННЫМИ ПАРАМЕТРАМИ

Резюме

В статье представлена реализация узкополосного фильтра RC с использованием обобщенного конвертора сопротивления ОКС. Синтез проведен на основе метода Янагисавы в классе RC-ОКС. Рассмотрена также чувствительность

S_x^Q , $S_x^{\omega_0}$, $S_x^{|D(j\omega)|}$ этого фильтра.

A NARROW BAND-PASS RC-GIC FILTER WITH PERIODICALLY CONTROLLED PARAMETERS

Summary

A basic link of the narrow band-pass filter based on the generalized impedance converter GIC is presented. The synthesis is based on Yanagisawa procedure for negative impedance converters. The Q-factor dependence on the periodically controlled parameters of the filter, as well as, its S_x^Q , $S_x^{\omega_0}$, $S_x^{|D(j\omega)|}$ sensitivities are analysed.

Marian PASKO

Instytut Podstawowych Problemów
Elektrotechniki i Energoelektroniki
Politechnika Śląska

WSZECHPRZEPUSTOWY FILTR DRUGIEGO RZĘDU
Z WYKORZYSTANIEM FILTRU ŚRODKOWOPRZEPUSTOWEGO
Z PARAMETRAMI STEROWANYMI OKRESOWO

Streszczenie. W artykule podano niektóre realizacje wszechprzepustowej sekcji drugiego rzędu przy zastosowaniu ogniwa filtra środkowoprzepustowego. Wybrano te realizacje filtrów środkowoprzepustowych, które odznaczają się łatwością przestrajania częstotliwości (ω_0), przy której $\varphi = -\pi$. Przestrajanie ω_0 odbywa się poprzez zmieniającą się przewodność sterowaną okresowo [4].

Wprowadzenie

Filtrem wszechprzepustowym nazywamy czwórnik o transmitancji operatorowej np. napięciowo-napięciowej postaci

$$K_U(s) = \frac{+ P(-s)}{P(s)}, \quad (1)$$

tj. funkcji o stałym module na osi urojonej i zmiennym argumentem.

Wielomian $P(s)$ jest wielomianem Hurwitza. W pracy poszukiwać będziemy transmitancji

$$K_U(s) = \frac{+ \frac{s^2 - as + b}{s^2 + as + b}},$$

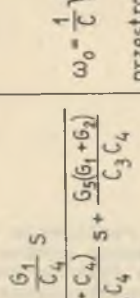
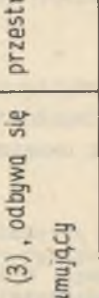
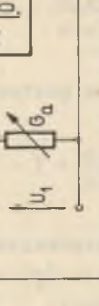
którą można przedstawić w postaci

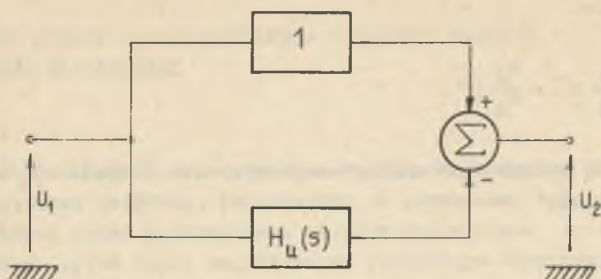
$$K_U(s) = \frac{s^2 - as + b}{s^2 + as + b} = 1 - \frac{2as}{s^2 + as + b} = 1 - H_U(s), \quad (2)$$

przy czym $H_U(s)$ jest transmitancją napięciowo-napięciową filtra środkowoprzepustowego. Zależność (2) można przedstawić jako połączenie równoległe układów o transmitancji:

- środkowoprzepustowej
- identycznościowej.

Tabela 1

l.p	Model filtra środkowoprzepustowego	Transmitancja $H_u(s) = \frac{2as}{s^2 + as + b}$ (3)	Częstotliwość ω_0
1	Model Briagmana [1] 	$H_u(s) = -\frac{\frac{G_1}{C_4} s}{s^2 + \frac{G_5(C_3 + C_4)}{C_3 C_4} s + \frac{G_5(G_1 + G_2)}{C_3 C_4}}$ Dla spełnienia warunku (3), jeżeli $C_3 = C_4 = C$ musi zachodzić $G_1 = 4G_5$	$\omega_0 = \frac{1}{C} \sqrt{G_5(4G_5 + G_2)}$ przestrajana przewodność G_2
2	Model z GIC I rzędu 	$H_u(s) = \frac{\frac{G_b}{C_b} s}{s^2 + \frac{G_b}{C_b} s + \frac{G_a}{k C_b}}$ Spełnienie warunku (3), odbywa się poprzez układ sumujący	$\omega_0 = \sqrt{\frac{G_a}{k C_b}}$ przestrajana przewodność G_a
3	Model z GIC II rzędu 	$H_u(s) = \frac{\frac{C_{1a}}{k C_{2b}} s}{s^2 + \frac{C_{1a}}{k C_{2b}} s + \frac{G_{2a}}{k G_{2b}}}$ Spełnienie warunku (3), jak wyżej	$\omega_0 = \sqrt{\frac{G_{2a}}{k G_{2b}}}$ przestrajana przewodność G_{2a} lub G_{2b}



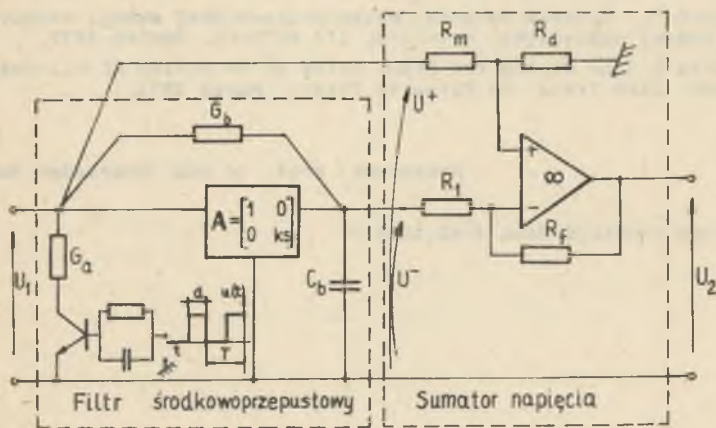
Rys. 1

Zasadę tę przedstawiono na rysunku 1 [5], [6].

Realizacja filtrów środkowoprzepustowych

Do realizacji filtrów środkowoprzepustowych wykorzystano te spośród znanych realizacji, w których w prosty sposób można przestrajać ω_0 , np. za pomocą sterowanej przewodności. Zmianę ω_0 uzyskuje się poprzez zmianę przewodności, której wartość średnia zależy od współczynnika wypełnienia. Wartość tę wyraża zależność $G(t) = G \frac{d}{T}$, przy spełnieniu warunku, że okres kluczowania T jest znacznie mniejszy od okresu sygnału wejściowego T_s [3], [4].

W tabeli 1 podano trzy różne realizacje filtrów środkowoprzepustowych. Na rys. 2 przedstawiono przykładowo wzzechprzepustową sekcję II rzędu przy zastosowaniu GIC I rzędu. Zastosowany w tym rozwiązaniu sumator napięcia opisany jest następującym wzorem, przy założeniu, że wzmacniacz operacyjny jest idealny i jeżeli $R_1 + R_f = R_m + R_d$.



Rys. 2

Zatem

$$U_2 = -\frac{R_f}{R_1} U^- + \frac{R_d}{R_1} U^+ \quad (4)$$

Z zależności (4) wynika, że współczynnik licznika funkcji $H_U(s)$ można dowolnie nastawić.

Uwagi końcowe

Z przedstawionych rozwiązań wynika, że układy te pozwalają w prosty sposób na przestrajanie ω_0 . Przestrajanie odbywa się poprzez zmianę jednej tylko przewodności. Idea (przestrajania) zmiany rezystancji czy też przewodności w obecnej chwili znajduje wielu zwolenników, dążąc do wprowadzenia tzw. układów R - przełączanych [2], [3], które mogą stać się konkurencyjne z tzw. układami C - przełączanymi. Projektowanie R - przełączanych układów może opierać się na wykorzystaniu klasycznych rozwiązań układów aktywnych RC.

LITERATURA

- [1] Biażko M.: Filtry aktywne RC. WNT, Warszawa 1979.
- [2] Geiger R.L., Allen P.E., Ngo D.T.: Switched-resistor Filters - a Continuous Time Approach to Monolithic MOS Filter Design. IEEE Trans. on CT, Vol. CAS-19, No 5, 1982.
- [3] Guziński A.: Filtry R - przełączane realizowane techniką MOS. Materiały VI KKTOiUE, Gliwice 1983.
- [4] Hirano K.: Active RC All-Pass Filters Containing Periodically Operated Switches. IEEE Trans. on Circuits and Systems, September 1975.
- [5] Kunicki T.: Synteza aktywnej wazechprzepustowej sekcji drugiego rzędu sterowanej napięciowo. Materiały III KKTOiUE, Gdańsk 1979.
- [6] Roberts G.: On Tuning the Group Delay of an Active RC All-Pass Resonators. IEEE Trans. on Circuits Theory, March 1973.

Recenzent: prof. dr inż. Stanisław Bołkowski

Wpłynęło do redakcji dnia 4.XI.1983 r.

**ВСЕХОЛОСНЫЙ ФИЛЬТР С ИСПОЛЬЗОВАНИЕМ ПОЛОСНОГО ФИЛЬТРА
С ПЕРЕМЕННЫМИ ПАРАМЕТРАМИ**

Р е з ю м е

В статье рассмотрены некоторые реализации всеполосных фильтров с использованием полосных фильтров. Рассмотрены те реализации полосных фильтров, в которых можно легко регулировать частоту для которой $\varphi = \pi$. Регулировку ω_0 производится через периодически управляемую изменяемую проводимость.

**A SECOND ORDER ALL-PASS LINK BASED ON THE BAND-PASS LINK
WITH PERIODICALLY CONTROLLED PARAMETERS**

S u m m a r y

In this paper there are presented some all-pass link realizations with the band-pass link application. Easy for tuning of ω_0 frequency for which $\varphi = -\pi$ realizations have been chosen.

This frequency is tuned by a change of a periodically controlled conductance.

Marian PASKO

Lesław TOPÓR-KAMIŃSKI

Institut Podstawowych Problemów
Elektrotechniki i Energoelektroniki
Politechnika Śląska

FILTR AKTYWNY RC O STRUKTURZE RÓWNOLEGŁEJ PRZEŁĄCZANEJ

Streszczenie. Przedstawiono sposób realizacji transmitacji zmienianej cyfrowo poprzez przełączanie struktury równoległej filtru, impulsami sterującymi o zmiennym współczynniku wypełnienia. Pokazano przykładową realizację filtru środkowoprzepustowego o regulowanej szerokości pasma.

1. Wprowadzenie

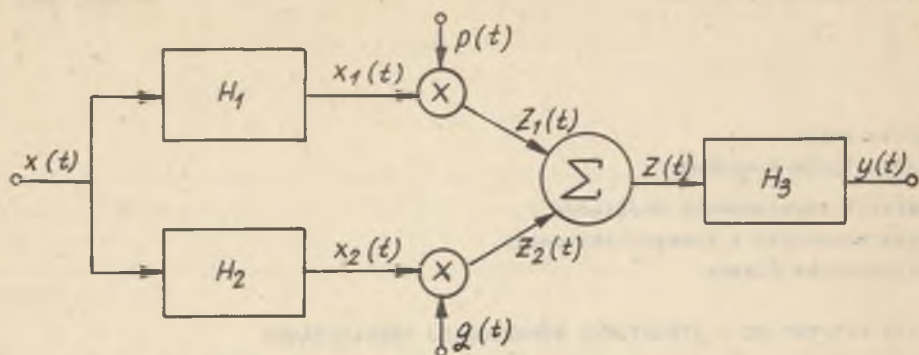
W związku z coraz powszechniejszym stosowaniem mikroprocesorów w układach sterujących, zachodzi często konieczność przestrajania parametrów torów analogowych sygnałem cyfrowym. Realizuje się to obecnie najczęściej poprzez bezpośrednią zmianę wartości pewnych elementów w filtrach analogowych, takich jak rezystancje lub współczynniki wzmocnienia przy zastosowaniu mnożących przetworników cyfrowo-analogowych [1], [3]. W niniejszej pracy przedstawiono sposób realizacji zmienianej cyfrowo poprzez przełączanie, struktury równoległej filtru, przy czym sterowaniu cyfrowemu podlega współczynnik wypełnienia impulsów sterujących przy ich stałej częstotliwości. Zasada ta bywała dotychczas stosowana przy zmianach wielkości rezystancji, przy czym wartość jej przyjmowana była jako średnia za okres przebiegu sterującego [2], [4], [5].

2. Ogólna zasada działania

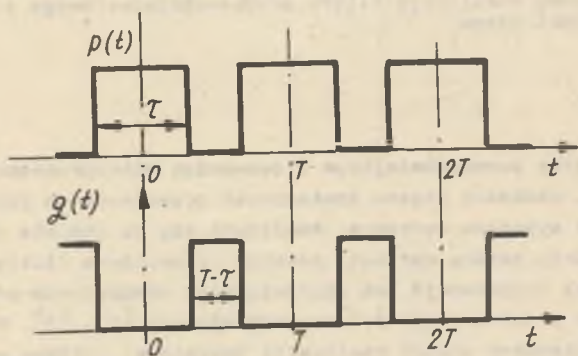
Na rysunku 1 przedstawiony jest blokowy schemat filtru o strukturze równoległej przełączanej.

W układzie tym: bloki H_1 i H_2 są filtrami podstawowymi o dowolnych z góry zaprojektowanych transmitancjach elementarnych, np. dolno- górno- lub środkowoprzepustowych.

Bloki mnożące reprezentują w ogólnym przypadku klucze jako elementy przełączające. Blok Σ jest sumatorem, a blok H_3 idealnym filtrem dolno-
przepustowym.



Rys. 1



Rys. 2

Na rysunku 2 przedstawione są przebiegi czasowe funkcji $p(t)$ i $q(t)$ sterujących kluczami.

Funkcje te opisane są relacjami:

$$p(t) = a \sum_{k=-\infty}^{\infty} S_c(k\pi a) e^{jk\omega_0 t} \quad (1)$$

$$q(t) = (1-a) \sum_{k=-\infty}^{\infty} S_c[k\pi(1-a)] e^{jk\omega_0 (t - \frac{T}{2})} \quad (2)$$

w których: $a = \frac{\tau}{T}$, $\omega_0 = \frac{2\pi}{T}$.

Współczynniki wypełnienia tych przebiegów sterowane są jednocześnie sygnałem cyfrowym w układzie opisanym na rys. 5, w ten sposób, że spełniona jest zawsze zależność:

$$p(t) \cdot q(t) = 0 \quad (3)$$

Transformaty Fouriera tych przebiegów wynoszą:

$$P(\omega) = 2\pi a \sum_{k=-\infty}^{\infty} \text{Sc}(k\omega_s a) \delta(\omega - k\omega_s) \quad (4)$$

$$Q(\omega) = 2\pi(1-a) \sum_{k=-\infty}^{\infty} \text{Sc}[k\omega_s(1-a)] \delta(\omega - k\omega_s) e^{-j\omega \frac{T}{2}} \quad (5)$$

Widma sygnałów wyjściowych z filtrów podstawowych wynoszą:

$$X_1(\omega) = H_1(\omega) X(\omega) \quad (6)$$

$$X_2(\omega) = H_2(\omega) X(\omega) \quad (7)$$

Natomiast sygnały Z_1 i Z_2 za kluczami mają widma:

$$Z_1(\omega) = \frac{1}{2\pi} [X_1(\omega) * P(\omega)] \quad (8)$$

$$Z_1(\omega) = a \sum_{k=-\infty}^{\infty} \text{Sc}(k\omega_s a) X_1(\omega - k\omega_s) \quad (9)$$

$$Z_2(\omega) = \frac{1}{2\pi} [X_2(\omega) * Q(\omega)] \quad (10)$$

$$Z_2(\omega) = (1-a) \sum_{k=-\infty}^{\infty} \text{Sc}[k\omega_s(1-a)] X_2(\omega - k\omega_s) e^{-j\omega \frac{T}{2}} \quad (11)$$

Sygnał wyjściowy z sumatora posiada widmo:

$$Z(\omega) = \sum_{k=-\infty}^{\infty} \left\{ a \text{Sc}(k\omega_s a) X_1(\omega - k\omega_s) + (1-a) \text{Sc}[k\omega_s(1-a)] X_2(\omega - k\omega_s) e^{-j\omega \frac{T}{2}} \right\} \quad (12)$$

Zakłada się, że sygnał wejściowy $x(t)$ ma ograniczone widmo, czyli

$$x(\omega) = 0 \quad \text{dla } |\omega| \leq \Omega \quad (13)$$

Natomiast pulsacja przełączania kluczy ω_s musi spełniać zależności:

$$\omega_s = \frac{2\pi}{T} \geq 2\Omega \quad (14)$$

Filtr H_3 teoretycznie powinien być idealnym filtrem dolnoprzepustowym o częstotliwości granicznej ω_d , przy czym winno zachodzić:

$$\Omega \leq \omega_d \leq \omega_s - \Omega \quad (15)$$

Sygnał wyjściowy $y(t)$ całego układu będzie miał wtedy widmo ograniczone do $k = 0$ i opisane relacją:

$$Y(\omega) = aX_1(\omega) + (1-a)X_2(\omega)e^{-j\omega\frac{T}{2}} \quad (16)$$

Wobec relacji (6) i (7) oraz założeniu, że $\omega_s \geq \Omega$ otrzymuje się transmitację całego filtru jako:

$$H(\omega) = \frac{Y(\omega)}{X(\omega)} = aH_1(\omega) + (1-a)H_2(\omega) \quad (17)$$

Jak wynika z relacji (17) przedstawiona na rys. 1 struktura przełączana filtru pozwala otrzymać wypadkową transmitancję jako sumę transmitancji filtrów podstawowych H_1 i H_2 wziętych z pewnymi wagami zależnymi od współczynnika wypełnienia a sterowanego sygnałem cyfrowym.

3. Filtr środkowo-przepustowy o regulowanej szerokości pasma

Spośród wielu możliwości realizacji filtrów sterowanych na jakie pozwala struktura z rys. 1 jako przykład rozpatrywany będzie filtr środkowo-przepustowy o regulowanej szerokości pasma. W tym przypadku filtry podstawowe H_1 i H_2 dobiera się jako elementarne ogniwa środkowoprzepustowe o tych samych częstotliwościach środkowych i wzmocnieniach:

$$\omega_{o1} = \omega_{o2} = \omega_o, \quad H_{1o} = H_{2o} = H_o \quad (18)$$

a różnych dobrociach Q_1 i Q_2 , przy czym:

$$Q_1 = nQ_2 \quad (19)$$

Zatem dla transmitancji H_1 i H_2 wyrażonych relacjami:

$$H_1(\omega) = \frac{jk\omega a_1}{a_0 - \omega^2 + ja_1\omega} \quad (20)$$

$$H_2(\omega) = \frac{jk\omega b_1}{b_0 - \omega^2 + jb_1\omega} \quad (21)$$

oraz wobec relacji (17), (18) i (19) otrzymuje się dla całego filtra:

$$H(\omega) = kJB \frac{C[a(1-n) + n] + jnB}{C^2 + jBC(1+n) - nB^2} \quad (22)$$

gdzie:

$$b_1 = na_1 \quad (23)$$

$$B = a_1\omega \quad (24)$$

$$C = a_0 - \omega^2 \quad (25)$$

Następnie można określić moduł transmitancji $H(\omega)$ dla częstotliwości znormalizowanej.

$$\zeta = \frac{\omega}{\omega_0} \quad (26)$$

oraz dobroci

$$Q = \frac{\omega_0}{a_1} \quad (27)$$

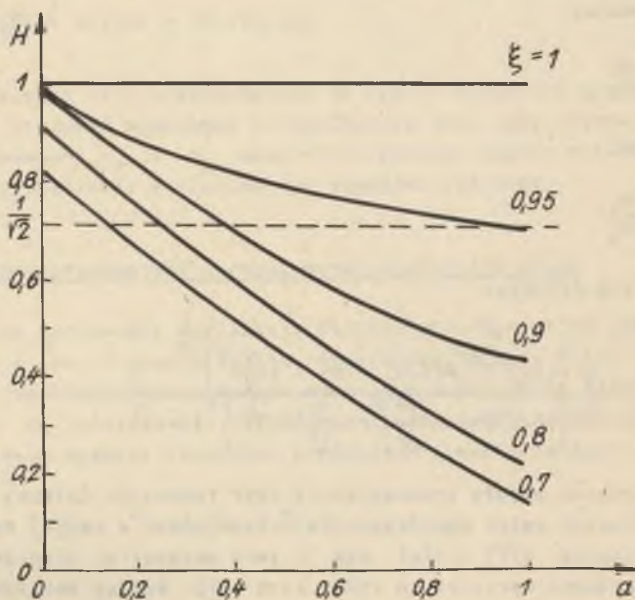
Otrzymuje się relację:

$$\frac{H(\zeta)}{H(1)} = \frac{k}{Q} \frac{\left\{ (1-\zeta^2)^2 [a(1-n) + n] + \left(\frac{n\zeta}{Q}\right)^2 \right\}^{\frac{1}{2}}}{\left[(1-\zeta^2) - n \frac{\zeta^2}{Q^2} \right]^2 + \left[\frac{\zeta}{Q} (1-\zeta^2) \right]^2 (1+n)^2} \quad (28)$$

Otrzymana postać modułu transmitancji jest trudna do dalszej analizy, zatem aby określić wpływ współczynnika wypełnienia a na jej wartość sporządzono diagram $H(\zeta) = f(a)$ dla ζ jako parametru. Diagram sporządzono dla przykładowych wartości $n = 10$ i $Q = 10$ według tablicy 1 i przedstawiono na rys. 3.

Tablica 1

$\xi \backslash a$	0	0,2	0,4	0,5	0,6	0,8	0,9	1
0,7	0,81	0,66	0,52	0,45	0,38	0,25	0,18	0,14
0,8	0,91	0,75	0,60	0,53	0,45	0,32	0,26	0,22
0,9	0,98	0,84	0,70	0,64	0,58	0,49	0,45	0,43
0,95	0,99	0,87	0,83	0,79	0,76	0,72	0,71	0,69
1	1	1	1	1	1	1	1	1



Rys. 3

Na diagramie linię przerywaną oznaczono poziom 3 dB spadku modułu wypadkowego transmitancji całego filtra. Na poziomie tym można odczytać wpływ wartości współczynnika wypełnienia a na szerokość pasma.

4. Realizacja praktyczna przykładowego filtra środkowoprzepustowego

W celu przebadania własności podanej struktury filtra zaprojektowano i wykonano filtr o własnościach jak w punkcie 3, którego schemat przedstawiono na rys. 4. Filtry podstawowe zrealizowano na wzmacniaczach W_2 i W_3 jako środkowoprzepustowe o częstotliwości $f_0 = 500$ Hz i dobrociach odpowiednio $Q_1 = 62,8$ oraz $Q_2 = 6,28$.

Funkcję przełączników spełniał układ scalony MCY 74066 sterowany z przetwornika sygnału cyfrowego na szerokość impulsu, którego schemat przedstawiony jest na rys. 5.

Charakterystyki modułu transmitancji całego filtra wykreślone na rejestratorze X-Y w skalach liniowych częstotliwości i wzmocnienia przedstawione są na rys. 6. Linie te są wykreślone odpowiednio dla pięciu wartości współczynnika wypełnienia $a = 0, \frac{1}{4}, \frac{1}{2}, \frac{3}{4}, 1$, co odpowiada dwubitowym dekoderom w układzie przetwornika z rys. 5.

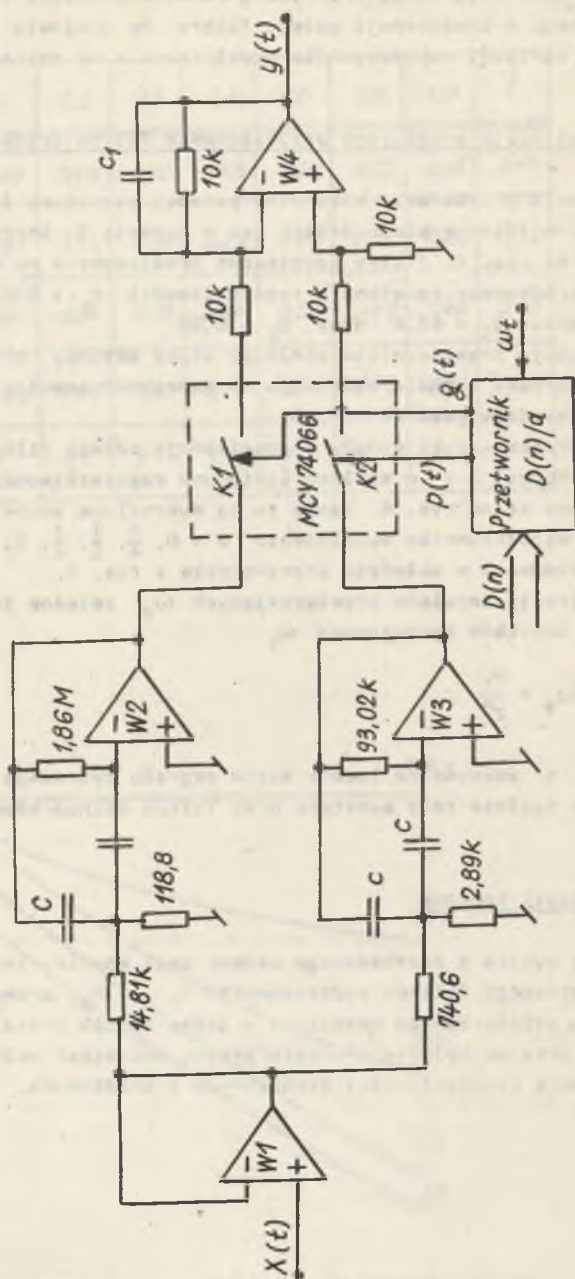
Pulsacja impulsów przełączających ω_s zależna jest od pulsacji przebiegu impulsów taktujących ω_t .

$$\omega_s = \frac{\omega_t}{2^n} \quad (29)$$

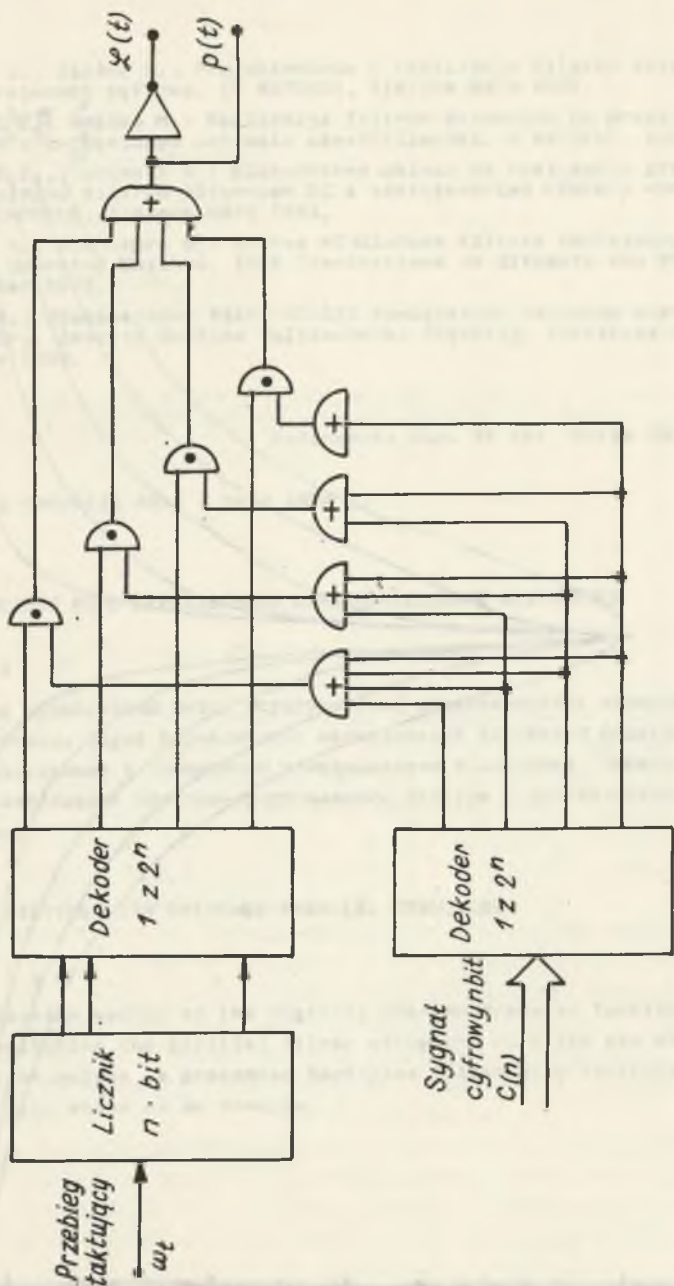
gdzie n maksymalna liczba bitów sygnału cyfrowego. Wzmacniacz W_4 na rys. 4 spełnia rolę sumatora oraz filtra dolnoprzepustowego.

5. Wnioski końcowe

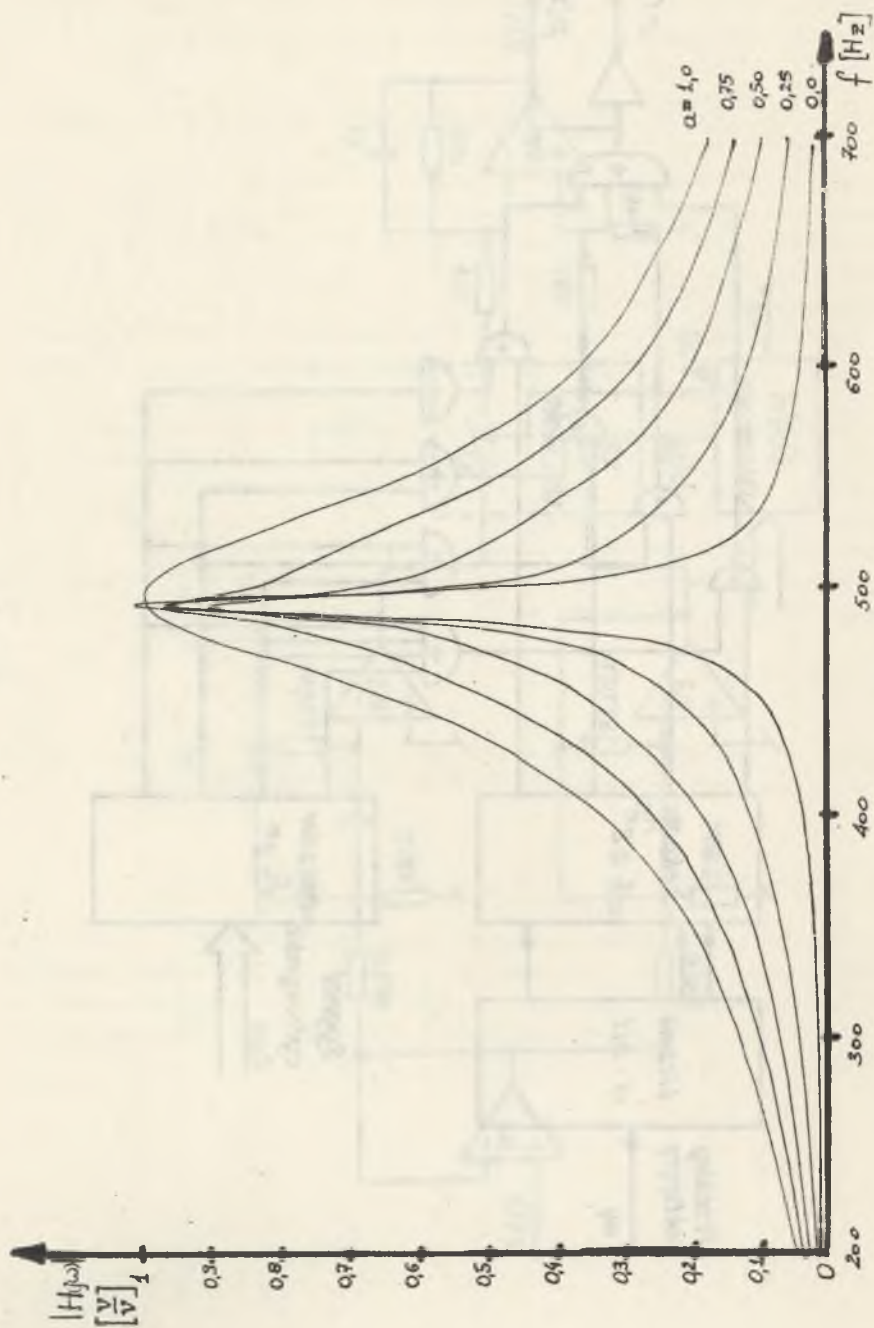
Jak wynika z przebadanego układu oraz analizy innych przypadków doboru transmitancji filtrów podstawowych H_1 i H_2 , przedstawiona struktura filtra przełączanego umożliwi w łatwy sposób przestrajanie szerokości pasma oraz nachylenia charakterystyk, natomiast mało efektywne jest przestrajanie częstotliwości granicznych i środkowych.



Rys. 4



Rys. 5



Rys. 6

LITERATURA

- [1] Żurada J., Biażko M.: Projektowanie i realizacja filtrów aktywnych RC przestrajanych cyfrowo. IV KKTOiUE, Zielona Góra 1981.
- [2] Czarnul Z., Biażko M.: Realizacja filtrów aktywnych RC przestrajanych cyfrowo o zwiększonym zakresie częstotliwości. V KKTOiUE, Łódź 1982.
- [3] Czarnul Z., Guzinski A.: Elementarne układy do realizacji przestrajanych cyfrowo filtrów aktywnych RC z zastosowaniem RZNSN o wzmacnieniu 1. IV KKTOiUE, Zielona Góra 1981.
- [4] Hirana K., Nishimura S.: Active RC All-Pass Filters Containing Periodically Operated Switches. IEEE Transactions on Circuits and Systems, September 1975.
- [5] Pasko M.: Wąskopasmowy filtr RC-GIC zawierający okresowo sterowane parametry. Zeszyty Naukowe Politechniki Śląskiej, Elektryka z. 95, Gliwice 1985.

Recenzent: doc. dr inż. Maria Jastrzębska

Wpłynęło do redakcji dnia 2 maja 1984 r.

АКТИВНЫЙ ФИЛЬТР RC С ПАРАЛЛЕЛЬНОЙ ПЕРЕКЛЮЧАТЕЛЬНОЙ СТРУКТУРОЙ

Резюме

В статье представлен метод осуществления характеристики изменяющей цифровым сигналом, через переключение параллельной структуры фильтра, управляемыми импульсами с переменным коэффициентом заполнения. Показано примерное осуществление полосно-пропускающего фильтра с регулируемой шириной пропускания.

ACTIVE RC FILTERS WITH SWITCHED PARALLEL STRUCTURE

Summary

A realization method of the digitally changed transfer function by the means of switching the parallel filter structure with the use of varying time duration pulses is presented. Band-pass filter with controlled band width has been shown as an example.

Zygmunt GARCZARZYK

Instytut Podstawowych Problemów
Elektrotechniki i Energoelektroniki
Politechnika Śląska

ANALIZA NUMERYCZNA PEWNEJ KLASY
NIELINIOWYCH OBWODÓW REZYSTANCYJNYCH

Streszczenie. W pracy przedstawiono metodę iteracyjną analizy rezystancyjnych obwodów opisywanych równaniami węzłowymi, która jest zbieżna globalnie.

1. Wstęp

Równanie

$$f(x) \stackrel{\text{df}}{=} Ag(A^t x + E) - AJ = 0 \quad (1)$$

przedstawia dla $n + 1$ węzłowego obwodu zawierającego m gałęzi, układ n nieliniowych równań węzłowych z n niewiadomymi potencjałami węzłowymi $x_1, 1 = 1, 2, \dots, n$. W równaniu tym A - oznacza zredukowaną macierz incydencji, E - wektor stałych wymuszeń napięciowych, J - wektor stałych wymuszeń prądowych, a $g(\hat{u}) = [g_1(\hat{u}_1), g_2(\hat{u}_2), \dots, g_m(\hat{u}_m)]^t$ wektor charakterystyk prądowo-napięciowych rezystorów nieliniowych i liniowych. Przy tym $\hat{u} = A^t x + E$ - oznacza wektor napięć na rezystorach.

Zastosowanie algorytmu Newtona-Raphsona do rozwiązania równania (1) prowadzi do znanej metody iteracyjnej, w której obwód nieliniowy jest przekształcony w obwód liniowy rozwiązywany metodą potencjałów węzłowych [1], [2]. W metodzie tej istnieje jednak problem zbieżności. Jest ona bowiem zbieżna jedynie lokalnie tzn., że przybliżenie początkowe $x^{(0)}$ winno być bliskie właściwemu rozwiązaniu x^* równania (1), aby uzyskany ciąg przybliżeń $x^{(1)}, x^{(2)}, \dots$ był zbieżny do x^* .

Wprawdzie twierdzenie Newtona-Raphsona-Kantorowicza ustala jak bliskie właściwemu rozwiązaniu musi być przybliżenie początkowe, aby zapewnić zbieżność, ale rezultat ten ma głównie znaczenie teoretyczne, gdyż jego wykorzystanie w praktyce nie jest łatwe, jeśli wręcz niemożliwe.

Pozostaje więc arbitralny wybór przybliżenia początkowego w oparciu o znajomość charakterystyk elementów nieliniowych. W praktyce prowadzi to do wielokrotnych prób, aż zostanie uzyskane rozwiązanie.

Przedstawione w pracy podejście do rozwiązania równania (1) oparte o znaną w analizie numerycznej metodę kontynuacji [3], [4], [5], pozwala tak zmodyfikować tę metodę analizy obwodu, by była ona zbieżna globalnie, tj. dla dowolnego przybliżenia początkowego $x^{(0)}$.

W oparciu o tę samą ideę w pracy [6] była prezentowana metoda numerycznego rozwiązania równania obwodu, w którym niewiadomymi są napięcia lub prądy rezystorów nieliniowych.

2. Metoda kontynuacji

Metoda kontynuacji jest na ogół zbieżna globalnie [5]. Idea tej metody jest następująca:

założymy, że

$$H(x, \lambda) = 0 \quad \text{dla } \lambda \in <0, 1> \quad (2)$$

jest rodziną równań nieliniowych zależnych od parametru λ taką, że

$$f(x) = H(x, 1) \quad (3)$$

Istotne przy tym jest by układ równań

$$H(x, 0) = 0 \quad (4)$$

był łatwy do rozwiązania.

Funkcja H nazywana jest często homotopią.

Jeżeli pierwiastki $x(\lambda)$ równań (2) zależą od λ w sposób ciągły, to opisują one pewną krzywą łączącą punkt $x(0)$ z zerem $x(1)$ układu (1). Rozwiązanie $x = x(\lambda)$ wyznacza się dla ciągu rosnącego wartości $\lambda_0 = 0$, $\lambda_1, \lambda_2, \dots, \lambda_s = 1$ stosując jakęś szybko zbieżną metodę iteracyjną (np. metodę Newtona-Raphsona) do kolejnych równań

$$H(x, \lambda_i) = 0 \quad i = 0, 1, 2, \dots, s \quad (5)$$

z na ogół dobrym przybliżeniem początkowym $x(\lambda_i)^{(0)}$ zera $x(\lambda_i)$. Przybliżenie to otrzymuje się z poprzednich wyników

$$x(\lambda_i)^{(0)} = x(\lambda_{i-1}) \quad (6)$$

Rodzinę równań (2) tworzy się przyjmując jako homotopię następująca wyrażenie:

$$H(x, \lambda) = \lambda f(x) + (1-\lambda)f_0(x) \quad (7)$$

gdzie rozwiązanie układu

$$H(x,0) = f_0(x) \quad (8)$$

jest łatwe do uzyskania.

Przykład 1

Opisaną metodę kontynuacji zastosowano do rozwiązania układu równań

$$f(x) = \begin{cases} f_1(x_1, x_2) = x_1^2 + x_1 x_2 + 2x_2^2 - 74 = 0 \\ f_2(x_1, x_2) = 2x_1^2 + 2x_1 x_2 + x_2^2 - 73 = 0 \end{cases}$$

który posiada cztery rozwiązania: $[3, 5]$, $[-3, -5]$, $[8, -5]$, $[-8, 5]$.

Przyjęto homotopię postaci (7) z funkcją

$$f_0(x) = \begin{cases} x_1 - a = 0 \\ x_2 - b = 0 \end{cases}$$

gdzie a, b dowolne liczby stanowiące rozwiązanie układu $f_0(x) = 0$. Stosując algorytm Newtona-Raphsona do rozwiązania równania typu (5) uzyskano, przyjmując kolejno różne stałe a, b , zbieżność do każdego z rozwiązań.

Zastosowanie tego samego algorytmu bezpośrednio do układu $f(x) = 0$ zakończyło się niepowodzeniem dla przybliżenia początkowego $x^{(0)} = [0, 0]$.

3. Homotopia równań węzłowych

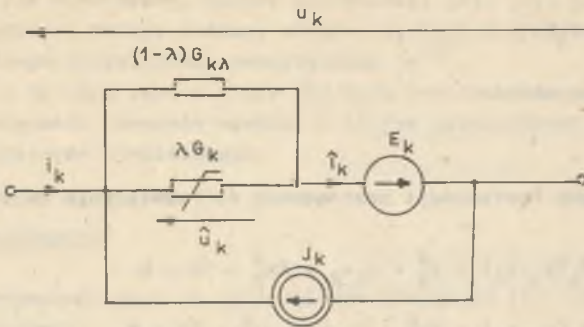
Niech każdy z n gałęzi rozważanego obwodu posiada strukturę pokazaną na rys. 1, gdzie G_k oznacza rezystor nieliniowy lub liniowy opisany zależnością

$$i_k = g_k(\hat{u}_k) \quad k = 1, 2, \dots, n \quad (9)$$

natomiast G_{k2} oznacza konduktancję rezystora liniowego. Pokażemy, że jeśli $\lambda \in \langle 0, 1 \rangle$ to równanie węzłowe tego obwodu tworzy homotopię postaci (7).

Uwzględniając przyjętą strukturę gałęzi obwodu otrzymuje się równania

$$u = \hat{u} - E \quad (10)$$



Rys. 1

$$i = \hat{i} - J \quad (11)$$

gdzie:

u, i - oznaczają wektory napięć i prądów gałęzi,

\hat{u}, \hat{i} - wektory napięć i prądów elementów rezystancyjnych.

Ponieważ

$$\hat{i} = \lambda g(\hat{u}) + (1-\lambda)G_\lambda \hat{u} \quad (12)$$

gdzie

$$G_\lambda = \text{diag}[G_{1\lambda}, G_{2\lambda}, \dots, G_{m\lambda}]$$

to na podstawie I prawa Kirchhoffa

$$A i = 0 \quad (13)$$

oraz wykorzystując transformację węzłową

$$u = A^t x \quad (14)$$

można napisać

$$A \left\{ \lambda g(A^t x + E) + (1-\lambda)G_\lambda (A^t x + E) - J \right\} = 0 \quad (14)$$

Stąd otrzymuje się następujące równanie węzłowe

$$H(x, \lambda) = \lambda \left\{ A g(A^t x + E) - A J \right\} + (1-\lambda) \left\{ A G_\lambda A^t x - A (J - G_\lambda E) \right\} = 0 \quad (15)$$

Łatwo tak widzieć jest homotopia między (7)

Przy tym wyznaczenie rozwiązania układu

$$f_Q(x) = AG_\lambda A^t x - A(J-G_\lambda E) \quad (16)$$

jest szczególnie proste, gdyż jest to układ równań liniowych.

4. Dyskretny obwód równoważny

Algorytm Newtona-Raphsona dla układu równań (15) ma postać:

$$J(x^{(j)}, \lambda)x^{(j+1)} = J(x^{(j)}, \lambda)x^{(j)} - H(x^{(j)}, \lambda) \quad (17)$$

Macierz Jacobiego funkcji $H(x, \lambda)$ jest następująca:

$$J(x^{(j)}, \lambda) = A \left[\lambda G^{(j)} + (1-\lambda)G_\lambda \right] A^t \quad (18)$$

gdzie $G^{(j)}$ oznacza diagonalną macierz dynamicznych konduktancji rezystorów nieliniowych dla napięć na tych rezystorach w j -tej iteracji.

Uwzględniając zależność (18) można przekształcić równanie (17) do postaci:

$$\begin{aligned} A \left[\lambda G^{(j)} + (1-\lambda)G_\lambda \right] A^t x^{(j+1)} &= \\ &= A \left[J^{(j)} - \lambda G^{(j)} E + (1-\lambda)(J-G_\lambda E) \right] \quad \text{dla } \lambda \in < 0, 1 > \end{aligned} \quad (19)$$

gdzie

$$J^{(j)} \stackrel{\text{df}}{=} \lambda \left[J - J_Q^{(j)} + G^{(j)} U_Q^{(j)} \right] \quad (20)$$

$$U_Q^{(j)} \stackrel{\text{df}}{=} A^t x^{(j)} + E \quad (21)$$

$$J_Q^{(j)} \stackrel{\text{df}}{=} g(U_Q^{(j)}) \quad (22)$$

Równania (19) stanowią zmodyfikowaną postać równań węzłowych tzw. dyskretnego obwodu równoważnego [2].

Rozwiązanie tych równań rozpoczyna się od rozwiązania układu równań liniowych reprezentujących dla $\lambda = 0$ początkowy obwód liniowy:

$$AG_\lambda A^t x^{(j+1)} = A(J-G_\lambda E) \quad (23)$$

Dla $0 < \lambda < 1$ rozwiązywane są równania obwodów, w których konduktancje liniowe gałęzi są stopniowo zmniejszane i zastępowane konduktancjami nieliniowymi.

Dla $\lambda = 1$ rozwiązuje się układ równań

$$AG^{(j)}A^T x^{(j+1)} = A(J^{(j)} - G^{(j)})E \quad (24)$$

stanowiący algorytm Newtona-Raphsona dla równania (1).

Postępowanie to pozwala na otrzymanie dobrego przybliżenia początkowego $x^{(1)(0)}$ dla równania (24), co zapewnia zbieżność do właściwego rozwiązania x^* równania (1).

5. Program komputerowy

Równanie (19) stanowiło podstawę do napisania programu komputerowego analizy nieliniowych obwodów rezystancyjnych opisanych równaniem węzłowym (1). Tekst programu napisanego w języku Fortran i realizowanego na mini-komputerze MERA 60 podany jest w DODATKU.

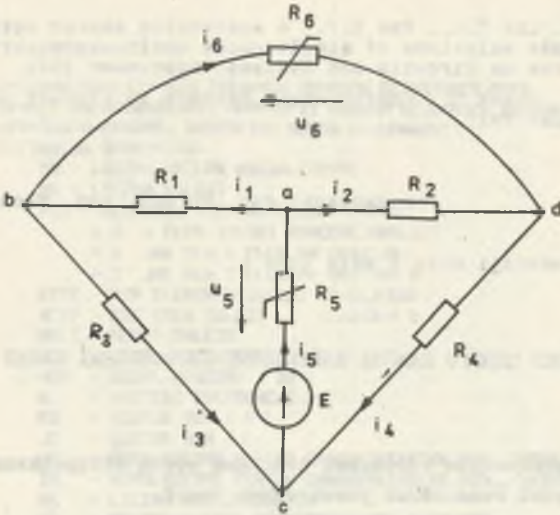
W programie tym użytkownik może wielokrotnie zadawać wybrane wartości konduktancji początkowego obwodu liniowego oraz przyrostu parametru λ . Przedstawiona wersja programu przystosowana jest do pobierania informacji dotyczących obwodu ze zbioru wcześniej przygotowanego.

Przykład 2

Wykorzystując napisany program dokonano obliczeń dla obwodu pokazanego na rys. 2. Przyjęto, że $E = 11$ V, $R_1 = R_4 = 2\Omega$, $R_2 = R_3 = 8\Omega$. Założono przy tym, że charakterystyki rezystorów liniowych są określone dla zakresu napięć < -20 V, 20 V>. Charakterystyki kondukcyjne rezystorów nieliniowych R_5 i R_6 określone zostały tabelami

u_5	0	1	2	3	4	5	V
i_5	0	0,25	0,75	1,25	2	3,25	A
u_6	0	1	2	3	4	5	V
i_6	0	1	1,5	1,75	1,95	2	A

Przyjęto, że konduktancje początkowe obwodu liniowego mają wartości: $G_1 = G_2 = G_3 = G_4 = G_6 = 0,25$ S, $G_5 = 1$ S. Wybierając przyrost parametru $\Delta\lambda = 0,5$ uzyskano właściwe rozwiązanie równe $x_a = 4$ V, $x_b = 1$ V, $x_c = -3$ V, $x_d = 0$.



Rys. 2

6. Uwagi końcowe

Przedstawiona metoda analizy jak łatwo spostrzec może być również stosowana w przypadku obwodów nieliniowych zawierających liniowe jak i nieliniowe źródła prądowe sterowane napięciem. W tym przypadku macierz $G^{(j)}$ w równaniu (19) nie będzie już diagonalna.

Konduktancje liniowe $G_{12}, G_{22}, \dots, G_{m2}$ mogą stanowić zbiór dowolnych liczb rzeczywistych. Oznacza to, że dla różnych zbiorów ich wartości otrzymuje się różne przybliżenia rozwiązania $x(0)$. Fakt ten można by wykorzystać przy opracowywaniu procedury znajdowania wszystkich rozwiązań równania (1) [7].

LITERATURA

- [1] Calahan D.A.: Projektowania układów elektronicznych za pomocą maszyny cyfrowej. WNT, Warszawa 1978.
- [2] Chua L.O., Lin P.M.: Komputerowa analiza układów elektronicznych. WNT, Warszawa 1981.
- [3] Dahlquist G., Björck A.: Metody numeryczne. PWN, Warszawa 1983.
- [4] Dryja M., Jankowski J.M.: Przegląd metod i algorytmów numerycznych. WNT, Warszawa 1982.
- [5] Ortega J.M., Rheinboldt W.C.: Iterative solution of nonlinear equations in several variables. Academic Press, New York 1970.
- [6] Tadeusiewicz M.: Analiza pewnej klasy obwodów rezystancyjnych w przestrzeni m_n . Rozprawy Elektrotechniczne, 1973, z. 2.

- [7] Chao K.S., Lin D.K., Pan C.T.: A systematic search method for obtaining multiple solutions of simultaneous nonlinear equations, IEEE Transactions on Circuits and Systems, September 1975.
- [8] Chao K.S., Seeks S.: Continuation Methods in Circuit Analysis, Proc. IEEE, August 1977.

Recenzent: doc. dr hab. inż. Michał Tadeusiewicz

Wpłynęło do redakcji dnia 2 maja 1984 r.

ЧИСЛЕННЫЙ АНАЛИЗ ОДНОГО КЛАССА НЕЛИНЕЙНЫХ РЕЗИСТИВНЫХ ЦЕПЕЙ

Резюме

В статье представлен глобально сходимый метод итерративного решения узловых уравнений нелинейных резистивных цепей.

NUMERICAL ANALYSIS OF A CLASS OF NONLINEAR RESISTIVE NETWORKS

Summary

In the paper globally convergent iterative method of analysis of nonlinear resistive networks described by nodal equations has been presented.

FORTRAN IV

V02.5

PAGE 001

```

C... PROGRAM ANALIZY NIELINIOWYCH OBWODOW REZYSTANCYJNYCH
C... OPARTY NA ROZWIAZANIU HOMOTOPII ROWNAN WEZLOWYCH METODA
C... NEWTONA-RAPHSONA. DYSKRETNY OBWOD ROWNOWAZNY
C... DEFINICJA ZMIENNYCH
C...   NW - LICZBA WEZLOW NIEZALEZNYCH
C...   NG - LICZBA GALEZI
C...   MIX - WSKAZNIK TYPU WYDRUKOW
C...       = 0  V PLUS WYNIKI KONCOWE ANALIZY
C...       = 1  JAK DLA 0 PLUS GN ORAZ JN
C...       = 2  JAK DLA 1 PLUS A, UQ, JQ, G
C...   ETYP - TYP ELEMENTU GALEZI (G,E,J,EX)
C...   NTYP - KOD TYPU GALEZI (1,2,3,4)
C...   GALZ - NUMER GALEZI
C...   NOD - WEZEL POZCATKOWY ( OD )
C...   NDO - WEZEL KONCOWY ( DO )
C...   A - MACIERZ INCYDENCJI
C...   ES - WEKTOR SEM ( E )
C...   JS - WEKTOR SPM ( J )
C...   UG - WSPOLRZEDNE NAPIEC CHARAKTERYSTYK NIEL. (WIERSZAMI)
C...   IG - WSPOLRZEDNE PRADOW CHARAKTERYSTYK NIEL. (WIERSZAMI)
C...   NK - LICZBA WSPOLRZEDNYCH
C...   UQ - WEKTOR NAPIEC REZYSTOROW NIELINIOWYCH
C...   JQ - WEKTOR PRADOW REZYSTOROW NIELINIOWYCH
C...   G - MACIERZ ROZNICZKOWYCH KONDUKTANCJI GALEZIOWYCH
C...   GN - MACIERZ KONDUKTANCJI WEZLOWYCH
C...   JN - WEKTOR WEZLOWYCH WYDAJNOSCI PRADOWYCH
C...   V,VN - WEKTOR POTENCJALOW WEZLOWYCH
C...   U1 - WEKTOR NAPIEC GALEZI
C...   JG - WEKTOR PRADOW GALEZI
C...   X - POMOCNICZY WEKTOR NAPIEC CHARAKTERYSTYKI NIEL.
C...   Y - POMOCNICZY WEKTOR PRADOW CHARAKTERYSTYKI NIEL.
C...   ND - LICZBA WSPOLRZEDNYCH WEKTORA X I Y
C...   T - PARAMETR HOMOTOPII
C...   DT - PRZYROST PARAMETRU
C...   GT - WEKTOR KONDUKTANCJI POZCATKOWEGO OBWODU LINIOWEGO
C... DANE WEJSCIOWE
C...   REKORD 0 - NW, NG, MIX
C...   REKORD 1 - ETYP, GALZ, NOD, NDO
C...   REKORD 2 - ND, X(1), Y(1), X(2), Y(2),...,X(ND), Y(ND)
C...       ALBO - ES(GALZ)
C...       LUB - JS(GALZ)
C...   ZESTAW REKORDOW 1 I 2 NALEZY POWTORZYC TYLE RAZY
C...   ILE JEST ELEMENTOW (G,E,J) W OBWODZIE
C... DANE POZCATKOWE
C...   REKORD 0 - V(1), V(2),...,V(NW)
C... UWAGA: DANE WEJSCIOWE KONCYZ REKORD Z 'ELEMENTEM' EX.
C...   WEZEL ODNIESIENIA WINIEN MIEC NUMER 0.
C...   CHARAKTERYSTYKI REZYSTOROW LINIOWYCH SA
C...   ZADAWANE PRZEZ TRZY PUNKTY ( U, J(U) ).

```

0001

PROGRAM ANOR

0002

REAL JS, JN, J1, IG, JQ, JG, JW

0003

INTEGER ETYP, GALZ

0004

```

DIMENSION NTYP(4), A(10,20), ES(20), JS(20), J1(20), G(20,20),
*GN(10,10), G1(20,10), JN(10), V(10), X(10), Y(10),

```

```

FORTRAN IV          V02.5                      PAGE 002

      UG(20),U1(20),JG(20),UN(10),JG(20),GT(20)
0005      COMMON UG(20,10),IG(20,10),NK(20)
0006      DATA A/200*0./,ES/20*0./,JS/20*0./,NTYP(1),NTYP(2),
      *NTYP(3),NTYP(4)/'G ','E ','J ','EX'/
0007      OPEN(UNIT=2,NAME='DX1:FTN2.DAT',TYPE='OLD')
0008      WRITE(7,1000)
0009      1000 FORMAT(//' DANE'//)
0010      READ(2,10) NW,NG,MIX
0011      10 FORMAT(3I3)
0012      WRITE(7,20) NW,NG
0013      20 FORMAT(5X,' ANALIZA NIELINIOWEGO OBWODU REZYSTANCYJNEGO'/5X,
      *' METODA POCZAJLOW WEZLOWYCH - DYSKRETNY OBWOD ROWNOWAZNY'//
      $5X,' LICZBA WEZLOW = ',I2,5X,'LICZBA GALEZI = ',I2//)
C... CZYTANIE I WYDRUK DANYCH
0014      30 READ(2,40) ETYP,GALZ,NOD,NDO
0015      40 FORMAT(A2,3I2)
0016      DO 50 I=1,4
0017      IF(ETYP.EQ.NTYP(I)) GO TO 70
0019      50 CONTINUE
0020      WRITE(7,60) ETYP
0021      60 FORMAT(/5X,A2,' *NIEWLASCIWY TYP ELEMENTU*'/)
0022      GO TO 30
0023      70 IF(I-4) 100,80,80
0024      80 WRITE(7,90)
0025      90 FORMAT(/5X,' KONIEC DANYCH'/' PUNKT STARTOWY'//)
0026      100 GO TO (110,150,180,205),I
0027      110 READ(2,120) ND,(X(I),Y(I),I=1,ND)
0028      120 FORMAT(I3,20F9.3)
0029      NK(GALZ)=ND
0030      DO 130 I=1,ND
0031      UG(GALZ,I)=X(I)
0032      130 IG(GALZ,I)=Y(I)
0033      WRITE(7,140) ETYP,GALZ,NOD,NDO,(X(I),Y(I),I=1,ND)
0034      140 FORMAT(/5X,A2,' GALAZ',I3,' OD WEZLA',I3,' DO WEZLA',I3,
      *6X,'U',10X,'J'/30(47X,E10.3,1X,E10.3//)
      GO TO 200
0035      150 READ(2,160) WARTOSC
0037      160 FORMAT(F6.2)
0038      ES(GALZ)=WARTOSC
0039      WRITE(7,170) ETYP,GALZ,WARTOSC
0040      170 FORMAT(5X,A2,' GALAZ',I3,5X,'WARTOSC=',E10.3/)
0041      GO TO 30
0042      180 READ(2,190) WARTOSC
0043      190 FORMAT(F6.2)
0044      JS(GALZ)=WARTOSC
0045      WRITE(7,170) ETYP,GALZ,WARTOSC
0046      GO TO 30
0047      200 IF(NOD.GT.0) A(NOD,GALZ)=1.0
0049      IF(NDO.GT.0) A(NDO,GALZ)=-1.0
0051      GO TO 30
C... PUNKT STARTOWY
0052      205 CLOSE(UNIT=2)
0053      210 READ(5,215) DT,(GT(I),I=1,NG)
0054      215 FORMAT(21F10.5)

```

FORTRAN IV

V02.5

PAGE 003

```

0055      T=0.
0056      220 L=0
0057      WRITE(7,225) T
0058      225 FORMAT(' PARAMETR = ',F4.2//)
0059      230 L=L+1
0060      IF(T.EQ.0.) GO TO 265
C... ITERACJA L - TA
C... OBLICZANIE WEKTORA NAPIEC REZYSTOROW UQ=AT*V+ES
0062      DO 260 I=1,NG
0063      U1(I)=0.
0064      DO 250 J=1,NW
0065      250 U1(I)=U1(I)+A(J,I)*V(J)
0066      260 UQ(I)=U1(I)+ES(I)
C... OBLICZANIE WEKTORA PRADOW REZYSTOROW NIELINIOWYCH JQ ORAZ
C... MACIERZY ROZNICZKOWYCH KONDUKTANCJI GALEZIIOWYCH
0067      265 DO 280 I=1,NG
0068      DO 270 J=1,NG
0069      270 G(I,J)=0.
0070      IF(T.EQ.0.) GO TO 280
0072      IGAR=I
0073      CALL FUNC(IGAR,UQ(I),JQ(I),G(I,I),FIX,L)
0074      IF(FIX.EQ.0.) GO TO 210
0076      280 CONTINUE
C... WYDRUKI KONTROLNE
0077      IF(MIX.LE.1) GO TO 380
0079      WRITE(7,290)
0080      290 FORMAT(//5X,' MACIERZ INCYDENCJI'//)
0081      DO 300 I=1,NW
0082      300 WRITE(7,310) (A(I,J),J=1,NG)
0083      310 FORMAT(1X,20F6.1)
0084      WRITE(7,320)
0085      320 FORMAT(//5X,' WEKTORY:',5X,'UQ',6X,'JQ'//)
0086      DO 330 I=1,NG
0087      330 WRITE(7,340) I,UQ(I),JQ(I)
0088      340 FORMAT(12X,I2,2(2X,F6.2))
0089      WRITE(7,350)
0090      350 FORMAT(//' MACIERZ ROZNICZKOWYCH KONDUKTANCJI GALEZIIOWYCH'//)
0091      DO 360 I=1,NG
0092      360 WRITE(7,370) (G(I,J),J=1,NG)
0093      370 FORMAT(1X,15F8.2)
C... FORMOWANIE KOWANAN WEZLOWYCH
C... MACIERZ KONDUKTANCJI WEZLOWYCH GN=A*G*AT
0094      380 DO 385 I=1,NG
0095      385 G(I,I)=T*G(I,I)+(1-T)*GT(I)
0096      DO 390 J=1,NW
0097      DO 390 I=1,NG
0098      G1(I,J)=0.
0099      DO 390 K=1,NG
0100      390 G1(I,J)=G1(I,J)+G(I,K)*A(J,K)
0101      DO 400 I=1,NW
0102      DO 400 J=1,NW
0103      GN(I,J)=0.
0104      DO 400 K=1,NG
0105      400 GN(I,J)=GN(I,J)+A(I,K)*G1(K,J)

```

```

FORTRAN IV          V02.5                                PAGE 004

0106          IF (MIX.LT.1) GO TO 440
0108          WRITE (7,410)
0109          410 FORMAT (//5X,' MACIERZ KONDUKTANCJI WEZLOWYCH'/)
0110          DO 420 I=1,NW
0111          420 WRITE (7,430) (GN(I,J),J=1,NW)
0112          430 FORMAT (1X,10E12.3)
C... WEKTOR WEZLOWYCH WYDAJNOSCI PRADOWYCH JN=A*(JS-JQ+G*AT*V)
0113          440 DO 460 I=1,NG
0114             J1(I)=0.
0115             IF (T.EQ.0.) GO TO 455
0117             DO 450 J=1,NW
0118          450 J1(I)=J1(I)+G1(I,J)*V(J)
0119             J1(I)=JS(I)-T*(JQ(I)-J1(I))
0120          455 J1(I)=J1(I)-(1-T)*GT(I)*ES(I)
0121          460 CONTINUE
0122             DO 470 I=1,NW
0123             JN(I)=0.
0124             DO 470 J=1,NG
0125          470 JN(I)=JN(I)+A(I,J)*J1(J)
0126             IF (MIX.LT.1) GO TO 510
0128             WRITE (7,480)
0129          480 FORMAT (//5X,' WEKTOR WEZLOWYCH WYDAJNOSCI PRADOWYCH'/)
0130             DO 490 I=1,NW
0131          490 WRITE (7,500) JN(I)
0132          500 FORMAT (1X,E12.3)
C... OBLICZANIE POTENCJALOW WEZLOWYCH - METODA ELIMINACJI GAUSSA
0133          510 CALL GAUSS (NW,GN,JN,DIX)
0134             IF (DIX.EQ.0.) GO TO 210
0136             TOL=1.E-4
0137             IF (T.EQ.0.) GO TO 530
0139             DO 520 I=1,NW
0140             VN(I)=JN(I)
0141             IF (ABS(V(I)-VN(I))-TOL) 520,520,530
0142          520 CONTINUE
0143             GO TO 550
C... NASTEPNA ITERACJA
0144          530 DO 540 I=1,NW
0145          540 V(I)=JN(I)
0146             IF (T.GT.0.) GO TO 230
0148          550 WRITE (7,555) L, (I,VN(I),I=1,NW)
0149          555 FORMAT (' ITERACJA=',I3,' WEZEL', ' POTENCJAL'/10(16X,I2,3X,
*E13.6/))
0150             T=T+DT
0151             IF (T.GT.1.) GO TO 560
0153             GO TO 220
C... WYNIKI ANALIZY - PRADY I NAPIECIA GALEZI OBWODU
0154          560 DO 565 I=1,NG
0155             U1(I)=0.
0156             DO 565 J=1,NW
0157          565 U1(I)=U1(I)+A(J,I)*V(J)
0158             DO 570 I=1,NG
0159          570 JG(I)=JQ(I)-JS(I)
0160             DO 580 I=1,NG
0161          580 WRITE (7,590) I,U1(I),JG(I)

```



```

FORTRAN IV          V02.5                                PAGE 005
0162   590 FORMAT(6X,' GALAZ ',I2,3X,'NAPIECIE=',E10.3,3X,'PRAD=',E10.3/)
      C... SPRAWDZENIE WYNIKOW ANALIZY - I PRAWO KIRCHHOFFA
0163       DO 620 I=1,NW
0164       JW=0.
0165       DO 600 J=1,NG
0166       600 JW=JW+A(I,J)*JG(J)
0167       WRITE(7,610) I,JW
0168       610 FORMAT(' WEZEL ',I2,' SUMA PRADOW=',F8.5)
0169       620 CONTINUE
0170       630 WRITE(7,640)
0171       640 FORMAT(///SX,' KONIEC ANALIZY'///)
0172       STOP
0173       END
    
```

FORTRAN IV

V02.5

PAGE 001

```

C... PODPROGRAM OBLICZANIA PRADOW I ROZNICZKOWYCH KONDUKTANCJI
C... REZYSTOROW NIELINIOWYCH O CHARAKTERYSTYKACH J(U) INTERPOLOWANYCH
C... NATURALNYMI FUNKCJAMI SKLEJANYMI STOPNIA 3
0001 SUBROUTINE FUNC(K,Z,S,DS,FIX,IER)
0002 REAL M,IG
0003 DIMENSION A(10,20),B(10,20),C(10,20),D(10,20),
* H(10),W(10),U(10),V(10),M(10,10)
0004 COMMON UG(20,10),IG(20,10),NK(20)
0005 DATA M/900*0./
0006 N=NK(K)
0007 IF (IER.GT.1) GO TO 80
C... WYZNACZANIE WSPOLCZYNNIKOW FUNKCJI SKLEJANYCH
0009 N1=N-1
0010 DO 10 I=1,N1
0011 10 H(I)=UG(K,I+1)-UG(K,I)
0012 N2=N-2
0013 DO 20 I=1,N2
0014 W(I)=H(I+1)/(H(I)+H(I+1))
0015 20 U(I)=1.-W(I)
0016 DO 30 I=1,N2
0017 30 V(I)=3.0*((IG(K,I+2)-IG(K,I+1))/H(I+1)-(IG(K,I+1)-IG(K,I))/
* H(I))/H(I)+H(I+1))
0018 DO 50 I=1,N2
0019 IF (I.GT.(N-3)) GO TO 40
0021 M(I,I+1)=W(I)
0022 M(I+1,I)=U(I+1)
0023 40 M(I,I)=2.0
0024 50 CONTINUE
0025 CALL GAUSS(N2,M,V,DIX)
0026 C(1,K)=0.
0027 C(N,K)=0.
0028 DO 60 I=1,N2
0029 60 C(I+1,K)=V(I)
0030 DO 70 I=1,N1
0031 A(I,K)=IG(K,I)
0032 B(I,K)=(IG(K,I+1)-IG(K,I))/H(I)-H(I)*(C(I+1,K)+2.*C(I,K))/3.
0033 70 D(I,K)=(C(I+1,K)-C(I,K))/H(I)/3.
C... WYZNACZENIE PRZEDZIALU W KTORYM LEZY Z
0034 80 IF (Z-UG(K,1)) 120,90,100
0035 90 I=1
0036 GO TO 170
0037 100 IF (Z-UG(K,N)) 140,110,120
0038 110 I=N-1
0039 GO TO 170
0040 120 WRITE(7,130) Z,K
0041 130 FORMAT(' *ZMIENNA NIEZALEZNA=',E10.3,' Z GALEZI',I3,
* ' NIE NALEZY DO DZIEDZINY*///' ZMIENIC PUNKT STARTOWY')
0042 FIX=0.
0043 RETURN
0044 140 DO 150 I=2,N
0045 IF (Z-UG(K,I)) 160,160,150
0046 150 CONTINUE
0047 160 I=I-1
C... OBLICZANIE WARTOSCI FUNKCJI S(Z) I POCHODNEJ DS(Z)

```

FORTRAN IV

V02.5

PAGE 002

```

0048 170 S=A(I,K)+(Z-UG(K,I))*(B(I,K)+(Z-UG(K,I))*
      * (C(I,K)+(Z-UG(K,I))*D(I,K)))
0049 DS=B(I,K)+(Z-UG(K,I))*(2.*C(I,K)+(Z-UG(K,I))*3.*D(I,K))
0050 FIX=1.
0051 RETURN
0052 END
    
```

FORTRAN IV

V02.5

PAGE 001

```

      C... PODPROGRAM ROZWIĄZYWANIA UKŁADU RÓWNAŃ LINIOWYCH
0001  SUBROUTINE GAUSS(N,A,B,DIX)
0002  DIMENSION A(10,10),B(10)
0003  N1=N-1
0004  DO 100 I=1,N1
0005  P=0.
0006  DO 20 K=I,N
0007  IF (ABS(P)-ABS(A(K,I))) 10,20,20
0008  10 F=A(K,I)
0009  L=K
0010  20 CONTINUE
0011  IF (ABS(P)-0.) 30,30,50
0012  30 WRITE(7,40)
0013  40 FORMAT(/10X,'* OSOBLIWY UKŁAD RÓWNAŃ */
      *' ZMIENIC PUNKT STARTOWY'/)
0014  DIX=0.
0015  RETURN
0016  50 DO 60 J=1,N
0017  SAVE=A(I,J)
0018  A(I,J)=A(L,J)
0019  A(L,J)=SAVE
0020  60 CONTINUE
0021  SAVE=B(I)
0022  B(I)=B(L)
0023  B(L)=SAVE
0024  KK=I+1
0025  DO 70 K=KK,N
0026  A(K,I)=A(K,I)/F
0027  70 CONTINUE
0028  DO 90 K=KK,N
0029  DO 80 JK=KK,N
0030  A(K,JK)=A(K,JK)-A(K,I)*A(I,JK)
0031  80 CONTINUE
0032  B(K)=B(K)-A(K,I)*B(I)
0033  90 CONTINUE
0034  100 CONTINUE
0035  B(N)=B(N)/A(N,N)
0036  IF(N.EQ.1) GO TO 130
0038  DO 120 I=1,N1
0039  IB=N-I
0040  IC=N
0041  DO 110 K=1,I
0042  B(IB)=B(IB)-A(IB,IC)*B(IC)
0043  IC=IC-1
0044  110 CONTINUE
0045  B(IB)=B(IB)/A(IB,IB)
0046  120 CONTINUE
0047  130 DIX=1.
0048  RETURN
0049  END

```


Stanisław FRYCZ

Lesław TOPÓR-KAMIŃSKI

Instytut Podstawowych Problemów
Elektrotechniki i Energoelektroniki
Politechnika Śląska

PRZEŁĄCZNIKOWO-KONDENSATOROWY UKŁAD MNOŻĄCY

Streszczenie. Przedstawiono klasyfikację analogowych i cyfrowych układów mnożących. Pokazano przykład układu parametrycznego sterowanego cyfrowo oraz opisano model układu mnożącego zbudowanego na bazie aktywnych obwodów przełącznikowo-kondensatorowych.

1. Wprowadzenie

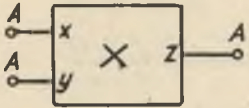
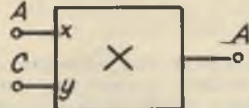
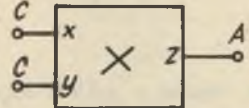
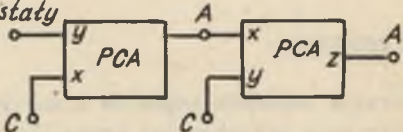
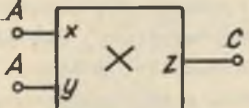
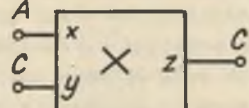
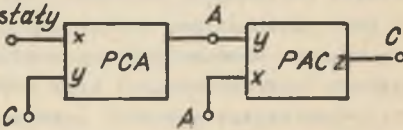
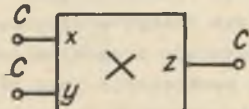
Operacja mnożenia sygnałów elektrycznych, ważna z punktu widzenia przetwarzania przenoszonej przez nie informacji, jest niemożliwa do wykonania w układach liniowych i stacjonarnych.

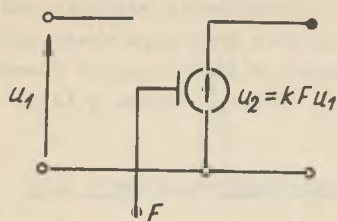
Do realizacji mnożników analogowych wykorzystuje się elementy o pewnych charakterystykach nieliniowych np. logarytmicznych, lub elementy o parametrach sterowanych innym sygnałem np. tranzystor polowy.

W praktyce mnożniki te wykonywane są techniką mikroelektroniczną jako elementy scalone. Mając do dyspozycji analogowy układ mnożący o odpowiedniej klasie dokładności mnożenia, można tworzyć sieci elektryczne o zadanych z góry własnościach nieliniowości lub niestacjonarności czasowej. Obecnie wskutek powszechnego wprowadzenia do praktyki cyfrowych systemów sterujących (mikroprocesory) oraz sterowanych mini układów analogowych (filtry przestrajane cyfrowo) zachodzi konieczność stosowania układów mnożących jednocześnie sygnały analogowe i cyfrowe. Zakładając w ogólności, że każdy układ mnożący posiada dwa wejścia oznaczone jako x i y , jedno wyjście z oraz dzielnik sygnały na dwie klasy: analogowe (A) i cyfrowe (C), można wyróżnić sześć rodzajów mnożników przedstawionych w tabelicy 1. Bloki 2 i 4 z tej tabelicy znane są powszechnie jako przetworniki w układach analogowo-cyfrowych przy założeniu, że na jedno z ich wejść podawany jest analogowy sygnał wzorcowy.

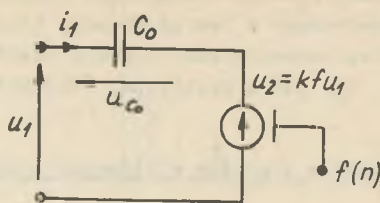
Z punktu widzenia teorii obwodów interesujące znaczenie ma blok PCA, gdyż pozwala on budować sieci analogowe o parametrach sterowanych sygnałem cyfrowym. W najprostszym przypadku PCA może być uważany ze źródło napięciowe sterowane napięciem, którego współczynnik wzmocnienia z kolei

Tablica 1

Lp.	Rodzaje sygnałów Zaciskowych	Nazwa lub schemat zastępczy
1.		<p>Analogowy układ mnożący (AUM)</p>
2.		<p>Przetwornik cyfrowo- analogowy (PCA)</p>
3.		<p>A-staty</p> 
4.		<p>Przetwornik analogowo- cyfrowy (PAC)</p>
5.		<p>A-staty</p> 
6.		<p>Cyfrowy układ mnożący (CUM)</p>



Rys. 1



Rys. 2

sterowany jest sygnałem cyfrowym (rys. 1). Na bazie tego źródła da się zrealizować przykładowo układ z pojemnością C_0 , przedstawiony na rys. 2. W ogólnym przypadku jest on opisany równaniem różnicowo-różniczkowym o postaci:

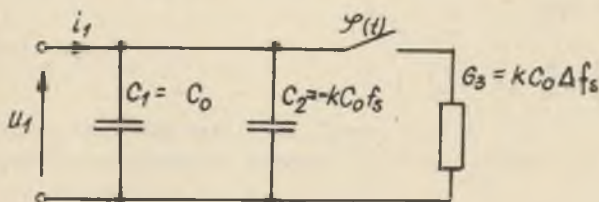
$$i_1(t) = C_0 \frac{d}{dt} \left\{ u_1(t) [1 - kf(n)] \right\} \quad (1)$$

Zakładając, że wartość współczynnika f w źródle u_2 jest podtrzymywana przez cały okres kwantyzacji sygnału cyfrowego $f(n)$, można w równaniu (1) zastąpić go funkcją schodkową czasu ciągłego $f_s(t)$. Równanie to wtedy przyjmie postać:

$$i_1 = C_0 \frac{du_1}{dt} - kC_0 f_s(t) \frac{du_1}{dt} + kC_0 u_1 \frac{df_s(t)}{dt} \quad (2)$$

Odpowiadający równaniu (2) schemat zastępczy układu z rys. 2 przedstawiony jest na rys. 3, na którym:

$$\varphi(t) = \sum_{n=0}^{\infty} \delta(t - n\tau), \quad \Delta f_s = f(n\tau) - f[(n-1)\tau] \quad (3)$$

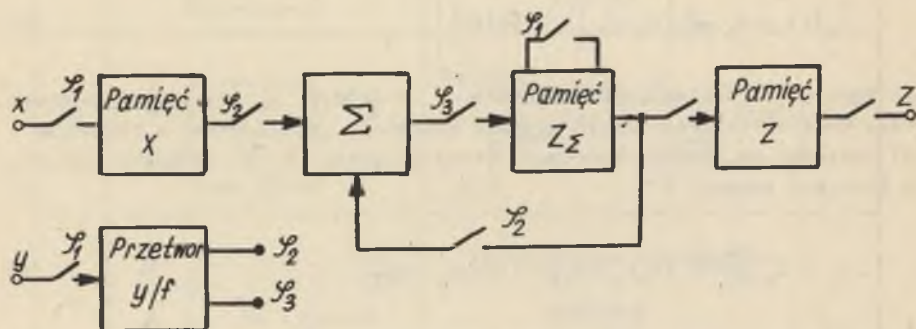


Rys. 3

Z analizy przedstawionego prostego przykładu zastosowania mnożnika analogowo-cyfrowego w teorii obwodów widać, że tworzone przy jego zastosowaniu sieci są parametryczne o typie niestacjonarności zarówno ciągłej (kondensator C_2) jak i dyskretnej (konduktancja G_3 wraz z kluczem $\varphi(t)$).

2. Mnożenie sygnałów w układach przełącznikowo-kondensatorowych (SC)

Przedstawiona dotychczas klasyfikacja układów mnożących zakłada rozpatrywanie tylko dwu rodzajów sygnałów: analogowych i cyfrowych. Istnieją jednak układy, w których sygnały o wartościach ciągłych (dowolna liczba rzeczywista) są przetwarzane dla dyskretnych momentów czasowych (np. układy SC). Na rys. 4 przedstawiony jest schemat blokowy mnożnika, w któ-



Rys. 4

rym proces mnożenia sygnałów x i y dokonywany jest w okresie kwantyzacji τ jednego z nich, przy czym wartość drugiego przetwarzania jest na częstotliwość impulsów sterujących pewnymi przełącznikami. Przebiegi sterujące kluczami przedstawione są na rys. 5.

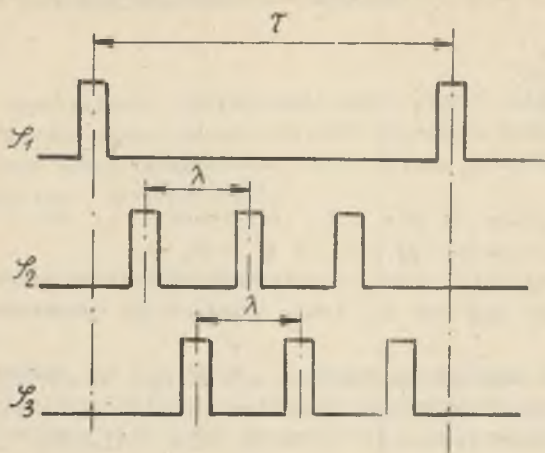
Odpowiednik układu z rys. 4 zrealizowany przy użyciu przełączników, kondensatorów i wzmacniaczy operacyjnych pokazuje rys. 6.

W układzie tym:

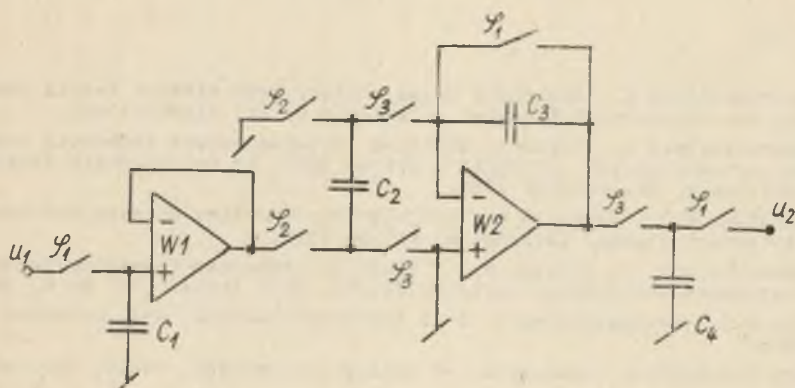
$$u_2 = \frac{C_2}{C_3} \cdot \frac{\tau}{T} u_1 \quad (4)$$

przy czym:

$$\frac{1}{T} = f = \alpha u_3 \quad (5)$$



Rys. 5



Rys. 6

zatem dla całego układu zachodzi:

$$u_2 = \frac{C_2}{C_3} \tau \alpha u_1 u_3. \quad (6)$$

przy czym mnożenie jest dwucwiartkowe, gdyż $u_3 > 0$.
Poprzez wprowadzenie dodatkowego sygnału u_4 sterującego częstotliwością funkcji przełączającej φ_1 :

$$\frac{1}{\tau} = \beta u_4. \quad (7)$$

otrzymuje się układ mnożąco-dzieliący działający zgodnie z relacją:

$$u_2 = kx\beta \frac{u_1 u_3}{u_4}, \quad (8)$$

gdzie

$$k = C_2/C_3.$$

Aby u_2 było równe 0 dla $\lambda > \tau$ przetwornik u_3 na f powinien wytwarzać w tym przypadku $\varphi_2 = 0$, a $\varphi_3 = \varphi_1$.

W celu uzyskania mnożenia czteroćwiartkowego należałoby wprowadzić dodatkowo detektor znaku sygnału u_3 , który przełączałby odpowiednio strukturę całego układu.

Jeżeli założyć ciągłość sygnałów u_1 oraz u_2 , np. poprzez zastosowanie na wyjściu ekstrapolatora lub filtra, natomiast częstotliwość f sterować sygnałem cyfrowym, to przedstawiony układ może spełniać rolę przetwornika cyfrowo-analogowego.

LITERATURA

- [1] Topór-Kamiński L.: Analogowy układ mnożący jako element teorii obwodów. ZN Politechniki Śląskiej, Elektryka z. 54, Gliwice 1976.
- [2] Topór-Kamiński L.: Elementy składowe rezystancyjnych aktywnych obwodów parametrycznych, III SPETO, Ustroń 1979, ZN Politechniki Śląskiej, Elektryka z. 68, Gliwice 1980.
- [3] Michajłow F.A., Terjajew D., Buljekow W.: Dynamika niestacjonarnych dyskretnych system. Izd. Nauka, Moskwa 1980.
- [4] Viswanathan T.R., Faruque S.M., Vlach J.: Switched-Capacitor Transconductance and Related Building Blocks. IEEE Trans. CAS, No 6, 1980.
- [5] Jury E.I.: Przekształcenie Z i jego zastosowanie, WNT, Warszawa 1969.
- [6] Data acquisition components and subsystems catalog. Analog Devices, 1980.

Recenzent: doc. dr inż. Maria Jastrzębska

Wpłynęło do redakcji dnia 10 maja 1984 r.

АНАЛОГОВЫЕ И ЦИФРОВЫЕ МНОЖИТЕЛЬНЫЕ УСТРОЙСТВА

Резюме

В статье представлена классификация аналоговых и цифровых множительных устройств. Показан пример параметрической системы с цифровым управлением а также описана модель множительного устройства, построенного на основе активных ёмкостно-ключевых цепей.

ANALOGUE AND DIGITAL MULTIPLIERS

Summary

Classification of digital and analogue multipliers has been presented. An example of a time-varying digitally controlled network is shown and a model of the multiplier built of active switched-capacitor elements is described.

Lesław TOPÓR-KAMIŃSKI

Instytut Podstawowych Problemów
 Elektrotechniki i Energoelektroniki
 Politechnika Śląska

POŁĄCZENIA ELEMENTÓW OSOBLIWYCH Z DWÓJNIKAMI KLASYCZNYMI

Streszczenie. Opisano charakterystyczne dla sieci osobliwych reguły rozdzielności połączeń szeregowych i równoległych względem siebie. Przedstawiono sposób określenia dwójnika zastępczego przy połączeniach mieszanych elementów osobliwych i klasycznych, ilustrując go analizą podstawowych dwójników układów z przełączanymi kondensatorami.

1. Wstęp

Dwójniki elektryczne, na zaciskach których prąd i napięcie mogą być tylko zerowe lub dowolne w pewnym obszarze wartości, nazywane są elementami osobliwymi.

Do zbioru tych elementów oprócz wprowadzonych przez Carline i Youla'ę [1] nullatora i noratora, można także zaliczyć przerwę i zwarcie [2], uogólnione komutatory [3], źródła autonomiczne [4] oraz idealne elementy diodowe [5]. Jak pokazano w pracach [3, 4, 5], elementy te można opisywać za pomocą formuł boolowskich, korzystając z transformacji N przekształcającej zbiór R liczb rzeczywistych w zbiór dwuelementowy $\{0,1\}$ według definicji:

$$Nx = \bar{x} = \begin{cases} 0 & \text{gdy } x \in R \text{ i jest równe tylko } 0 \\ 1 & \text{gdy } x \in R \text{ i jest dowolne} \end{cases}$$

Formuły te mają ogólną postać:

$$A \bar{i} + B \bar{u} = 0, \quad (2)$$

w których:

- A, B - są operatorami logicznymi o wartościach ze zbioru $\{0,1\}$, które mogą być stałe, zależne od czasu lub od obszarów zmienności prądu i napięcia,
 "·" "+" "-" - są odpowiednio logicznymi działaniami koniunkcji, alternatywy i równoważności.

Natomiast \vec{i} , \vec{u} są N-transformacjami prądu i napięcia. Własności opisywanego przez formułę (2) dwójnika osobliwego określone są jednoznacznie przez operatory A i B, gdyż prąd i napięcie mogą przyjmować tylko takie wartości, dla których formuła ta jest spełniona.

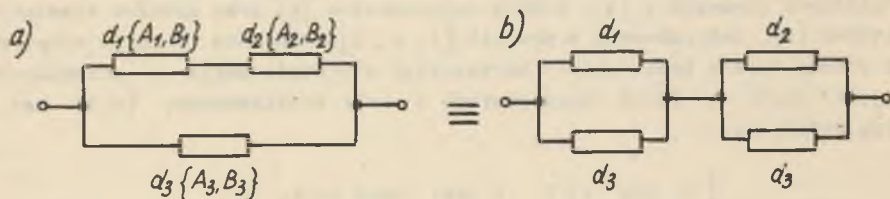
2. Charakterystyczne własności sieci elementów osobliwych

W pracach [3], [4], [5] pokazano sposób poszukiwania dwójników osobliwych równoważnych do danej sieci osobliwej widzianej między dwoma wybranymi węzłami. Sprowadza się on do wykonania odpowiednich działań logicznych na operatorach opisujących poprzez formuły boolowskie typu (2) elementy składowe tej sieci. Dla połączeń szeregowego i równoległego dwóch elementów opisanych parami operatorów $\{A_1, B_1\}$ oraz $\{A_2, B_2\}$, elementy zastępcze opisują odpowiednio formuły:

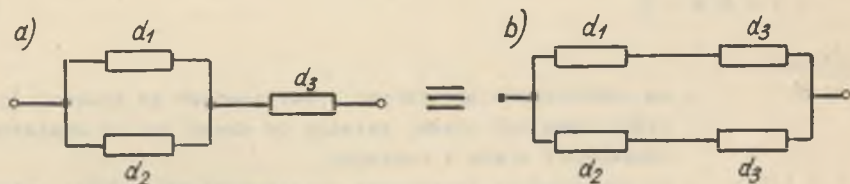
$$(A_1 + A_2)\vec{i} + (B_1 \cdot B_2)\vec{u} = 0 \quad (3)$$

$$(A_1 \cdot A_2)\vec{i} + (B_1 + B_2)\vec{u} = 0 \quad (4)$$

Korzystając z podanych związków można wykazać równoważność tak zwanych połączeń mieszanych trzech dwójników osobliwych przedstawionych na rys. 1 oraz rys. 2.



Rys. 1



Rys. 2

I tak układy a) i b) z rys. 1 opisują odpowiednio formuły boolowskie:

$$\left[(A_1 + A_2)A_3 \right] \bar{1} + \left[B_1B_2 + B_3 \right] \bar{u} = 0 \quad (5)$$

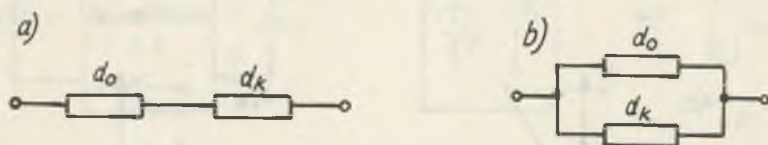
$$\left[A_1A_3 + A_2A_3 \right] \bar{1} + \left[(B_1 + B_3)(B_2 + B_3) \right] \bar{u} = 0 \quad (6)$$

Dwa dwójniki osobliwe można uważać za równoważne jeżeli operatory logiczne w opisujących je formułach boolowskich są sobie równe, co dla relacji (5) i (6) można łatwo pokazać na podstawie reguł rozdzielności dodawania względem mnożenia (operatory A) oraz rozdzielności mnożenia względem dodawania (operatory B), obowiązujących w algebrze Boole'a [7]. Wykazaną równoważność układów a) i b) z rys. 1 można nazwać regułą rozdzielności połączenia szeregowego względem równoległego elementu osobliwego, natomiast równoważność układów z rys. 2 regułą rozdzielności połączenia równoległego względem dwójnika osobliwego szeregowego.

Pokazane reguły rozdzielności nie obowiązują dla połączeń dwójników klasycznych (nieosobliwych), które opisują prawa algebry klasycznej [8].

3. Połączenia elementów osobliwych z dwójnikami klasycznymi

Rozpatrywane będą podstawowe połączenia, przedstawione na rys. 3, dwójnika osobliwego d_o opisanego formułą (2) z dwójnikiem klasycznym d_k opisanym zależnością funkcyjną algebry klasycznej wiążącą jego zmienne zaciskowe.



Rys. 3

W obu przypadkach dwójnik zastępczy może być osobliwym lub klasycznym, przy czym uzależnione to jest wyłącznie od wartości operatorów $\{A, B\}$ opisujących element osobliwy. Aby to rozstrzygnąć należy badać dla połączenia szeregowego wartość relacji (7), a dla równoległego wartość relacji (8), które są funkcjami logicznymi typu iloczyn z zakazem.

$$E_S = \bar{A} B \quad (7)$$

$$E_R = A \bar{B} \quad (8)$$

Wartość operatora \bar{E} dla odpowiedniego połączenia dwójników poprzez relację (9) decyduje o rodzaju dwójnika zastępczego d_z .

$$d_z = d_o \bar{E} + d_k E \quad (9)$$

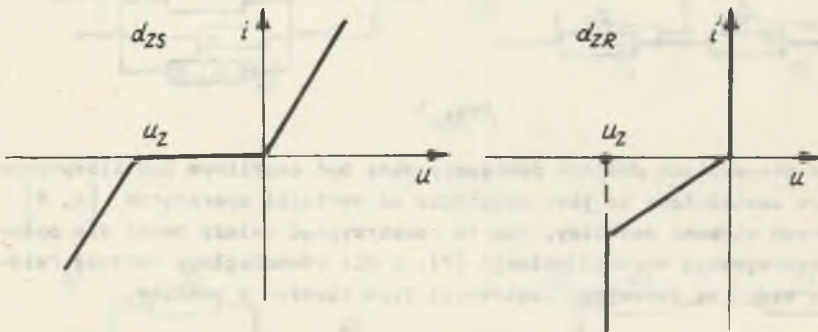
Dla dwójników osobliwych zmiennych w czasie (np. typu komutator) należy relacje (7), (8) i (9) rozpatrywać w odpowiednich przedziałach czasowych, natomiast dla dwójników osobliwych nieliniowych (np. elementy diodowe) dla odpowiednich przedziałów zmiennych zaciskowych.

Przykładem ilustrującym powyższe zależności (7) (8) (9) mogą być układy połączeń idealnej diody Zenera z rezystancją i konduktancją (rys. 4).



Rys. 4

Dla obu połączeń diody Zenera szeregowego i równoległego wartości odpowiednich operatorów według relacji (7) (8) (9) przedstawiono w tabelicy 1 oraz zilustrowano zależnościami geometrycznymi na płaszczyźnie $i - u$, pokazanymi na rys. 5.



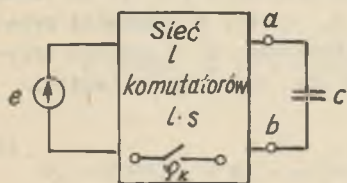
Rys. 5

Tablica 1

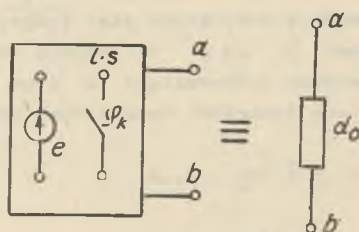
i_0	u_0	A	B	E_S	E_r	d_{zS}	d_{zR}
>0	0	0	1	1	0	d_k	d_0
0	$u_z \neq 0$	1	0	0	1	d_0	d_k
<0	U_0	0	1	1	0	d_k	d_0

4. Układy SC jako przykład połączeń elementów klasycznych

Układy SC są typowym przykładem połączeń komutatorów sterowanych określonymi dyskretnymi funkcjami czasu φ , jako elementów osobliwych oraz kondensatorów jako elementów klasycznych. Modele podstawowych bloków SC można przedstawić ogólnie w postaci schematu podanego na rys. 6, przy czym źródło e reprezentuje zmienny w czasie sygnał wejściowy u_1 .



Rys. 6

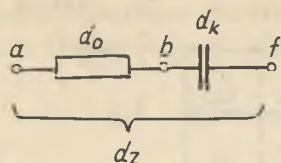


Rys. 7

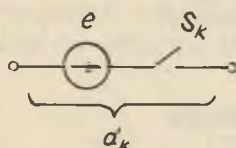
Źródło e wraz z siecią L i komutatorem tworzą dwójnik osobliwy d_0 widziany z zacisków ab (rys. 7). Układ wypadkowy d_0, d_k będzie rozpatrywany jako połączenie szeregowe dwójnika wypadkowego d_0 z kondensatorem C (rys. 8).

Jeżeli komutatory S_1 do S_n będą sterowane dyskretnymi funkcjami czasu φ_1 do φ_n i ich negacjami $\bar{\varphi}_1$ do $\bar{\varphi}_n$, to elementy sieci komutatorowej łącznie ze źródłem e opisują formuły:

$$\left. \begin{aligned} S_1: \bar{\varphi}_1 \tilde{i} + \varphi_1 \tilde{u} &= 0 \\ \dots \dots \dots \\ S_k: \bar{\varphi}_k \tilde{i} + \varphi_k \tilde{u} &= 0 \\ \dots \dots \dots \\ S_n: \bar{\varphi}_n \tilde{i} + \varphi_n \tilde{u} &= 0 \end{aligned} \right\} \quad (10)$$



Rys. 8



Rys. 9

$$e: 0 \bar{i} + 1(\bar{u}-e) = 0 \quad (11)$$

Formułę (11) można inaczej zapisać jako (12) dla przesuniętego o e układu współrzędnych.

$$0 \bar{i} + 1 < e > \bar{u} = 0 \quad (12)$$

W układach SC zawsze z sygnałem wejściowym u_1 (czyli źródłem e) występuje w połączeniu szeregowym jeden z komutatorów S_k , pełniąc rolę elementu kwantyzującego napięcie u_1 w czasie [9]. Powoduje to występowanie w sieci osobliwej d_0 gałęzi o strukturze podanej na rys. 9 opisanej formułą (13).

$$d_k: \bar{\varphi}_k \bar{i} + \varphi_k < e > \bar{u} = 0 \quad (13)$$

Obliczając zastępczy osobliwy dwójnik całej sieci komutatorowej d_0 otrzymuje się formułę (14), w której operatory A i B są funkcjami boolowskimi operatorów zmiennych w czasie φ_1 do φ_1 oraz ich negacji.

$$A[\varphi_1 \dots \varphi_1, \bar{\varphi}_1 \dots \bar{\varphi}_1] \bar{i} + B[\varphi_1 \dots \varphi_1, \bar{\varphi}_1 \dots \bar{\varphi}_1] \bar{u} = 0 \quad (14)$$

Konsekwencją powyższego jest także zależność relacji (7) i (9) od funkcji czasowych φ_1 do φ_1 dla całego dwójnika d_z z rys. 8. Napięcia przed naładowaniem kondensatora u' i po jego naładowaniu u'' w ogólnym przypadku będą funkcjami dyskretnymi przebiegów φ_1 do φ_1 oraz napięcia e .

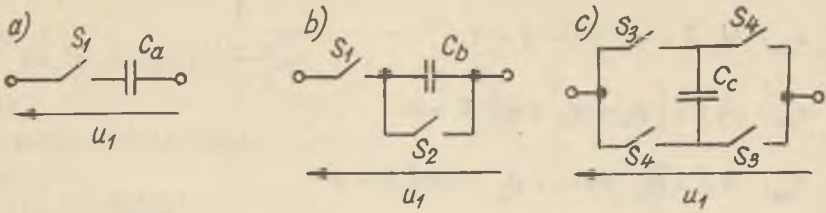
$$u' = f'(\varphi_1 \dots \varphi_1, e) \quad (15)$$

$$u'' = f''(\varphi_1 \dots \varphi_1, e) \quad (16)$$

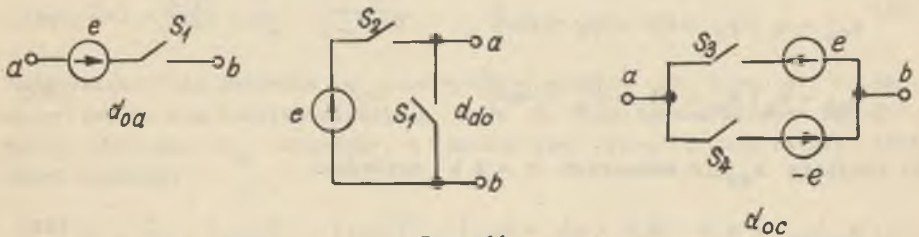
Dla koncepcji układów SC przedstawionej przez Fettweisa [10] zbiór dwójników podstawowych, które są odpowiednikami dwójników klasycznych C , R i L pokazany jest na rys. 10, a odpowiadające im sieci osobliwe na rys. 11.

Pracę kluczy S_1 do S_4 opisują dyskretne funkcje czasu będące okresowymi ciągami impulsów zerowjedynkowych opisanych wraz z ich transformacjami Z przez relacje:

$$\varphi_1 = \left\{ 1010 \right\}_4 \hat{=} \bar{\varphi}_1 = \frac{1+z^{-2}}{1-z^{-4}} = \frac{1}{1-z^{-2}} \quad (17)$$



Rys. 10



Rys. 11

$$\varphi_2 = \{0101\}_4 \hat{=} \Phi_2 = \frac{z^{-1} + z^{-3}}{1 - z^{-4}} = \frac{z^{-1}}{1 - z^2} \quad (18)$$

$$\varphi_3 = \{1000\}_4 \hat{=} \Phi_3 = \frac{1}{1 - z^{-4}} \quad (19)$$

$$\varphi_4 = \{0010\}_4 \hat{=} \Phi_4 = \frac{z^{-2}}{1 - z^{-4}} \quad (20)$$

Klucze S_1 do S_4 opisywane są zatem formułami:

$$S_1: \varphi_2 \vec{i} + \varphi_1 \vec{u} = 0 \quad (21)$$

$$S_2: \varphi_1 \vec{i} + \varphi_2 \vec{u} = 0 \quad (22)$$

$$S_3: \varphi_3 \vec{i} + \varphi_4 \vec{u} = 0 \quad (23)$$

$$S_4: \varphi_4 \vec{i} + \varphi_3 \vec{u} = 0 \quad (24)$$

Natomiast dwójniki osobliwe z rys. 11 formułami:

$$d_{0a}: \varphi_2 \vec{1} + \varphi_1 \langle e \rangle \vec{u} = 0 \quad (25)$$

$$d_{0b}: 0 \vec{1} + [\varphi_2 + \varphi_1 \langle e \rangle] \vec{u} = 0 \quad (26)$$

$$d_{0c}: 0 \vec{1} + [\varphi_4 \langle e \rangle + \varphi_3 \langle -e \rangle] \vec{u} = 0 \quad (27)$$

Odpowiadające im relacje typu (9) mają postać:

$$d_{za} = d_o \bar{\varphi}_1 \langle e \rangle + d_k \varphi_1 \langle e \rangle \quad (28)$$

$$d_{zb} = d_k [\varphi_2 \langle 0 \rangle + \varphi_1 \langle e \rangle] \quad (29)$$

$$d_{zc} = d_k [\varphi_4 \langle e \rangle + \varphi_3 \langle -e \rangle] \quad (30)$$

Dla dwójnika d_{za} w momentach $n = 2k$ zachodzi:

$$d_{za(2k)} = d_o 0 + d_k 1 \langle e \rangle = d_k \quad (31)$$

Zatem kondensator ładuje się do napięcia e bowiem prąd może być dowolny, gdyż $A = \varphi = 0$. W momentach $n = 2k + 1$ zachodzi:

$$d_{za(2k+1)} = d_o 1 \langle e \rangle + d_k \cdot 0 = d_o \quad (32)$$

Lecz d_o jest wtedy przerwą, a zatem u_c pozostaje takie samo jak dla poprzedzającego momentu parzystego.

Napięcia na kondensatorze C_a wynoszą:

$$u_a'(n) = \sum_0^n \varphi_1(k) e(n-k) \quad (33)$$

$$u_a''(n) = \sum_0^n \varphi_1(k-2) e(n-k) \quad (34)$$

Stąd transformata Z ładunku dopływającego:

$$\Delta Q_a(z) = C_a E(z) [\varphi_1(z) - \varphi_1(z) z^{-2}] \quad (35)$$

czyli:

$$\Delta Q_a(z) = C_a E(z) \frac{1 - z^{-2}}{1 + z^{-2}} \quad (36)$$

Prąd można określić jako:

$$I(z) = \frac{\Delta Q(z)}{T} \quad (37)$$

gdzie $T = 2\tau$, a τ jest odstępem kwantyzacji dyskretnych funkcji czasu. Impedancja $Z(z)$ wynosi zatem:

$$Z(z) = \frac{E(z)}{I(z)} = \frac{T}{C_a} \cdot \frac{1 + z^{-2}}{1 - z^{-2}} \quad (38)$$

Analogicznie dla dwójnika d_{zb} , po zwarcie punktów a_f (rys. 8), kondensator ładuje się kolejno do napięć e i 0 . Prąd ładowania może być dowolny, gdyż dla d_{ob} operator A zawsze jest równy 0 . Dla relacji (29) można napisać:

$$\varphi_1 + \varphi_2 = \{1010\}_4 + \{0101\}_4 = \{1 \ 1\}_2 = \varphi_0 \quad (39)$$

Stąd jej transformata Z :

$$\Phi_0 = \frac{1 - z^{-1}}{1 - z^{-2}} = \mathbf{1}(z) \quad (40)$$

Napięcia na C_b wynoszące:

$$u_b^I(n) = \sum_0^n \varphi_0(k) e(n-k) \quad (41)$$

$$u_b^II(n) = \sum_0^n \varphi_0(k-1) 0 = 0 \quad (42)$$

Stąd:

$$Q_b(z) = C_b E(z) \frac{1 + z^{-1}}{1 - z^{-1}} = C_b E(z) \mathbf{1}(z) \quad (43)$$

Natomiast:

$$Z_b(z) = \frac{T}{C_b} \quad (44)$$

Dla trzeciego dwójnika d_{zc} po zwarciu punktów af kondensator ładuje się na przemian do napięć e i $-e$.

Dla relacji (30) można napisać:

$$\varphi_3 + \varphi_4 = \{1010\}_4 = \{10\}_2 = \varphi_1 \quad (45)$$

Napięcia na kondensatorze C_c wynoszą:

$$u'_c(n) = \sum_0^n \varphi_1(k) e(n-k) \quad (46)$$

$$u''_c(n) = \sum_0^n \varphi_1(k-2) [-e(n-k)] \quad (47)$$

Stąd:

$$Q_c(z) = C_c E(z) [\Phi_1(z) + \Phi_1(z) z^{-2}] \quad (48)$$

Czyli:

$$Q_c(z) = C_c E(z) \frac{1 + z^{-2}}{1 - z^{-2}} \quad (49)$$

Stąd:

$$Z_c(z) = \frac{T}{C} \cdot \frac{1 - z^{-2}}{1 + z^{-2}} \quad (50)$$

Jeżeli dla impedancji $Z(z)$ opisanych relacjami (38), (44) i (50) wprowadzić przekształcenia:

$$z^2 = w \quad (51)$$

oraz:

$$\frac{w - 1}{w + 1} = \psi \quad (52)$$

to otrzymuje się relacje:

$$Z_a = \frac{T}{C_a} \cdot \frac{1}{\psi} \quad (53)$$

$$z_b = \frac{1}{C_b} \quad (54)$$

$$z_c = \frac{1}{C_c} \psi \quad (55)$$

które opisują odpowiedniki elementów C, R i L na płaszczyźnie ψ .

5. Uwagi końcowe

Przedstawiony sposób opisu połączeń układów elementów osobliwych z dwójnikami klasycznymi daje dla prostych przykładów wyniki zgodne z otrzymanymi poprzez metody klasyczne. Wydaje się także, że opis ten może być dużym ułatwieniem przy analizie układów bardziej złożonych, które można by rozwiązywać z zastosowaniem przekształceń macierzy boolowskich [6] w miejsce operatorów A i B.

LITERATURA

- [1] Carlin H.J., Youla D.C.: Network synthesis with negative resistors. Proc. IRE, 49, 1961.
- [2] Davies A.C.: The Significance of Nullators, Norators and Nullors in Active - network Theory. The Radio and Electr. Engin. Nov. 1967.
- [3] Topór-Kamiński L.: Elementy osobliwe i rozszerzenie pojęcia komutacji w obwodach elektrycznych. V SPETO, Ustroń 1981, ZN Politechniki Śląskiej, Elektryka z. 79; 1982.
- [4] Topór-Kamiński L.: Wprowadzenia idealnych źródeł autonomicznych i źródłatora do zbioru elementów osobliwych. ZN Politechniki Śląskiej, Automatyka z. 71, 1983.
- [5] Topór-Kamiński L.: Diodowe elementy osobliwe. VI SPETO, Ustroń 1983.
- [6] Topór-Kamiński L.: Analize obwodów osobliwych metodą macierzowych formuł boolowskich. ZN Politechniki Śląskiej, Automatyka (przyjęte do druku).
- [7] Grzegorzczak A.: Zarys logiki matematycznej. PWN, Warszawa 1981.
- [8] Opiał Z.: Algebra wyższa. PWN, Warszawa 1976.
- [9] Nosssek J.A.: Switched - Capacitor - Filters: A Comparison of the Basic Design Principles. ECCTD, Warszawa 1980.
- [10] Tettweis A.: Basic Principles of Switched Capacitor - Filters Using Voltage Inverter Switches. Arch. Elektron. u. Übertragungstechnik, 33, 1973.

Recenzent: doc. dr inż. Maria Jastrzębska

Wpłynęło do redakcji dnia 10 maja 1984 r.

СОЕДИНЕНИЕ АНОМАЛЬНЫХ ЭЛЕМЕНТОВ С КЛАССИЧЕСКИМИ ДВУХПОЛЮСНИКАМИ

Резюме

В статье описаны типичные для аномальных сетей правила распределения соединений последовательных и параллельных относительно себя. Представлен метод определения заменительного двухполюсника для смешанных соединений аномальных и классических элементов также приведён анализ основных двухполюсников в ёмкостно-ключевых цепях.

CONNECTIONS OF SINGULAR ELEMENTS WITH CONVENTIONAL ELEMENTS

Summary

The characteristic distributivity rules of series and parallel connections for singular networks are described.

The method of determining of the equivalent one-part for mixed connections of singular and conventional elements is shown and illustrated by means of the analysis of basic one parts with switched capacitors.

Jan CHOJCAN

Instytut Elektroniki
Politechnika Śląska

OBLICZANIE WRAŻLIWOŚCI WYŻSZYCH RZĘDÓW I ICH ZASTOSOWANIE

Streszczenie. W pracy przedstawiono wzory na obliczenie wrażliwości 2 i 3 rzędu funkcji układowych (oraz ich modułu i fazy) w dziedzinie częstotliwości. Uwzględnienie wrażliwości wyższych rzędów pozwala na rozszerzenie kresu górnego wrażliwości małoprzystotowych. Pozwala to na lepszą aproksymację funkcji układowych przy większych odchyłkach parametrów.

1. Wprowadzenie

Do analizy zachowania się obwodów przy małych zmianach wartości parametrów wykorzystuje się wrażliwości małoprzystotowe 1 rzędu. Można określić ich kres górny [7, 10]. Przy większych zmianach wartości parametrów wykorzystuje się wrażliwości wielkoprzystotowe. Mankamentem tej metody jest znaczny nakład czasu na analizę.

Wykorzystanie małoprzystotowych wrażliwości wyższych rzędów rozszerza znacznie zakres stosowania metod małoprzystotowej analizy wrażliwościowej dla większych przystotów parametrów. Takim postawieniem problemu i próbie jego rozwiązania poświęcona jest ta praca.

Wprowadzono wzory na obliczanie wrażliwości 2 i 3 rzędu efektywną metodą obwodów dołączonych w dziedzinie częstotliwości dla liniowych obwodów złożonych z dwójników pasywnych i źródeł sterowanych i niesterowanych. Podano również wzory na wrażliwości modułu fazy prostych i złożonych funkcji układowych.

Przeanalizowano ile i jakich dodatkowych obwodów należy rozwiązać aby obliczyć współczynniki wrażliwości 2 i 3 rzędu.

Wskazano, na prostych przykładach, na możliwość znacznego zwiększenia kresu górnego wrażliwości małoprzystotowych.

2. Wrażliwości 2 rzędu

Do obliczania wrażliwości 2 rzędu wykorzystano metodę obwodów dołączonych [1, 2, 4, 5, 6, 8], a uzyskane wyniki dla prostych funkcji układo-

wych podano w pracach [9, 10]. Dla przypomnienia podano wzory na wrażliwość napięcia wyjściowego układu U_0 na zmiany admittancej Y_1 oraz Y_j

$$S_{Y_1}^{U_0} \stackrel{\text{df}}{=} \frac{1}{2} \cdot \frac{Y_1^2}{U_0} \cdot \frac{\partial^2 U_0}{\partial Y_1^2} = \frac{Y_1^2}{U_0} U_1 U_1^0 U_1^{0,1} \quad (1)$$

$$S_{Y_1 Y_j}^{U_0} \stackrel{\text{df}}{=} \frac{Y_1 Y_j}{U_0} \cdot \frac{\partial^2 U_0}{\partial Y_1 \partial Y_j} = \frac{Y_1 Y_j}{U_0} (U_1 U_j U_j^{0,1} + U_1^0 U_j U_1^{0,j}) \quad (2)$$

gdzie

- U_1, U_j - napięcie na admittancej $Y_1 (Y_j)$ w obwodzie podstawowym,
- U_1^0, U_j^0 - napięcie na tych samych elementach w obwodzie dołączonym,
- $U_1^{0,1}, U_j^{0,1}$ - napięcia na Y_1, Y_j w obwodzie podstawowym zasilanym przez SPM 1 A dołączoną równolegle do admittancej Y_1 ,
- $U_1^{0,j}$ - napięcie na admittancej Y_1 w obwodzie podstawowym zasilanym przez SPM 1 A dołączoną równolegle do admittancej Y_j .

Wiadomo, że dla wrażliwości 1 rzędu

$$S_{x_1}^{U_0} = S_{x_1}^{|U_0|} + j Q_{x_1}^{U_0} \quad (3)$$

gdzie

$$U_0 = |U_0| e^{j\varphi}$$

$$S_{x_1}^{|U_0|} \stackrel{\text{df}}{=} \frac{x_1}{|U_0|} \cdot \frac{\partial |U_0|}{\partial x_1} \quad \text{- wrażliwość względna 1 rzędu modułu napięcia wyjściowego } U_0 \text{ na zmianę rzeczywistego parametru } x_1,$$

$$Q_{x_1}^{U_0} \stackrel{\text{df}}{=} x_1 \frac{\partial \varphi}{\partial x_1} \quad \text{- wrażliwość 1 rzędu fazy napięcia } U_0 \text{ na zmianę rzeczywistego parametru } x_1.$$

Zależność ta dla wrażliwości 2 rzędu jest bardziej złożona. Można wykazać [10], że np.

$$S_{x_1^2}^{U_0} = S_{x_1^2}^{|U_0|} - \frac{1}{2} (Q_{x_1}^{U_0})^2 + j (Q_{x_1^2}^{U_0} + S_{x_1}^{|U_0|} Q_{x_1}^{U_0}) \quad (4)$$

gdzie

$$S_{x_1^2}^{|U_0|} \stackrel{\text{df}}{=} \frac{1}{2} \cdot \frac{x_1^2}{|U_0|} \cdot \frac{\partial^2 |U_0|}{\partial x_1^2} \quad \text{- wrażliwość względna 2 rzędu modułu napięcia } U_0 \text{ na zmianę parametru } x_1,$$

$Q_{x_1^2} \frac{d}{df} \frac{1}{2} x_1^2 \frac{\partial^2 \varphi}{\partial x_1^2}$ - wrażliwość 2 rzędu fazy napięcia U_0 na zmianę parametru x_1 .

Ze wzoru (4) wynika, że

$$S_{x_1^2} |U_0| = \operatorname{Re}(S_{x_1^2} U_0) + \frac{1}{2} (Q_{x_1^2} U_0)^2 \quad (5)$$

oraz

$$Q_{x_1^2} U_0 = \operatorname{Im}(S_{x_1^2} U_0) - S_{x_1} |U_0| Q_{x_1} U_0 \quad (6)$$

Postępując analogicznie, uzyskano

$$S_{x_1 x_j} |U_0| \frac{d}{df} \frac{x_1 x_j}{|U_0|} \cdot \frac{\partial^2 |U_0|}{\partial x_1 \partial x_j} = \operatorname{Re}(S_{x_1 x_j} U_0) + Q_{x_1} U_0 Q_{x_j} U_0 \quad (7)$$

oraz

$$Q_{x_1 x_j} U_0 \frac{d}{df} \frac{x_1 x_j}{|U_0|} \cdot \frac{\partial^2 \varphi}{\partial x_1 \partial x_j} = \operatorname{Im}(S_{x_1 x_j} U_0) - S_{x_1} |U_0| Q_{x_j} U_0 - S_{x_j} |U_0| Q_{x_1} U_0 \quad (8)$$

Dla złożonych funkcji układowych ($T = K_U, K_I, M, N, Y_{we}, Y_{wy}$) $T = \frac{a}{b}$, gdzie a, b proste funkcje układowe (prądy lub napięcia na wrotach), wrażliwości 2 rzędu na zmianę jednego parametru x_1 lub dwóch x_1, x_j można wyznaczyć z zależności [10]:

$$S_{x_1^2}^T = S_{x_1^2}^a - S_{x_1^2}^b - S_{x_1^2}^a S_{x_1^2}^b + (S_{x_1^2}^b)^2 \quad (9)$$

oraz

$$S_{x_1 x_j}^T = S_{x_1 x_j}^a - S_{x_1 x_j}^b - S_{x_1}^a S_{x_j}^b - S_{x_j}^a S_{x_1}^b + 2S_{x_1}^b S_{x_j}^b \quad (10)$$

Po przekształceniach [10] uzyskano wzory na wrażliwości modułu i fazy funkcji układowych:

$$S_{x_1^2} |T| = S_{x_1^2} |a| - S_{x_1^2} |b| - S_{x_1} |a| S_{x_1} |b| + (S_{x_1} |b|)^2 \quad (11)$$

$$Q_{x_1^2}^T = Q_{x_1^2}^a - Q_{x_1^2}^b \quad (12)$$

oraz

$$S_{x_1^T x_j} = S_{x_1^a x_j} - S_{x_1^b x_j} - S_{x_1^a x_j} S_{x_j^b} S_{x_j^a} S_{x_1^b} + 2 S_{x_1^b x_j} S_{x_j^b} \quad (13)$$

1

$$Q_{x_1^T x_j} = Q_{x_1^a x_j} - Q_{x_1^b x_j} \quad (14)$$

Z przeprowadzonej w pracach [10 i 4] analizy wynika, że do obliczenia wrażliwości 2 rzędu funkcji układowej na zmianę m parametrów obwodu należy dodatkowo rozwiązać m układów równań opisujących układ podstawowy z wymuszeniami (SPM 1 A) połączonymi równolegle kolejno do każdego ze zmieniających się elementów lub gałęzi sterowanych zmieniających współczynnik sterowania źródeł.

3. Wrażliwości 3 rzędu

Obliczanie wrażliwości 3 rzędu metodą obwodów dołączonych jest bardzo ekonomiczne, wymaga bowiem tylko dodatkowej 1-krotnej analizy obwodu podstawowego (gdzie 1 - liczba zmieniających się źródeł sterowanych) [10] zasilanego przez SPM 1 A połączoną kolejno równolegle do gałęzi sterującej zmieniającego się źródła sterowanego.

Wrażliwości względne 3 rzędu funkcji układowej T na zmiany parametrów $x_1 x_j x_k$ zdefiniowane są następująco:

$$S_{x_1^3}^T \stackrel{\text{df}}{=} \frac{1}{T} \cdot \frac{x_1^3}{T} \cdot \frac{\partial^3 T}{\partial x_1^3} \quad (15)$$

$$S_{x_1^2 x_j}^T \stackrel{\text{df}}{=} \frac{1}{T} \cdot \frac{x_1^2 x_j}{T} \cdot \frac{\partial^3 T}{\partial x_1^2 \partial x_j} \quad (16)$$

$$S_{x_1 x_j x_k}^T \stackrel{\text{df}}{=} \frac{x_1 x_j x_k}{T} \cdot \frac{\partial^3 T}{\partial x_1 \partial x_j \partial x_k} \quad (17)$$

Prześledźmy wyprowadzenie wzoru na wrażliwość 3 rzędu prostej funkcji układowej, np. $T = U_0$ na zmianę parametru $x_1 = Y_1$. Trzecia pochodna napięcia U_0 podług Y_1 wyznaczona jest z zależności

$$\frac{\partial^3 U_0}{\partial Y_1^3} = \frac{\partial}{\partial Y_1} (2U_1 U_1^0 U_1^{0,1}) = 2U_1 U_1^1 U_1^0 U_1^{0,1} + 2U_1 U_1^0 U_1^{0,1} U_1^{0,1} + 2U_1 U_1^0 U_1^{0,1} U_1^{0,1,1} = 6U_1 U_1^0 (U_1^{0,1})^2$$

a wrażliwość 3 rzędu

$$S_{Y_1}^3 U_0 = \frac{1}{6} \cdot \frac{Y_1^3}{U_0} \cdot \frac{\partial^3 U_0}{\partial Y_1^3} = \frac{Y_1^3}{U_0} U_1 U_1^0 (U_1^{0,1})^2 \quad (18)$$

Jeszcze wyprowadzenie wzoru na wrażliwość 3 rzędu napięcia U_0 na zmianę współczynnika wzmocnienia napięciowego $x_1 = ws_1$ i-tego źródła napięciowego sterowanego napięciem (ZNSN). Trzecią pochodną napięcia U_0 podług ws_1 wyznaczą się z zależności:

$$\frac{\partial^3 U_0}{\partial ws_1^3} = \frac{\partial}{\partial ws_1} (U_{11} U_{11}^{0,221} U_{221}^0 + U_{11} U_{11}^0 U_{221}^{0,221})$$

gdzie [8]

$U_{11}, U_{11}^0, U_{11}^{0,221}$ - napięcia na gałęzi sterującej i-tego ZNSN kolejno w obwodzie podstawowym, dołączonym i podstawowym zasilanym przez SPM 1 A połączoną równolegle do gałęzi sterowanej tego źródła,

$U_{221}^0, U_{221}^{0,221}$ - napięcie na gałęzi sterowanej i-tego ZNSN kolejno w obwodzie dołączonym i podstawowym zasilanym przez SPM 1 A połączoną równolegle do gałęzi sterowanej tego źródła.

Ponieważ pochodne cząstkowe pierwszego rzędu można wyznaczyć [8] z zależności:

$$\frac{\partial U_{11}}{\partial ws_1} = U_{11} U_{221}^{11}$$

$$\frac{\partial U_{11}^{0,221}}{\partial ws_1} = U_{11}^{0,221} U_{221}^{0,221,11}$$

LP.	Parametr x_1	Parametr x_2	Parametr x_k	Analizowane obszary (baz N_1, N^0)	Analizowane obszary niekorzystane przy obliczeniach wrażliwości rzędu	$\frac{\partial^3 U_0}{\partial x_1 \partial x_2 \partial x_k}$
1	Y_1	Y_1	Y_1	$N^0, 1$		$6 U_1 U_2^2 (U_1^0, 1)^2$
2	Y_1	Y_1	Y_2	$N^0, 1, N^0, 2$		$2(U_1 U_2^2 U_3^0 + U_1 U_2^2 U_3^0 + U_2^2 U_1^0 U_3^0 + U_2^2 U_1^0 U_3^0)$
3	Y_1	Y_2	Y_k	$N^0, 1, N^0, 2$ $N^0, 1, k$		$U_2^2 (U_1^0 U_3^0 U_k^0 + U_1^0 U_3^0 U_k^0 + U_2^0 U_1^0 U_k^0 + U_1^0 U_2^0 U_k^0) + U_1^0 U_2^0 U_3^0 U_k^0$
4	$ZNSN$ w_1	$ZNSN$ w_1	$ZNSN$ w_1	$N^0, 221$ $N^0, 11$	$N^0, 11$	$U_1 [2U_1^2 U_2^2 U_3^2 + U_2^2 U_3^2 + 2U_1^2 U_2^2 U_3^2 + U_1^2 U_2^2 U_3^2 + U_1^2 U_2^2 U_3^2]$
5	$ZNSN$ w_1	$ZNSN$ w_1	$ZNSN$ w_2	$N^0, 221$ $N^0, 222$ $N^0, 11$	$N^0, 11$	$U_1 U_2^2 (U_1^0, 221 U_2^0, 221 + U_2^0, 221 U_1^0, 11) + U_1 U_2^2 U_3^2 + U_1 U_2^2 U_3^2 + U_1 U_2^2 U_3^2 + U_1 U_2^2 U_3^2 + U_1 U_2^2 U_3^2 + U_1 U_2^2 U_3^2$
6	$ZNSN$ w_1	$ZNSN$ w_2	$ZNSN$ w_k	$N^0, 221$ $N^0, 222$ $N^0, 22k$		$U_1^2 (U_2^0, 222 U_3^0, 222 U_k^0 + U_2^0, 222 U_3^0, 222 U_k^0 + U_3^0, 222 U_1^0, 222 U_k^0 + U_1^0, 222 U_2^0, 222 U_k^0) + U_1 U_2 U_k + (U_1 U_2 U_k + U_2 U_1 U_k + U_1 U_2 U_k + U_2 U_1 U_k + U_1 U_2 U_k + U_2 U_1 U_k)$
7	$ZNSN$ w_1	Y_2	Y_2	$N^0, 3$ $N^0, 221$		$2U_1 U_2 U_3 (U_1^0, 3 U_2^0, 221 + U_2^0, 221 U_1^0, 3 U_3^0 + 2U_1 U_2 U_3 U_1^0 U_2^0 U_3^0)$
8	$ZNSN$ w_1	Y_2	Y_k	$N^0, 221$ $N^0, 1, N^0, k$		$U_1 U_2 (U_3^0, 221 U_1^0, 0, 221 + U_1^0, 0, 221 U_2^0, 221 + U_2^2 (U_1^0 U_2^0 U_3^0 + U_1^0 U_2^0 U_3^0 + U_1^0 U_2^0 U_3^0) + U_1^0 U_2^0 U_3^0 U_k^0 + U_1^0 U_2^0 U_3^0 U_k^0 + U_1^0 U_2^0 U_3^0 U_k^0 + U_1^0 U_2^0 U_3^0 U_k^0 + U_1^0 U_2^0 U_3^0 U_k^0 + U_1^0 U_2^0 U_3^0 U_k^0)$

Tablice

$$\frac{\partial U_{221}^0}{\partial w s_1} = U_{11}^0 U_{221}^{0,221}$$

$$\frac{\partial U_{11}^0}{\partial w s_1} = U_{11}^0 U_{221}^{0,11}$$

$$\frac{\partial U_{221}^{0,221}}{\partial w s_1} = U_{11}^{0,221} U_{221}^{0,221,221}$$

więc po przekształceniach i wykorzystaniu zasady międzywzajemności [1, 10] uzyskamy wzór na wrażliwość postaci:

$$S_{w s_1}^{U_0} = \frac{1}{6} \cdot \frac{w s_1^3}{U_0} U_{11} \cdot (2U_{11}^0 U_{11}^{0,221} U_{11}^{0,221,221} + 2U_{221}^0 (U_{11}^{0,221})^2 + U_{11}^0 U_{221}^{0,221} (U_{11}^{0,221} + U_{221}^{0,11})). \quad (19)$$

Wszystkie wzory podano w pracy [10], niektóre z nich umieszczono w tabelicy 1. Analogicznie, jak dla wrażliwości 2 rzędu, wyprowadza się wzory na wrażliwości 3 rzędu modułu i fazy prostych funkcji układowych (np. $T = U_0$) na zmiany parametrów $x_1 x_j x_k$ i tak [10]

$$S_{x_1}^{|U_0|} \stackrel{\text{df}}{=} \frac{1}{6} \cdot \frac{x_1^3}{U_0} \cdot \frac{\partial^3 |U_0|}{\partial x_1^3} = \operatorname{Re}(S_{x_1}^{U_0}) + \frac{1}{2} S_{x_1}^{|U_0|} (Q_{x_1}^{U_0})^2 + Q_{x_1}^{U_0} Q_{x_1}^{2U_0} \quad (20)$$

i

$$Q_{x_1}^{U_0} \stackrel{\text{df}}{=} \frac{1}{6} x_1^3 \frac{\partial^3 \varphi}{\partial x_1^3} = \operatorname{Im}(S_{x_1}^{U_0}) - S_{x_2}^{|U_0|} Q_{x_1}^{U_0} - S_{x_1}^{|U_0|} Q_{x_2}^{U_0} + \frac{1}{6} (Q_{x_1}^{U_0})^3 \quad (21)$$

oraz

$$S_{x_1 x_j}^{|U_0|} \stackrel{\text{df}}{=} \frac{1}{2} \cdot \frac{x_1^2 x_j}{|U_0|} \cdot \frac{\partial^3 |U_0|}{\partial x_1^2 \partial x_j} = \operatorname{Re}(S_{x_1 x_j}^{U_0}) + \frac{1}{2} S_{x_j}^{|U_0|} (Q_{x_1}^{U_0})^2 + S_{x_1}^{|U_0|} \cdot Q_{x_1}^{U_0} Q_{x_j}^{U_0} + Q_{x_1}^{U_0} x_j Q_{x_1}^{U_0} + Q_{x_1}^{2U_0} Q_{x_j}^{U_0} \quad (22)$$

$$\begin{aligned}
 Q_{x_1^2 x_j}^{U_0} \frac{df}{df} \frac{1}{2} x_1^2 x_j \frac{\partial^3 \varphi}{\partial x_1^2 \partial x_j} &= \text{Im}(s_{x_1^2 x_j}^{U_0}) - s_{x_1^2}^{U_0} Q_{x_j}^{U_0} - s_{x_1 x_j}^{U_0} Q_{x_1}^{U_0} - \\
 &- s_{x_1}^{U_0} Q_{x_1 x_j}^{U_0} - s_{x_j}^{U_0} Q_{x_1^2}^{U_0} + \frac{1}{2} (Q_{x_1}^{U_0})^2 Q_{x_j}^{U_0}
 \end{aligned} \quad (23)$$

wreszcie

$$\begin{aligned}
 s_{x_1 x_j x_k}^{U_0} \frac{df}{df} \frac{x_1 x_j x_k}{|U_0|} \cdot \frac{\partial^3 |U_0|}{\partial x_1 \partial x_j \partial x_k} &= \text{Re}(s_{x_1 x_j x_k}^{U_0}) + s_{x_1}^{U_0} \cdot Q_{x_j}^{U_0} Q_{x_k}^{U_0} + \\
 &+ s_{x_j}^{U_0} Q_{x_1}^{U_0} Q_{x_k}^{U_0} + s_{x_k}^{U_0} Q_{x_1}^{U_0} Q_{x_j}^{U_0} + Q_{x_1 x_j}^{U_0} Q_{x_k}^{U_0} + \\
 &+ Q_{x_1 x_k}^{U_0} Q_{x_j}^{U_0} + Q_{x_j x_k}^{U_0} Q_{x_1}^{U_0}
 \end{aligned} \quad (24)$$

1

$$\begin{aligned}
 Q_{x_1 x_j x_k}^{U_0} \frac{df}{df} x_1 x_j x_k \frac{\partial^3 \varphi}{\partial x_1 \partial x_j \partial x_k} &= \text{Im}(s_{x_1 x_j x_k}^{U_0}) - s_{x_1 x_j}^{U_0} \cdot Q_{x_k}^{U_0} - \\
 &- s_{x_1 x_k}^{U_0} Q_{x_j}^{U_0} - s_{x_j x_k}^{U_0} Q_{x_1}^{U_0} - s_{x_1}^{U_0} Q_{x_j x_k}^{U_0} - \\
 &- s_{x_j}^{U_0} Q_{x_1 x_k}^{U_0} - s_{x_k}^{U_0} Q_{x_1 x_j}^{U_0} + Q_{x_1}^{U_0} Q_{x_j}^{U_0} Q_{x_k}^{U_0}
 \end{aligned} \quad (25)$$

Wzory dla złożonych funkcji układowych podano w pracy [10].

Tak więc dla obliczenia wrażliwości małoprzyszostowej prostej funkcji układowej na zmiany, np. n parametrów metodą obwodów dołączonych należy przeprowadzić analizę:

- obwodu podstawowego N i dołączonego N^0 (wrażliwości 1 rzędu),
- n obwodów podstawowych ($N^{0,1}$, $i = 1, \dots, n$) zasilanych przez SPM 1 A połączoną kolejno równolegle do każdego ze zmieniających się elementów jeśli jest to dwójnik lub równolegle do gałęzi sterowanych, jeśli zmieniającym się parametrem jest współczynnik sterowania źródła sterowanego (wrażliwości 2 rzędu),
- 1 obwodów podstawowych (gdzie 1 - liczba zmieniających się współczynników sterowania źródeł sterowanych) zasilanych kolejno przez SPM 1 A połączoną równolegle do gałęzi sterujących zmieniających się źródeł

(wrażliwości 3 rzędu), czyli liczba niezbędnych analiz obwodu do obliczenia wrażliwości 1, 2 i 3 rzędu wynosi

$$N = 2 + n + 1. \quad (26)$$

4. Zastosowanie

Jak już wspomniano wrażliwości wyższych rzędów mogą być wykorzystane również do lepszej aproksymacji funkcji układowych dla większych, niż to było możliwe przy uwzględnieniu tylko wrażliwości 1 rzędu, odchyłek wartości parametrów obwodu. Przeanalizujemy dokładność aproksymacji modułu funkcji układowej T .

Gdy uwzględnione zostaną wrażliwości 1 rzędu wówczas odchyłka

$$t'_{|T|} = \sum_{i=1}^n S_{x_i}^{|T|} t_i, \quad (27)$$

gdzie

n - liczba parametrów obwodu uwzględnionych przy obliczaniu wrażliwości 1 rzędu,

t_i - odchyłka i -go parametru x_i .

Po uwzględnieniu wrażliwości 1 i 2 rzędu odchyłka aproksymowana jest zależnością

$$t''_{|T|} = \sum_{i=1}^n S_{x_i}^{|T|} t_i + \sum_{i=1}^m \sum_{j=1}^m S_{x_i x_j}^{|T|} t_i t_j \quad (28)$$

gdzie

m - liczba parametrów obwodu uwzględnionych przy obliczaniu wrażliwości 2 rzędu,

t_j - odchyłka j -go parametru x_j .

Analogicznie, gdy uwzględnimy wrażliwości 1, 2 i 3 rzędu

$$\begin{aligned} t'''_{|T|} &= \sum_{i=1}^n S_{x_i}^{|T|} t_i + \sum_{i=1}^m \sum_{j=1}^m S_{x_i x_j}^{|T|} t_i t_j + \\ &+ \sum_{i=1}^p \sum_{j=1}^p \sum_{k=j}^p S_{x_i x_j x_k}^{|T|} t_i t_j t_k \end{aligned} \quad (29)$$

gdzie

σ - liczba parametrów obwodu uwzględnionych przy obliczeniu wrażliwości 3 rzędu,

τ_k - odchyłka k-go parametru x_k .

Na uwagę zasługuje fakt, że w zależnościach (28) (29) występują wrażliwości modułów funkcji układowych a nie części rzeczywiste wrażliwości funkcji układowych.

Analogicznie, jak dla wrażliwości 1 rzędu, można i dla wrażliwości wyższych rzędów zdefiniować kres górny wrażliwości małoprzyrostowych jako tę wartość odchyłki parametrów, dla której moduł względnej różnicy między odchyłką funkcji układowej aproksymowanej zależnością (27) (28) lub (29) a dokładną wartością tej odchyłki jest mniejszy od zadanej wartości ϵ ($\epsilon = 0,005; 0,01; 0,05; 0,1$) [3, 7, 10].

Dla najgorszych warunków pracy (dla wrażliwości 1 rzędu) i równych (co do modułów) tolerancyjnych parametrów zależności (27) (28) (29) redukują się do postaci

$$\tau_{|T|}^1 = at, \quad (30)$$

$$\tau_{|T|}^2 = at + bt^2, \quad (31)$$

$$\tau_{|T|}^3 = at + bt^2 + ct^3 \quad (32)$$

Aproksymacja odchyłki jest przedstawiona w postaci potęgowego szeregu Taylora, więc uwzględnienie kolejnego wyrazu rozwinięcia zmniejsza resztę, czyli błąd aproksymacji.

Oznaczmy dokładną wartość odchyłki modułu funkcji układowej przez $\tau_{|T|}^0$ wówczas kres górny wrażliwości małoprzyrostowych można wyznaczyć z zależności:

$$\left| \frac{\tau_{|T|}^1 - \tau_{|T|}^0}{\tau_{|T|}^0} \right| = \epsilon \quad (33)$$

dla wrażliwości 1 rzędu,

$$\left| \frac{\tau_{|T|}^2 - \tau_{|T|}^0}{\tau_{|T|}^0} \right| = \epsilon \quad (34)$$

dla wrażliwości 1 i 2 rzędu

$$\left| \frac{\tau_{|T|}^3 - \tau_{|T|}^0}{\tau_{|T|}^0} \right| = \epsilon \quad (35)$$

dla wrażliwości 1, 2 i 3 rzędu.

Zilustrujmy te wyniki prostymi, dla przejrzystości, przykładami. Bardziej złożone podano w pracy [10].

Przykład 1

Należy określić kres górny wrażliwości małoprzyrostowej dla wrażliwości 1, 2 i 3 rzędu oporowego dzielnika napięcia EG_1G_2 dla najgorszych warunków pracy dzielnika ($t_1 = t_{G1} = t = -t_{G2} = -t_2$) jeśli napięcie wyjściowe $T = U_0$ zbierane jest z G_2 , $t_E = 0$ a nominalna wartości parametrów: $E = 3 \text{ V}$, $G_1 = 1 \text{ S}$, $G_2 = 0,5 \text{ S}$.

Odchyłka napięcia U_0 dla najgorszych warunków pracy aproksymowana jest zależnością

$$\begin{aligned}
 t_{U_0} &= (s_{G_1}^{U_0} t_1 + s_{G_2}^{U_0} t_2) + (s_{G_1}^{U_0,2} + s_{G_1 G_2}^{U_0} t_1 t_2 + s_{G_2}^{U_0} t_2^2) + \\
 &+ s_{G_1}^{U_0,3} t_1^3 + s_{G_1 G_2}^{U_0} t_1^2 t_2 + s_{G_1 G_2}^{U_0} t_1 t_2^2 + s_{G_2}^{U_0,3} t_2^3 = \\
 &= (s_{G_1}^{U_0} - s_{G_2}^{U_0}) t + (s_{G_1}^{U_0} + s_{G_2}^{U_0} - s_{G_1 G_2}^{U_0}) t^2 + \\
 &+ (s_{G_1}^{U_0,3} + s_{G_1 G_2}^{U_0} - s_{G_1 G_2}^{U_0} - s_{G_2}^{U_0,3}) t^3 = \frac{2}{3} t - \frac{2}{9} t^2 + \frac{2}{27} t^3.
 \end{aligned}$$

Stąd można obliczyć, że kres górny tolerancji $t = t_g$ wynosi:

- dla wrażliwości 1 rzędu $t_g = \pm 3 e$,
- dla wrażliwości 1 i 2 rzędu $t_g = \pm 3 \sqrt{|e|}$,
- dla wrażliwości 1, 2 i 3 rzędu $t_g = \pm 3 \sqrt[3]{|e|}$.

W tabelicy 2 podano kresy górne tolerancji dla kilku wartości e .

Tablica 2

$ tg $ dla wrażliwości rzędu:	$e = 0,05$	$e = 0,01$	$e = 0,05$	$e = 0,1$
1	0,015	0,03	0,15	0,3
1 i 2	0,212	0,3	0,671	0,949
1, 2 i 3	0,513	0,646	1,11	1,393

Przykład 2

Dzielnik z poprzedniego przykładu zastąpiono dzielnikiem EGC. Nominalne wartości: $E = 1 \text{ V}$, $G = 1 \text{ S}$, $\omega C = 1 \text{ S}$. Funkcja układowa $T = U_0$, gdzie U_0 napięcie na zaciekach kondensatora.

Kresy górne tolerancji i modułu napięcia U_0 dla najniekorzystniejszych warunków pracy ($t = t_G = -t_C$) dla kilku wartości ϵ podano w tablicy 3.

Tablica 3

$ tg $ dla wrażliwości rzędu:	$\epsilon = 0,005$	$\epsilon = 0,01$	$\epsilon = 0,05$	$\epsilon = 0,1$
1	0,01	0,02	0,088	0,16
1 1 2	0,102	0,145	0,31	0,51
1, 2 1 3	0,215	0,27	0,428	0,52'

5. Wnioski

Wykorzystanie wrażliwości wyższych rzędów do zwiększenia dokładności aproksymacji lub rozszerzenia przedziału dopuszczalnych odchyłek parametrów przy stałym błędzie aproksymacji funkcji układowej budzi, ze względu na konkurencyjny w porównaniu z analizą wielokoprostową czas obliczeń, uzasadnioną nadzieję na ich szersze zastosowanie.

Uwzględnienie wrażliwości wyższych, niż 3 rzędów nie wymaga dodatkowych analiz obwodu, wydłużając się jednak wzory końcowe.

LITERATURA

- [1] Calahan D.: Projektowanie układów elektronicznych za pomocą maszyn cyfrowych, WNT, Warszawa 1978.
- [2] Chua L., Pen-M.L.: Komputerowa analiza układów elektronicznych, WNT, Warszawa 1981.
- [3] Stybliński M.: Metody analizy i optymalizacji tolerancji parametrów układów elektronicznych, WNT, Warszawa 1981.
- [4] Seth A.K., Roe P.H.: Higher Derivative Network Sensitivities Using Adjoint Network, Int. J. Cir. Theory Appl., Vol. 1, 215-226 (1973).
- [5] Richards G.A.: Second-Derivative Sensitivity Using the Concept of the Adjoint Network, El. Lett., 5, 398-399 (1969).
- [6] Goddard P.J., Spence R.: Efficient Method for Calculation of First and Second-Order Network Sensitivities, El. Lett., 5, 351-352 (1969).
- [7] Metody statystycznej i wrażliwościowej analizy i optymalizacji układów, Wydawnictwo Politechniki Warszawskiej, Warszawa 1981.
- [8] Chojcan J., Lasek L.: Metody analizy wrażliwościowej układów elektronicznych, skrypt uczelniany Politechniki Śląskiej, wyd. II, Gliwice 1982.

- [9] Chojcan J.: Analiza wrażliwości wyższych rzędów, Materiały VI KKTO1UE s. 156-161, Gliwice 1983.
- [10] Chojcan J.: Obliczanie wrażliwości wyższych rzędów, Raport wewnętrzny Instytutu Elektroniki, Gliwice 1983.

Recenzent: doc. dr hab. inż. Michał Tadeusiewicz

Wpłynęło do redakcji dnia 10 maja 1984 r.

АНАЛИЗ ЧУВСТВИТЕЛЬНОСТИ МАЛЫХ ПРИРАЩЕНИИ ВЫСШИХ ПОРЯДКОВ

Р е з ю м е

В статье представлен анализ чувствительности, методом присоединённых схем, второго и третьего порядка. Рассматривается применение его к анализу разбросов выходов электронных схем. Представлены численные примеры.

SOLVING OF HIGHER ORDER NETWORK SENSITIVITIES AND THEIR APPLICATIONS

S u m m a r y

In the paper formulae for solving second and third order network sensitivities in the frequency domain and their application to the approximation of the transfer functions for larger change of parameters are given.

Andrzej DRYGAJŁO

Instytut Elektroniki
Politechnika Śląska

DYSKRETNE DIADYCZNE UKŁADY LINIOWE

Streszczenie. W pracy przedstawiono opis dyskretnych układów liniowych niezmiennych względem przesunięcia diadycznego wykorzystując metodę odpowiedzi impulsowej. Wykazano, że diadyczne układy liniowe mogą być realizowane przez cyfrowe skalarnie filtry sekwencyjnościowe za pomocą algorytmów szybkich transformacji.

1. Wprowadzenie

Rozwój techniki cyfrowej, oparty na postępach technologii układów scalonych, stworzył potrzebę adekwatnej analizy i syntezy liniowych układów dyskretnych za pomocą algorytmów o minimalnej złożoności obliczeniowej. Znaczny postęp w tym zakresie można uzyskać na bazie teorii sekwencyjnościowej sygnałów [1], w której pod pojęciem sekwencyjność rozumiana jest uogólniona częstotliwość oznaczająca jedną drugą liczby przejść przez zero funkcji Walsha w przedziale określoności.

Punktem wyjścia do rozważań przeprowadzonych w niniejszej pracy są następujące znane stwierdzenia [2]:

- matematyczną definicją układu dyskretnego jest jednoznaczne przekształcenie lub operator, który odwzorowuje ciąg wejściowy $\{x\}$ w ciąg wyjściowy $\{y\}$:

$$\{y\} = T[\{x\}] \quad (1)$$

- klasy układów dyskretnych określa się na podstawie właściwości $T[\cdot]$,
- klasę układów liniowych określa zasada superpozycji: jeśli $\{y_1\}$ i $\{y_2\}$ są odpowiedziami układu odpowiednio na pobudzenia $\{x_1\}$ i $\{x_2\}$, to układ jest liniowy wtedy i tylko wtedy, gdy

$$T[a\{x_1\} + b\{x_2\}] = a T[\{x_1\}] + b T[\{x_2\}] = a\{y_1\} + b\{y_2\} \quad (2)$$

dla dowolnych stałych a i b .

2. Splot diadyczny

Dowolny skończony ciąg $\{x(m)\}$ dany w $1_N = 2^p$ ($p = 0, 1, 2, \dots$) punktach można wyrazić jako sumę diadycznie przesuniętych i pomnożonych ciągów impulsowych

$$x(m) = \sum_{n=0}^{N-1} \delta(m \ominus n) x(n) \quad (3)$$

gdzie \ominus oznacza różnicę modulo 2, która jest równoważna sumie modulo 2 oznaczanej przez \oplus .

Zatem opis równoważny ma postać

$$x(m) = \sum_{n=0}^{N-1} \delta(m \oplus n) x(n) \quad (4)$$

Przykładowo, wynik zastosowania operacji przesunięcia diadycznego dyskretnych sygnałów skończonych danych w $N = 8$ punktach przedstawia rysunek 1. Można zauważyć, że przesunięcie diadyczne skończonych ciągów $\{x(n)\}$ dla $N = 2^p$ zachowuje ich podstawowe symetrie.

Diadyczny sposób przedstawiania sygnałów (4) w połączeniu z zależnością (2) sugeruje, że układ liniowy można w pełni scharakteryzować za pomocą jego odpowiedzi impulsowej.

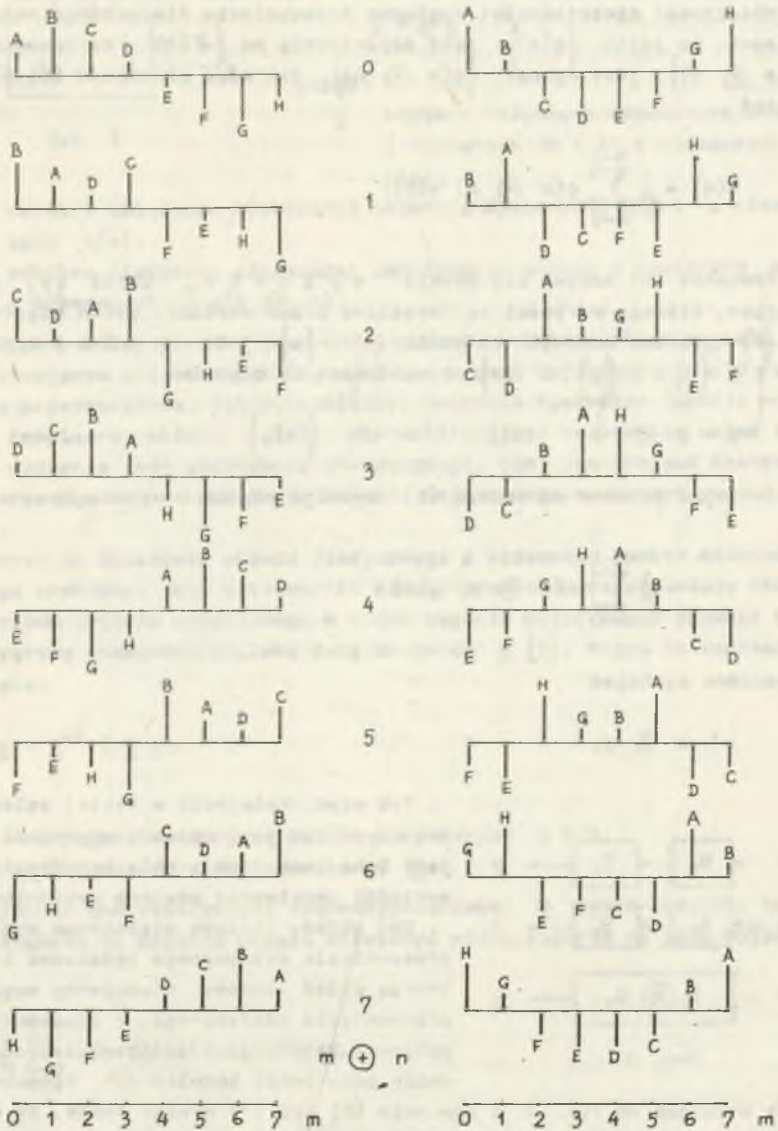
W szczególności niech $\{g(m, n)\}$ będzie odpowiedzią układu na ciąg impulsowy $\delta(m \oplus n)$, występujący dla $m = n$. Wówczas z zależności (1) i (4):

$$y(m) = T \left[\sum_{n=0}^{N-1} \delta(m \oplus n) x(n) \right].$$

Na podstawie równania (2) można napisać

$$y(m) = \sum_{n=0}^{N-1} T \left[\delta(m \oplus n) \right] x(n) = \frac{1}{N} \sum_{n=0}^{N-1} g(m, n) x(n) \quad (5)$$

Zgodnie z zależnością (5) odpowiedź układu na pobudzenie $\{x(n)\}$ można wyrazić w zależności od odpowiedzi układu na $\{\delta(m \oplus n)\}$. Jeśli narzucić tylko warunek liniowości, $g(m, n)$ będzie zależeć zarówno od m jak i od n , a to bardzo ograniczy możliwości obliczenia wyrażenia (5). Znacznie bardziej użyteczne wyniki uzyskuje się, jeśli przyjęć dodatkowo warunek niezmienności względem przesunięcia diadycznego.



Rys. 1

Klasę układów liniowych niezmiennych względem przesunięcia diadycznego charakteryzuje się przez właściwość, że jeśli $\{y(m)\}$ jest odpowiedzią na pobudzenie $\{x(n)\}$, to $\{y(m \oplus k)\}$ jest odpowiedzią na $\{x(n \oplus k)\}$, gdzie k jest dodatnią liczbą całkowitą [3], [4].

Właściwość niezmienności względem przesunięcia diadycznego nasuwa wniosek, że jeśli $\{g(n)\}$ jest odpowiedzią na $\{\delta(n)\}$, to odpowiedzią na $\{\delta(m \oplus n)\}$ jest wprost $\{g(m \oplus n)\}$. Tak więc zależność (5) przyjmuje postać

$$y(m) = \frac{1}{N} \sum_{n=0}^{N-1} g(m \oplus n) x(n) \quad (6)$$

Równanie (6) nazywa się zwykle splotem. Jeśli $\{y\}$ jest ciągiem, którego wartości są określone przez wartości dwóch ciągów $\{g\}$ i $\{x\}$ poprzez wzór (6) to mówimy, że $\{y\}$ jest splotem diadycznym $\{g\}$ z $\{x\}$ i oznaczamy to symbolem

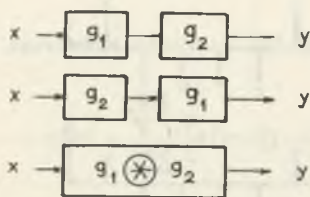
$$y = g \circledast x$$

Zamieniając zmienne we wzorze (6) uzyskuje się inne wyrażenie

$$y(m) = \frac{1}{N} \sum_{n=0}^{N-1} x(m \oplus n) g(n) \quad (7)$$

oznaczane symbolem

$$y = x \circledast g.$$



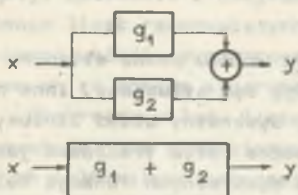
Rys. 2

Tak więc, kolejność w jakiej splata się dwa ciągi nie jest ważna i odpowiedź układu jest taka sama, jeśli role pobudzenia i odpowiedzi impulsowej zostaną zamienione.

Dwa układy liniowe niezmiennie względem przesunięcia diadycznego połączone kaskadowo tworzą układ liniowy, niezmienny względem przesunięcia diadycznego, o odpowiedzi impulsowej, która jest splotem diadycznym dwóch odpowiedzi impulsowych. Właściwość ta

jest pokazana na rys. 2. Z równania (6) lub (7) wynika także, że dwa układy liniowe niezmiennie względem przesunięcia diadycznego połączone równolegle są równoważne jednemu układowi, którego odpowiedź impulsowa jest sumą poszczególnych odpowiedzi impulsowych. Pokazano na na rys. 3.

3. Realizacja diadycznych układów liniowych



Rys. 3

Jak wynika z zapisu (6) równanie spłotu diadycznego można wyrazić macierzowo:

$$\underline{y} = \underline{g} \underline{x} \quad (8)$$

gdzie:

\underline{y} - macierz kolumnowa odpowiedzi układu o wymiarach $N \times 1$ i elementach $y(m)$,

\underline{x} - macierz kolumnowa wymuszenia układu o wymiarach $N \times 1$ i elementach $x(n)$,

\underline{g} - macierz diadyczna odpowiedzi impulsowych układu o wymiarach $N \times N$ i elementach $\frac{1}{N} g(m \oplus n)$.

Diadyczny układ liniowy jest swego rodzaju przetwornikiem sygnału, przetwarzającym sygnał wejściowy $\{x\}$ na sygnał wyjściowy $\{y\}$. O rodzaju tego przetwarzania, jak wykazaliśmy, decyduje dyskretne funkcja odpowiedzi impulsowej układu $\{g(n)\}$ charakteryzująca całkowicie układ z punktu widzenia jego zachowania zewnętrznego, tzn. zawierająca dostateczną informację, aby na podstawie sygnału wejściowego wyznaczyć sygnał wyjściowy.

Patrząc na działanie układu diadycznego z widmowego punktu widzenia, można go traktować jako przetwornik widma, przekształcający widmo sekwencyjnościowe sygnału wejściowego w widmo sygnału wyjściowego zgodnie z charakterystyką sekwencyjnościową daną macierzą \underline{G} [5]. Można to zapisać następująco:

$$\underline{y} = \underline{W}^{-1} \underline{G} \underline{W} \underline{x} \quad (9)$$

gdzie:

\underline{W} - ortogonalna macierz Walsh'a o wymiarach $N \times N$,

\underline{W}^{-1} - macierz odwrotna do macierzy \underline{W} .

Znajomość charakterystyki sekwencyjnościowej \underline{G} wystarcza, aby znając widmo sygnału na wejściu układu wyznaczyć widmo sygnału na jego wyjściu.

Zatem

$$\frac{1}{N} \sum_{n=0}^{N-1} g(m \oplus n) x(n) \hat{=} \underline{G} \underline{x} \quad (10)$$

gdzie:

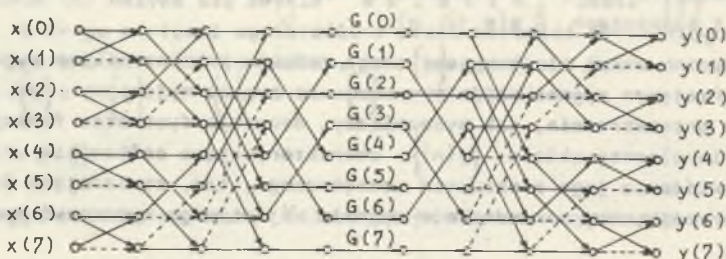
\underline{x} - transformata Walsh'a sygnału \underline{x} .

oraz

$$\underline{g} = \underline{W}^{-1} \underline{G} \underline{W} \quad (11)$$

W zależności od kształtu charakterystyki \underline{G} układu pewne składowe sekwencyjne widma sygnału wejściowego mogą być stłumione, inne natomiast pozostawione bez zmian lub wzmocnione. Dyskretny układ liniowy niezmienny względem przesunięcia diadycznego można zatem traktować jako cyfrowy filtr sekwencyjnościowy. Z właściwości dyskretnej funkcji Walsha oraz macierzy diadycznych wynika, że macierz \underline{G} odpowiadająca dowolnej macierzy diadycznej jest macierzą diagonalną $[\underline{G}]$:

$$\underline{G} = \underline{W} \underline{g} \underline{W}^{-1} = \text{diag} [G(0), G(1), \dots, G(N-1)] \quad (12)$$



$$\underline{G} = \text{diag} [G(0), G(1), \dots, G(7)]$$

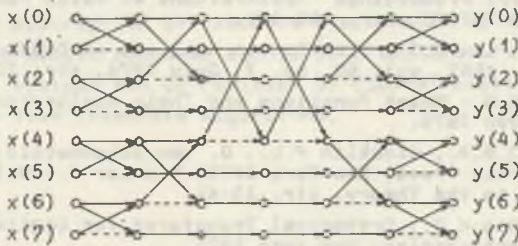
$$\underline{g} = \begin{bmatrix} g(0) & g(1) & g(2) & g(3) & g(4) & g(5) & g(6) & g(7) \\ g(1) & g(0) & g(3) & g(2) & g(5) & g(4) & g(7) & g(6) \\ g(2) & g(3) & g(0) & g(1) & g(6) & g(7) & g(4) & g(5) \\ g(3) & g(2) & g(1) & g(0) & g(7) & g(6) & g(5) & g(4) \\ g(4) & g(5) & g(6) & g(7) & g(0) & g(1) & g(2) & g(3) \\ g(5) & g(4) & g(7) & g(6) & g(1) & g(0) & g(3) & g(2) \\ g(6) & g(7) & g(4) & g(5) & g(2) & g(3) & g(0) & g(1) \\ g(7) & g(6) & g(5) & g(4) & g(3) & g(2) & g(1) & g(0) \end{bmatrix}$$

Rys. 4

Zatem dyskretny układ liniowy niezmienny względem przesunięcia diadycznego jest skalarnym filtrem sekwencyjnościowym i charakteryzuje się tym, że jeśli na jego wejście podany zostanie sygnał będący dyskretną funkcją Walsha, to odpowiedź układu też będzie dyskretną funkcją Walsha o tej samej sekwencyjności. Dyskretny diadyczny układ liniowy opisany zależnością (9) może być realizowany za pomocą algorytmów szybkiej transformacji Walsha w sposób podany na rys. 4 [5].

Ogólnie, złożoność obliczeniowa takiej realizacji wynosi $2N \log_2 N$ operacji dodawania i odejmowania liczb rzeczywistych oraz N operacji mnożenia liczb rzeczywistych i jest znacznie mniejsza od złożoności obliczeniowej układów dyskretnych niezmiennych względem przesunięcia i realizowanych za pomocą algorytmów szybkiej transformacji Fouriera [7].

Dyskretne układy liniowe niezmiennie względem przesunięcia diadycznego aproksymujące charakterystyki sekwencyjne za pomocą elementów będących całkowitymi potęgami liczby 2 mogą wykorzystywać algorytmy szybkich transformacji bazujących na układach ortogonalnych funkcji trójwartościowych [8], [9]. Złożoność obliczeniowa takich realizacji jest mniejsza i wynosi jedynie od $4(N-1)$ do $2N \log_2 N - N$ operacji dodawania i odejmowania liczb rzeczywistych. Przykładową realizację przedstawia rys. 5.



$$\underline{G} = \text{diag}[1, 1, 1/2, 1/2, 1/4, 1/4, 1/4, 1/4]$$

$$\underline{G} = \begin{bmatrix} 1/2 & 1/4 & 1/8 & 1/8 & 0 & 0 & 0 & 0 \\ 1/4 & 1/2 & 1/8 & 1/8 & 0 & 0 & 0 & 0 \\ 1/8 & 1/8 & 1/2 & 1/4 & 0 & 0 & 0 & 0 \\ 1/8 & 1/8 & 1/4 & 1/2 & 0 & 0 & 0 & 0 \\ 0 & 0 & 0 & 0 & 1/2 & 1/4 & 1/8 & 1/8 \\ 0 & 0 & 0 & 0 & 1/4 & 1/2 & 1/8 & 1/8 \\ 0 & 0 & 0 & 0 & 1/8 & 1/8 & 1/2 & 1/4 \\ 0 & 0 & 0 & 0 & 1/8 & 1/8 & 1/4 & 1/2 \end{bmatrix}$$

Rys. 5

4. Podsumowanie

Największą zaletą przedstawionych w pracy układów liniowych niezmiennych względem przesunięcia diadycznego w porównaniu z układami liniowymi niezmiennymi względem przesunięcia jest ich lepsze przystosowanie do techniki cyfrowej. Dyskretne diadyczne układy liniowe wykorzystując algorytmy szybkiej transformacji Walsh'a mogą służyć do konstrukcji modeli układów dyskretnych aproksymujących układy liniowe niezmiennie względem przesunięcia [10]. Pozwala to na efektywną identyfikację i synteze systemów liniowych stacjonarnych [11]. Mogą być również zastosowane jako szyb-

kie filtry cyfrowe do przetwarzania sygnałów [12], [13], [14]. Diadyczne układy liniowe bazujące na ortogonalnych funkcjach trójwartościowych okazały się, ze względu na małą złożoność obliczeniową, szczególnie dogodne do cyfrowego przetwarzania sygnałów wielowymiarowych, w tym obrazów cyfrowych [15].

LITERATURA

- [1] Harmuth H.F.: Sequency Theory - Foundations and Applications. Academic Press, New York 1977.
- [2] Oppenheim A.V., Schaffer R.W.: Cyfrowe przetwarzanie sygnałów. WKŁ, Warszawa 1979.
- [3] Pichler F.: On State-Space Description of Linear Dyadic-Invariant Systems. 1971 Proceedings "Applications of Walsh Functions", Washington D.C. AD-727000, str. 158-165.
- [4] Cheng D.K., Liu J.J.: Time-Domain Analysis of Dyadic-Invariant Systems. Proc. IEEE, vol. 62, no. 7, July 1974, str. 1038-1040.
- [5] Beauchamp K.G.: Walsh Functions and Their Applications. Academic Press, London 1975.
- [6] Griffiths J.W.R., Stocklin P.L., C. van Schooneveld: Signal Processing. Academic Press, New York 1973; Pichler F.: Walsh Functions-Introduction to the Theory, str. 23-41.
- [7] Ahmed N., Rao K.R.: Orthogonal Transforms for Digital Signal Processing. Springer-Verlag, New York 1975.
- [8] Drygajło A.: Zastosowania ortogonalnych funkcji trójwartościowych do analizy widmowej sygnałów dyskretnych. Materiały VI SPETO, Gliwice - Ustroń, 13-16.04.1983, str. 53-62.
- [9] Drygajło A.: Zastosowanie szybkich transformacji bazujących na funkcjach schodkowych do przetwarzania sygnałów cyfrowych jedno- i dwuwymiarowych. Praca doktorska, Politechnika Śląska, Gliwice 1983.
- [10] Pearl J.: Optimal Dyadic Models of Time-Invariant Systems. IEEE Trans. Comp., vol. C-24, no. 6, June 1975, str. 598-603.
- [11] Kulesza W.: Widmowa synteza systemów dyskretnych ze szczególnym uwzględnieniem systemów liniowych stacjonarnych. Dodatek do Biuletynu Nr 11 (351) WAT, Warszawa 1981.
- [12] Rumatowski K.: Zastosowanie dyskretnych transformacji Walsha i Haara w algorytmach filtracji cyfrowej. Wydawnictwo Politechniki Poznańskiej, Seria Rozprawy nr 75, Poznań 1976.
- [13] Drygajło A., Ichnatowicz J.: Szybkie nierekursywne filtry sekwencyjne jedno- i dwuwymiarowe. VI KK TO1UE, Gliwice-Kozubnik, 19-22.10.1983, str. 269-272.
- [14] Harmuth H.F.: Nonsinusoidal Waves for Radar and Radio Communication. Academic Press, New York 1981.
- [15] Drygajło A., Ichnatowicz J.: On the Construction of Two-Dimensional Digital Filters by Fast Hadamard-Haar Hybrid Transforms. VI European Conference on Circuit Theory and Design (ECCTD'83), Stuttgart, 6-9 Sept. 1983, str. 450-453.

Recenzent: doc. dr hab. inż. Kazimierz Mikołajuk

Wpłynęło do redakcji dnia 10 maja 1984 r.

ДИСКРЕТНЫЕ ДИАДНЫЕ ЛИНЕЙНЫЕ СИСТЕМЫ

Резюме

В работе представлено описание дискретных инвариантных систем относительно диадного сдвига линейных систем при помощи метода импульсной функции. Указано, что диадные линейные системы были реализованы цифровыми скалярными секвентными фильтрами на базе алгоритмов быстрых преобразований.

DISCRETE DYADIC LINEAR SYSTEMS

Summary

In the paper a description of discrete dyadic-shift-invariant linear systems using unit-sample response method is presented. It is shown, that the dyadic linear systems can be realized by digital scalar sequency filters based on the fast transform algorithms.

Piotr PACANOWSKI

Instytut Podstawowych Problemów
 Elektrotechniki i Energoelektroniki
 Politechnika Śląska

DYSKRETNA REPREZENTACJA UKŁADÓW
 W OPARCIU O ALGEBRY BANACHA

Streszczenie. W pracy pokazano, że stosowana powszechnie w teorii układów dyskretnych transformacja Z jest przekształceniem Gelfanda w odpowiednio skonstruowanej algebrze Banacha. Pozwala to na zastąpienie transformacji Z ogólniejszym przekształceniem, którego własności są dowodzone za pomocą aparatu analizy funkcjonalnej. Został podany przykład ilustrujący użyteczność takiego podejścia.

Wstęp

W teorii układów dyskretnych powszechnie stosowana jest transformacja Z . Posiada ona szereg własności, które są dowodzone na gruncie teorii funkcji analitycznych czy rzeczywistych. Artykuł ten ukazuje związek transformacji Z z przekształceniem Gelfanda, którego własności można badać na gruncie analizy funkcjonalnej. Związek ten pozwala na traktowanie sygnałów dyskretnych jako punktów pewnej przestrzeni unormowanej, w której określone jest ponadto struktura algebry. Umożliwia to wykorzystanie zarówno zależności geometrycznych, jak i algebraicznych do dyskusji tak złożonych obiektów jakimi są zbiory ciągów sygnałów dyskretnych.

Konstrukcja pewnej algebry Banacha:

Niech $P_r(N_+)$ będzie zbiorem sygnałów $x(n)$ o następujących właściwościach

$$\sum_{n=0}^{\infty} |x(n)| r^{-n} < +\infty$$

Określamy w zbiorze $P_r(N_+)$ następujące działania:

$$(x + y)(n) = x(n) + y(n) \quad (1)$$

$$(\alpha x)(n) = \alpha \cdot x(n)$$

Zachodzi ponadto:

$$\sum_{n=0}^{\infty} |x(n) + y(n)| r^{-n} \leq \sum_{n=0}^{\infty} |x(n)| r^{-n} + \sum_{n=0}^{\infty} |y(n)| r^{-n}$$

Wynika stąd, że suma elementów zbioru $P_r(N_+)$ jest także elementem tego zbioru. Tak więc $P_r(N_+)$ jest przestrzenią liniową.

Określamy w $P_r(N_+)$ następujący funkcjonal $\|\cdot\|_r$

$$\|x\|_r = \sum_{n=0}^{\infty} |x(n)| r^{-n} \quad (2)$$

Funkcjonal ten jest normą w $P_r(N_+)$, gdyż:

$$1^\circ \|x\|_r = 0 \Leftrightarrow x = \{0\}$$

$$2^\circ \|\alpha x\|_r = |\alpha| \|x\|_r \quad \forall \alpha \in \mathbb{C}, \quad x \in P_r(N_+)$$

$$3^\circ \|x + y\|_r \leq \|x\|_r + \|y\|_r$$

Gdy $x(n)$ jest elementem $P_r(N_+)$, to $x(n)r^{-n}$ jest elementem $L(N_+)$ ($[1]$, $[2]$). Z zupełności przestrzeni $(L(N_+), \|\cdot\|)$ wynika zupełność $(P_r(N_+), \|\cdot\|_r)$.

Wniosek: Zbiór $P_r(N_+)$ z działaniami określonymi wzorami (1) z normą określoną wzorem (2) jest przestrzenią Banacha $(P_r(N_+), \|\cdot\|_r)$. W $P_r(N_+)$ wprowadzamy mnożenie określone wzorem:

$$xy(n) = \sum_{m \in N} x(n-m)y(m) \quad (3)$$

Jest ono odwzorowaniem $P_r(N_+) \times P_r(N_+) \rightarrow P_r(N_+)$, gdyż

$$\sum_{n \in N} |xy(n)| r^{-n} = \sum_{n \in N} \left| \sum_{m \in N} x(n-m)y(m) \right| r^{-n} \leq$$

$$\leq \sum_{m \in N} |y(m)| r^{-m} \sum_{n \in N} |x(n-m)| r^{-(n-m)} =$$

$$= \sum_{m \in N} |y(m)| r^{-m} \cdot \sum_{n \in N} |x(n)| r^{-n}.$$

Jest ono także przemienne, a ponadto zachodzi:

$$\|xy\|_r \leq \|x\|_r \cdot \|y\|_r$$

Mnożenie określone wzorem (3) jest łączne, liniowe ze względu na każdy czynnik z osobna, rozdzielne i przemienne z mnożeniem przez liczby zespolone (własności splotu). Posiada jedność

$$e(n) = \begin{cases} 1 & \text{dla } n = 0 \\ 0 & \text{dla } n \neq 0 \end{cases}$$

a ponadto $\|e\|_r = 1$.

Wniosek: Przestrzeń $(P_r(N_+), \|\cdot\|_r)$ z mnożeniem określonym wzorem (3) tworzy komutatywną algebrę Banacha z jednością [1], [3]. Określenie przekształcenia Gelfanda w $(P_r(N_+), \|\cdot\|_r)$.

Definicja:

Przestrzeń $P_{1/r}^\infty(N_+)$ nazywamy zbiór wszystkich sygnałów, dla których

$$\sup_{n \in \mathbb{N}} |x(n)| \left(\frac{1}{r}\right)^{-n} < +\infty$$

Twierdzenie:

Przestrzeń sprzężoną do przestrzeni $(P_r(N_+), \|\cdot\|_r)$ można utożsamiać z przestrzenią $(P_{1/r}^\infty(N_+), \|\cdot\|_\infty)$, gdzie $\|\cdot\|_\infty = \sup_{n \in \mathbb{N}} |x(n)| r^n$. Ponadto każdy liniowy funkcjonal zadany na $P_r(N_+)$ określony jest wzorem:

$$h(x) = \sum_{n \in \mathbb{N}} H(n) x(n) = \sum_{n \in \mathbb{N}} H'(n) r^{-n} x(n)$$

gdzie

$$H(n) \in P_{1/r}^\infty(N_+), \quad H'(n) \in L^\infty(N_+).$$

Dowód:

Każdy ciąg $x(n)r^{-n}$ jest elementem $L(N_+)$, a jak wiadomo [1], [2] każdy funkcjonal liniowy zadany na $L(N_+)$ ma postać:

$$h(x) = \sum_{n \in N_+} H'(n) r^{-n} x(n)$$

gdzie $H'(n) \in L^\infty(N_+)$. Wobec tego $H'(n)r^{-n} \in P_{1/r}^\infty(N_+)$, co kończy dowód.

Jeżeli $x, y \in P_r(N_+)$, to

$$h(x, y) = \sum_{n \in N} H'(n) r^{-n} \sum_{m \in N} x(n-m) y(m)$$

$$h(x, y) = \sum_{n \in N} \sum_{m \in N} H'(n+m) x(n) r^{-n} y(m) r^{-m}$$

Funkcjonał ten jest multiplikatywny wtedy i tylko wtedy, gdy $H'(n) \in L^\infty(N_+)$ spełnia równanie funkcyjne:

$$H'(m+n) = H'(m) \cdot H'(n) \quad (4)$$

Jedynym rozwiązaniem tego równania w $L^\infty(N_+)$ jest rodzina

$$H'(n) = z^n \quad z \in \bar{K}(0, 1) \quad (5)$$

lub co jest równoważne:

$$H'(n) = z^{-n} \quad z \in C \setminus K(0, 1)$$

Jest to oczywiste, gdyż w przypadku, gdy $|z| > 1$ (dla 5) to wówczas $H'(n)$ nie byłby elementem przestrzeni $L^\infty(N_+)$. Można też przeprowadzić bardziej formalny dowód.

Wobec powyższego każdy homomorfizm (funkcjonał liniowo-multiplikatywny) określony na $P_r(N_+)$, taki że

$$h(x) = \sum_{n \in N_+} z^{-n} r^{-n} x(n) = \sum_{n \in N_+} z^{-n} x(n)$$

można utożsamiać z określonym punktem $z \in C \setminus K(0, r)$, przy czym zbiór ten wyczerpuje wszystkie tego typu funkcyjonały. Przekształcenie Gelfanda ([1], [3]) elementu $x(n) \in P_r(N_+)$ ma postać

$$\hat{x}(z) = h(x) = \sum_{n \in N_+} z^{-n} x(n), \quad z \in C \setminus K(0, r)$$

Czyli przekształcenie Gelfanda danego ciągu przyporządkowuje mu jego transformację Z. Przekształcanie Gelfanda jest tutaj homomorfizmem algebry $(P_r(N_+), \|\cdot\|_r)$ na podalgebrze wszystkich ograniczonych C-wartościowych funkcji zadanych na $C \setminus K(0, r)$. Przykład zastosowania wyprowadzonych związków:

Twierdzenie:

Dla każdej transformaty Z istnieje jednoznacznie wyznaczalna transformata odwrotna określona wzorem:

$$x(n) = \frac{1}{n!} \hat{x}^{(n)}(Z), \quad n \in N_+.$$

Nie istnieją dwie różne ciągi $\{x_n\} \in P_r(N_+)$ posiadające tę samą transformatę Z .

Dowód:

Ponieważ:

$$\text{Ker}(\cdot)^{\wedge} = \left\{ x \in P_r(N_+) : \bigwedge_{Z \in C \setminus K(0,r)} \hat{x}(Z) = 0 \right\} = \{0\}$$

algebra $(P_r(N_+), \|\cdot\|_r)$ jest algebrą półprostą [1], [3].

Na mocy odpowiedniego twierdzenia analizy funkcjonalnej [1] odwzorowanie $x \rightarrow \hat{x}(Z)$ dla $Z \in C \setminus K(0,r)$ jest izomorfizmem, d.b.u.

Wnioski:

Dzięki interpretacji transformacji Z jako przekształcenie Gelfanda możemy w teorii układów dyskretnych stosować aparat analizy funkcjonalnej, co może znacznie wzbogacić arsenał środków dostępnych przy analizie czy syntezie układów dyskretnych.

LITERATURA

- [1] Świrczyński M.: Zastosowanie algebr Banacha w teorii sygnałów i układów wielowymiarowych. Politechnika Śląska, Elektryka z. 81.
- [2] Musielak J.: Wstęp do analizy funkcjonalnej. Warszawa 1976.
- [3] Żelazko W.: Algebry Banacha. Warszawa 1967.
- [4] Nowomiejski Z.: Transformacja Fouriera. Gliwice 1979.
- [5] Jury E.: Transformacja Z i jej zastosowanie. Warszawa 1970.

Recenzent: doc. dr hab. inż. Maciej Świrczyński

Wpłynęło do redakcji dnia 2 maja 1984 r.

ДИСКРЕТНЫЙ АНСАМБЛЬ УСТРОЙСТВ НА ОСНОВАНИЕ
БАНАХОВЫХ АЛГЕБР

Р е з ю м е

В работе показано, что применяемая всеобщее в теории дискретных устройств трансформация Z является преобразованием Гельфанда в алгебре Банаха. Это позволяет на замену трансформации Z более общим преобразованием, свойства которого доказываются при помощи аппарата функционального анализа. Приведён пример иллюстрирующий пригодность такого подхода.

DISCRETE REPRESENTATION OF SYSTEMS BASED
ON BANACH ALGEBRAS

S u m m a r y

In the paper it has been proved that the well known discrete Z transform is the Gelfand transform in a Banach algebra. The Z transform may be substituted by the more general transform whose properties are derived using functional analysis. The example has been given to present advantages of this approach.

Tadeusz GLINKA

Institut Maszyn i Urządzeń Elektrycznych
Politechnika Śląska

SILNIK PIEZOELEKTRYCZNY

Streszczenie. Nowe materiały piezoelektryczne typu ceramicznego posiadają energetyczny współczynnik sprawności wynoszący kilkadziesiąt procent.

Materiały te umożliwiają budowę elektromechanicznych przetworników energii - silników piezoelektrycznych.

W artykule przedstawiono podstawy budowy i działania silnika piezoelektrycznego, przedstawiono także model takiego silnika i podstawowe jego charakterystyki elektromechaniczne.

1. Wstęp

Zjawisko powstawania indukcji elektrycznej w ciele stałym zachodzące pod wpływem naprężeń mechanicznych, nazywane w fizyce prostym efektem piezoelektrycznym, odkryli w 1880 r. bracia Pierre i Jacques Curie.

Zjawisko powstawania odkształceń materiałów piezoelektrycznych pod wpływem pola elektrycznego, odwrotny efekt piezoelektryczny, został teoretycznie przewidziany przez G. Lippmana, a praktycznie potwierdzony przez braci Curie w 1881 roku.

W praktyce po raz pierwszy kryształy piezoelektryczne zostały wykorzystane w 1917 r. do pobudzania fal akustycznych w wodzie. Odtąd rozpoczyna się okres stosowania kryształów piezoelektrycznych również w innych urządzeniach, np. w układach rezonansowych, generatorach o bardzo stabilnej częstotliwości zmian napięcia, filtrach o bardzo wąskim paśmie częstotliwości i innych.

Coraz poważniejsze stosowanie kryształów piezoelektrycznych jest czynnikiem wymuszającym rozwój technologii ich otrzymywania, a także stymuluje poszukiwania coraz to nowych materiałów piezoelektrycznych. W układach i przyrządach elektronicznych wykorzystuje się kryształy kwarcu SiO_2 , kryształy berlinitu AlPO_4 oraz kryształ niobianu litu LiNbO_3 . Kryształy te cechuje duża stałość parametrów w czasie i w szerokim przedziale temperatury - natomiast mają niską sprawność przetwarzania energii w granicach 1% [1].

Drugą grupę materiałów piezoelektrycznych stanowią materiały ceramiczne. Materiały te cechuje prosta technologia wytwarzania, pozwalająca uzyskiwać próbki o dowolnej wielkości i kształcie. Wadą tych materiałów jest

trudność otrzymywania ceramik o powtarzalnych parametrach oraz znacznie mniejsza w porównaniu z kryształami kwarcu, stabilność parametrów w czasie, a także większa zależność ich parametrów od temperatury.

Ceramiki piezoelektryczne mają wysoką sprawność przetwarzania energii mechanicznej na elektryczną dochodzącą do kilkudziesięciu procent.

Wysoka sprawność stanowi główną ich zaletę i stwarza możliwość wykorzystania tych materiałów do budowy elektromechanicznych przetworników energii [2, 3, 4, 5]. Konstruktorzy tych przetworników podają szereg ich zalet:

- duża stabilność prędkości obrotowej lub liniowej,
- prosta budowa w szczególności silnika liniowego,
- proste układy zasilania i sterowania,
- niski poziom hałasów, jeżeli pracują przy częstotliwościach ponad akustycznych.

W Instytucie Maszyn i Urządzeń Elektrycznych Politechniki Śląskiej przeprowadzono także pewne wstępne prace dotyczące przetworników elektromechanicznych piezoelektrycznych [2]. Zbudowano model takiego silnika i przeprowadzono jego badania, co w sposób krótki omówiono w tym artykule.

2. Rezonator piezoelektryczny

Rezonator piezoelektryczny jest to próbka materiału piezoceramicznego określonego kształtu z naniesionymi metalicznymi elektrodami. W przetwornikach elektromechanicznych stosowane są rezonatory piezoelektryczne o kształcie prostopadłościanu lub pierścienia. W rezonatorze pod wpływem przyłożonego przemiennego pola elektrycznego wzbudzone są drgania mechaniczne. Piezoelektryczny rezonator mechanicznie nieobciążony (swobodny), w pobliżu częstotliwości rezonansowej można przedstawić w postaci schematu zastępczego z elementami skupionymi (rys. 1).

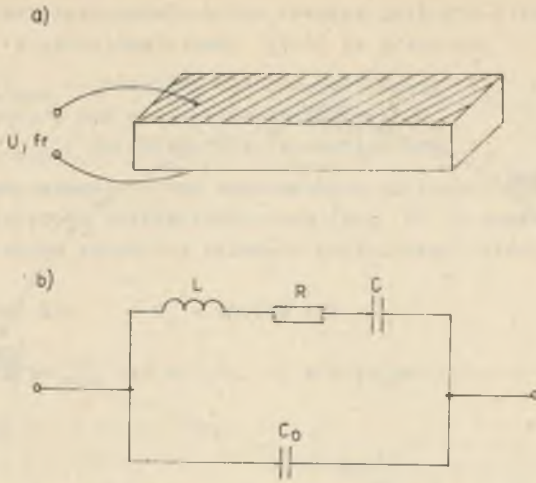
Pojemność C_0 nazywana jest pojemnością statyczną rezonatora, a parametry L , R , C parametrami dynamicznymi, przy czym rezystancja R reprezentuje straty mechaniczne w płytce.

Charakterystyka modułowo-fazowa admitancji rezonatora piezoelektrycznego wynosi

$$\underline{Y} = j\omega C_0 + \frac{1}{R + j\omega L + \frac{1}{j\omega C}} = G + jB \quad (1)$$

przy czym

$$G = \frac{\omega^2 C^2 R}{(1 - \omega^2 LC)^2 + (\omega CR)^2}$$



Rys. 1. Rezonator piezoelektryczny (a) i jego elektryczny schemat zastępczy (b)

$$B = \omega C_0 + \frac{\omega C(1 - \omega^2 LC)}{(1 - \omega^2 LC)^2 + (\omega CR)^2}$$

i ma kształt zbliżony do okręgu (rys. 2).

Charakterystyka ta może być wykorzystana dla identyfikacji parametrów schematu zastępczego:

Maksimum admittancej $|Y_{\max}|$ występuje w przypadku tzw. rezonans szeregowego, to znaczy gdy:

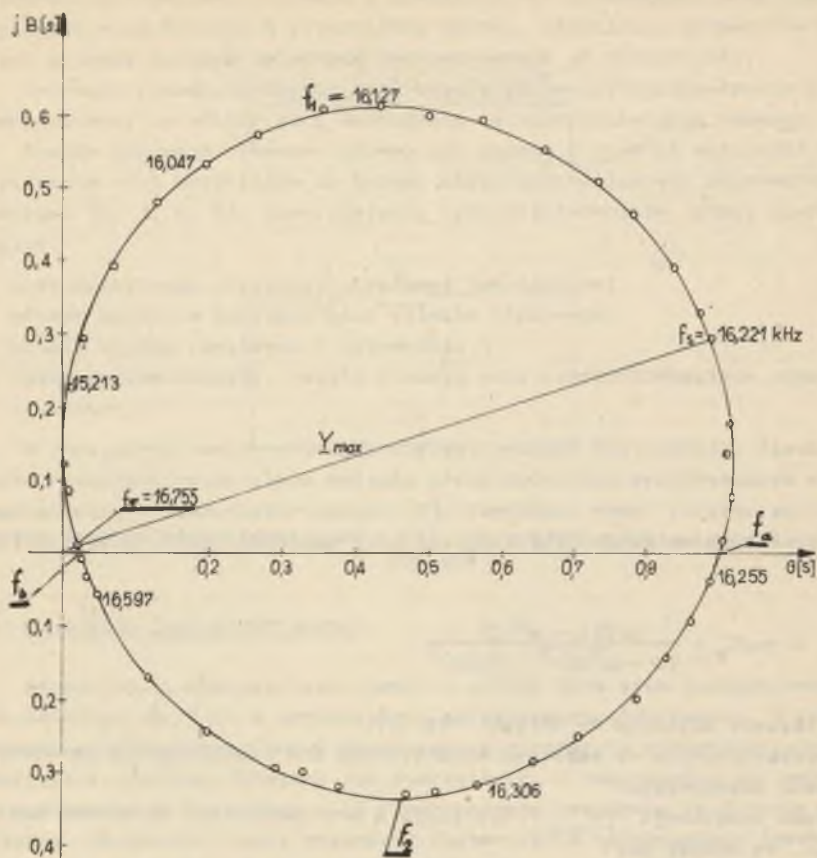
$$j\omega_s L + \frac{1}{j\omega_s C} = 0 \quad (2)$$

$$\omega_s = 2\pi f_s = \frac{1}{\sqrt{LC}}$$

$$Y_{\max} = \frac{1}{R} + j\omega_s C_0 \quad (3)$$

Minimum admittancej $|Y_{\min}|$ występuje, gdy zachodzi tzw. rezonans równoległy:

$$j\omega_r L + \frac{1}{j\omega_r C} + \frac{1}{j\omega_r C_0} = 0 \quad (4)$$



Rys. 2. Wykres admittancej płytki piezoelektrycznej

$$2\pi f_r = \omega_r = \sqrt{\frac{C_o + C}{LC C_o}}$$

$$Y_{\min} = \frac{R}{R^2 + \frac{LC}{C_o(C_o + C)}} + j \left[\sqrt{\frac{1 + \frac{C}{C_o}}{LC}} C_o - \frac{\frac{C}{C_o} \sqrt{\frac{L}{C}} \frac{1}{\sqrt{1 + \frac{C}{C_o}}}}{R^2 + C_o(C_o + C)} \right] \quad (5)$$

Znając z pomiarów wykres moduło-fazowy rezonatora, można określić metodą graficzną admittancej Y_{\max} i Y_{\min} dla częstotliwości rezonansowych f_a i f_r . Z admittancej Y_{\max} (równanie 3) oblicza się R i C_o , a z admittancej Y_{\min} (równanie 5) pozostałe dwa parametry płytki L i C .

Parametry schematu zastępczego można również obliczyć z innych punktów charakterystyki częstotliwościowej $\underline{Y}(\omega)$, na przykład:

$$B_{\max} = (\operatorname{Im} \underline{Y})_{\max} - \text{określona dla częstotliwości } f_1,$$

$$B = 0 - \text{określona dla częstotliwości } f_a \text{ i } f_b,$$

$$B_{\min} = (\operatorname{Im} \underline{Y})_{\min} - \text{określona dla częstotliwości } f_2.$$

Dla płytki nieobciążonej, którą wykorzystano do budowy modelu silnika, zdjęto charakterystykę częstotliwościową (rys. 2). W oparciu o tę charakterystykę wyznaczono parametry schematu zastępczego, które wynoszą:

$$f_s = 16,221 \text{ kHz} \quad f_r = 16,755 \text{ kHz}$$

$$R = 1,084 \Omega; \quad C_0 = 4,97 \mu\text{F}, \quad C = 0,32 \mu\text{F}$$

$$L = 17 \text{ mH}.$$

Parametry te mogą służyć do doboru generatora zasilającego oraz do obliczeń projektowych przetwornika elektromechanicznego. Płytki piezoelektryczne mają kilka pasm częstotliwości rezonansowych. Podane tutaj pasmo 16 kHz jest pierwszą częstotliwością rezonansową. Druga i wyższe częstotliwości rezonansowe leżą w pasmie znacznie wyższym od częstotliwości akustycznej. Stąd też są częściej wykorzystywane w przetwornikach elektromechanicznych z uwagi na minimalne zakłócenia akustyczne.

3. Piezoelektryczne przetworniki elektromechaniczne

Energia elektryczna dostarczana do płytki piezoelektrycznej jest zamieniana pod wpływem pola elektrycznego na energię drgań mechanicznych. Problem konstrukcji przetwornika elektromechanicznego piezoelektrycznego sprowadza się do zamiany tych drgań w ruch obrotowy lub liniowy.

Obecnie w konstrukcji silników piezoelektrycznych można wyróżnić trzy typy [3]:

- silniki piezoelektryczne z aktywnym stojanem i pasywnym wirnikiem,
- silniki piezoelektryczne z aktywnym wirnikiem i pasywnym stojanem,
- silniki piezoelektryczne z aktywnym wirnikiem i aktywnym stojanem.

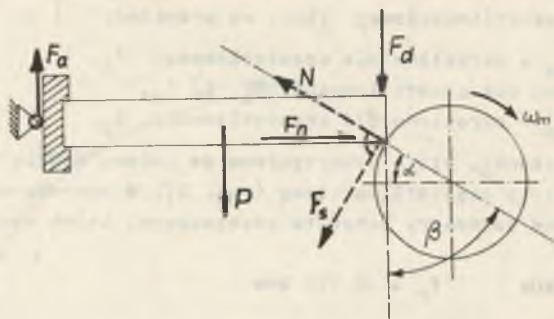
Zaprezentowany tutaj zostanie silnik z aktywnym stojanem i pasywnym wirnikiem. Schemat kinematyczny tego silnika podano na rys. 3. Układ pokazany na rys. 3 poddany jest działaniu następujących sił:

F_d - siły docisku płytki do wirnika,

P - siły ciężkości płytki,

F_B - siły reakcji w punkcie zamocowania płytki,

$F_n(t)$ - siły napędzającej.



Rys. 3. Kinematyczny schemat silnika piezoelektrycznego

Wektory sił F_d , P , F_s , F_n na rys. 3 narysowane są linią ciągłą. Siły F_d , P , F_s są siłami stałymi w czasie, natomiast siła F_n jest siłą zmienną sinusoidalnie

$$F_n(t) = F_0 \sin \omega t \quad (6)$$

Jeśli płytkę piezoelektryczną jest zamocowana wahliwie, to z równania momentów działających w punkcie styku płytki z wirnikiem można obliczyć, że

$$F_s = \frac{1}{2} P \quad (7)$$

W punkcie styczności płytki piezoelektrycznej i wirnika działają dwie siły wypadkowe:

- siła styczna:

$$F_s(t) = F_n(t) \sin \alpha - (F_d + \frac{1}{2} P) \sin \beta \quad (8)$$

- siła normalna:

$$N(t) = F_n(t) \cos \alpha + (F_d + \frac{1}{2} P) \cos \beta \quad (9)$$

Wektory siły $F_s(t)$ i $N(t)$ na rys. 2 są narysowane linią przerywaną. Na rys. 3 pokazano siły $F_s(t)$ i $N(t)$ działające na płytkę piezoelektryczną. Identyczne siły o zwrotach przeciwnych będą działać na wirnik. Pod wpływem siły $[-F_s(t)]$ będzie odbywał się ruch wirnika. W przedziałach czasu, w których płytkę się wydłuży i siła napędzająca ma wartość dodatnią przy odpowiednim kącie α , istnieje możliwość spełnienia warunku:

$$\eta_t N(t) \geq F_s(t)$$

gdzie

η_t - współczynnik tarcia

i wówczas mamy do czynienia z ruchem płytki i ruchem wirnika bezpoślizgowym. Z warunku tego można obliczyć kąt α styku płytki z normalną do powierzchni wirnika, przy którym nie występuje poślizg. Kąt ten określamy dla amplitudy siły napędzającej, to jest dla chwili $t_1 = \frac{\pi}{2\omega}$

$$F_n(t_1) = F_0$$

Oznaczając

$$\lambda = \frac{F_d + \frac{1}{2} P}{F_0} \quad (10)$$

oraz

$$\eta_t = \sin \alpha_0 \quad (11)$$

a także biorąc pod uwagę, że wartość η_t jest mała $\eta_t \approx 0,1$ można założyć, że

$$1 \approx \cos \alpha_0 \quad (12)$$

Przy tym założeniu otrzymuje się wyrażenie na określenie kąta styku α , przy którym nie występuje poślizg, to jest przy którym prędkość liniowa płytki piezoelektrycznej przy jej wydłużeniu się jest równa prędkości obwodowej wirnika.

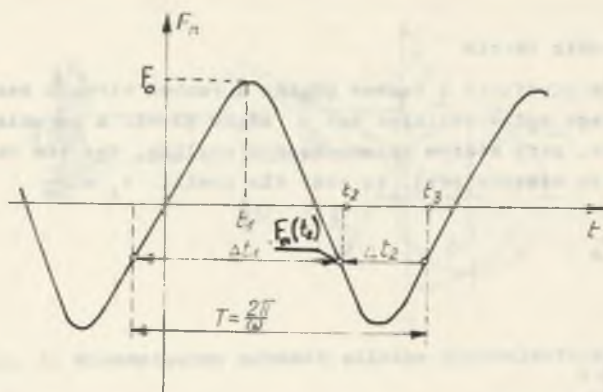
$$\alpha = \arcsin \left[\lambda \sin(\beta + \alpha_0) \right] + \alpha_0 \quad (13)$$

Można również określić optymalny stosunek siły docisku i amplitudy siły napędzającej

$$\lambda = \frac{\sin(\alpha - \alpha_0)}{\sin(\beta + \alpha_0)} \quad (14)$$

W półokresach drgań płytki, przy których długość płytki piezoelektrycznej zmniejsza się, kierunek siły napędzającej $F_n(t)$ zmienia się na przeciwny $F_n(t) < 0$, co powoduje zmniejszenie się siły normalnej $N(t)$. Gdy $N(t)$ zmniejszy się do zera, wówczas nastąpi oderwanie roboczego końca płytki piezoelektrycznej od powierzchni wirnika (rys. 4).

$$N(t_2) = F_n(t_2) \cos \alpha + (F_d + \frac{1}{2} P) \cos \beta = 0 \quad (15)$$



Rys. 4. Przebieg czasowy siły napędzającej $F_n(t)$ płytki piezoelektrycznej przy jej blokadzie mechanicznej

stąd

$$\sin \alpha t_2 = \frac{F_d + \frac{1}{2} P}{F_0} \cdot \frac{\cos \beta}{\cos \alpha}$$

$$t_2 = \frac{1}{\omega} \left[\pi + \arcsin \frac{F_d + \frac{1}{2} P}{F_0} \cdot \frac{\cos \beta}{\cos \alpha} \right]$$

Natomiast ponowny styk płytki i wirnika nastąpi w czasie narastania $N(t)$ w chwili t_3 , gdy $N(t_3) = 0$ (rys. 4).

$$t_3 = \frac{1}{\omega} \left[2\pi - \arcsin \frac{F_d + \frac{1}{2} P}{F_0} \cdot \frac{\cos \beta}{\cos \alpha} \right]$$

Czas styku płytki piezoelektrycznej z wirnikiem

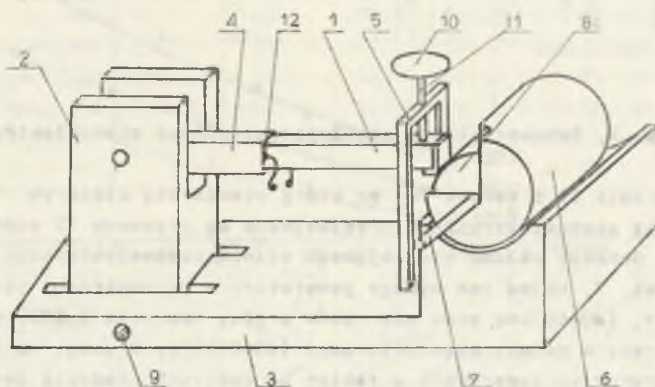
$$\Delta t_1 = \frac{2\pi}{\omega} - \Delta t_2$$

przy czym czas oderwania się końca płytki od wirnika

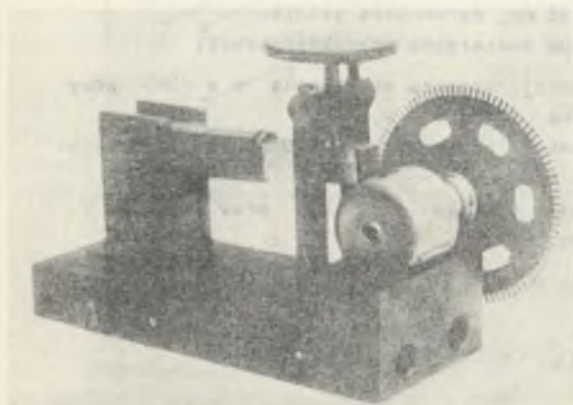
$$\Delta t_2 = t_3 - t_2 = \frac{1}{\omega} \left[\pi - 2 \arcsin \frac{F_d + \frac{1}{2} P}{F_0} \cdot \frac{\cos \beta}{\cos \alpha} \right]$$

4. Opis modelu silnika

Szkic konstrukcyjny modelu silnika pokazany jest na rys. 5, a na rys. 6 zdjęcie zbudowanego modelu. Elementem aktywnym jest prostopadłościenna



Rys. 5. Szkic konstrukcyjny silnika piezoelektrycznego

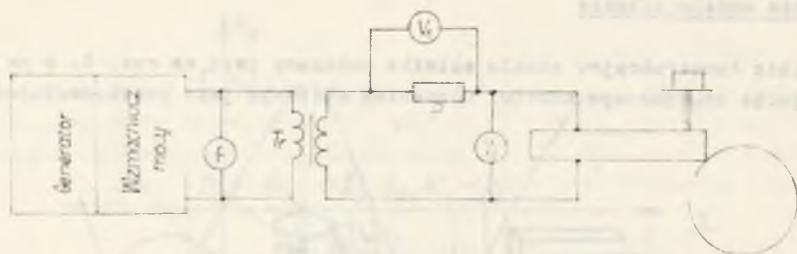


Rys. 6. Silnik piezoelektryczny - widok ogólny

można go przesuwając, zmieniając w ten sposób kąt przyłożenia płytki do wirnika. Koniec roboczy płytki piezoceramicznej zakończony jest nasadką ze stali twardszej i oparty jest na wirniku stalowym 8.

Wirnik osadzony jest na wałku 7, który jest ułożyskowany za pomocą łożysk ślizgowych samocentrujących się w obudowie 6. Urządzenie dociskające roboczy koniec płytki piezoelektrycznej do wirnika składa się z przewodni-

płytki piezoelektrycznej 1 z metalicznymi elektrodami napylonymi na jej dwóch przeciwległych powierzchniach bocznych. Wielkość płytki warunkowała wybór konstrukcji silnika. Płytkę piezoceramiczną umieszczoną jest w metalowej obudowie 4 i odizolowana jest od niej folią mikanitową. Obudowa łącznie z płytką umieszczona jest wahliwie w trzymadle 2 zamocowanym na podstawie 3. Trzymadło jest blokowane śrubą 9 i



Rys. 7. Schemat układu zasilającego silnik piezoelektryczny

cy 5, sworznia 11 i tarczy 10, na którą stawia się ciężarek F_d . Do elektrod płytki piezoelektrycznej przyłutowane są przewody 12 doprowadzające napięcie. Schemat układu zasilającego silnik piezoelektryczny pokazany jest na rys. 7. Układ ten wymaga generatora o parametrach: około 100 W, (100-300)V, (40-60)kHz oraz mierników prądu, napięcia i mocy przystosowanych do pracy w paśmie częstotliwości (40-60)kHz. Z uwagi na brak w naszym laboratorium generatora o takich parametrach, badania zostały przeprowadzone w paśmie pierwszej częstotliwości rezonansowej płytki, to jest (15-17)kHz. Układ ten z uwagi na transformator dopasowujący Tr nie mógł być wykorzystany w pasmach wyższych częstotliwości rezonansowych. Nie mieliśmy również rozwiązanego zagadnienia pomiaru mocy, co zubożyło pomiary, gdyż nie można było określić np. sprawności silnika.

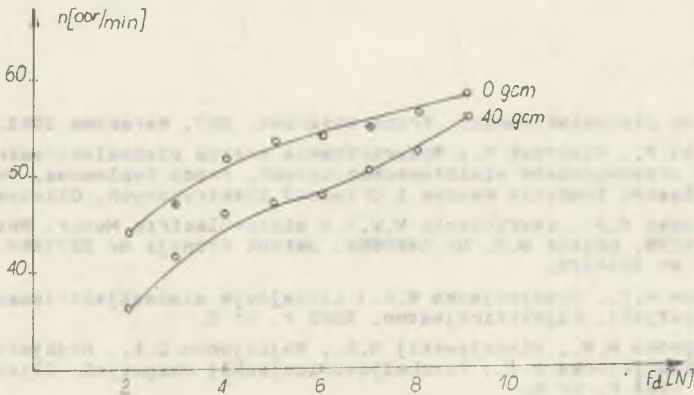
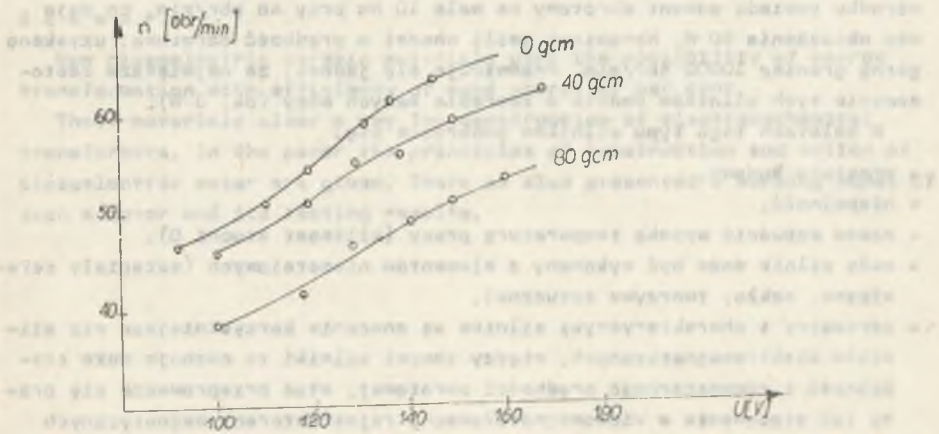
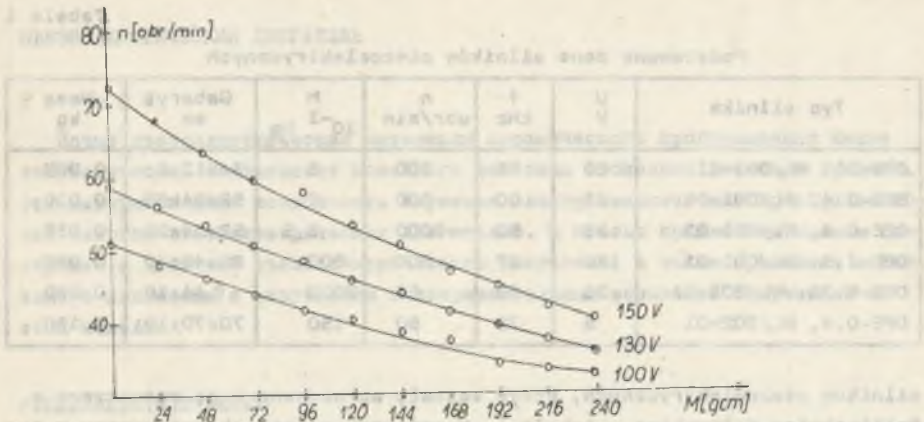
W tym układzie pomiarowym pomierzono charakterystyki:

- prędkości obrotowej w funkcji momentu obciążenia $n = f(M)$ przy $U = \text{const}$ i $f = 16,3 \text{ kHz}$ i $F_d = 4 \text{ N}$,
- prędkości obrotowej w funkcji napięcia $n = f(U)$ przy $M = \text{const}$ i $f = 16,3 \text{ kHz}$ i $F_d = 4 \text{ N}$,
- prędkości obrotowej od siły docisku $n = f(F_d)$ przy $U = 100 \text{ V}$, $f = 16,3 \text{ kHz}$ i $M = \text{const}$,

które przedstawiono na rys. 8.

5. Wnioski

Badania wykazały, że istnieje możliwość wykorzystania materiałów piezoelektrycznych do budowy przetworników elektromechanicznych. Z uwagi na brak w naszych laboratoriach źródeł zasilania o wysokiej częstotliwości i dużej mocy, badania były prowadzone przy dolnej częstotliwości rezonansowej płytki, to jest 16,3 kHz. Częstotliwość zalecana do zasilania silnika winna mieścić się w przedziale częstotliwości ultradźwiękowych (20-200) kHz. Brak watomierza uniemożliwił wykonanie pełnego zakresu badań charakterystyk elektromechanicznych silnika. W literaturze [5] podane są dane



Rys. 8. Charakterystyki silnika piezoelektrycznego

Tabela 1

Podstawowe dane silników piezoelektrycznych

Typ silnika	U V	f kHz	n obr/min	M 10 ⁻³ Nm	Gabaryt mm	Masa kg
DPE-01, WL/001-01	20	65	300	3	34x13x6	0,005
DPE-0,4, WL/001-01	35	50	600	7	52x24x20	0,035
DPE-0,4, WL/001-02	35	50	2000	2,5	52x24x20	0,035
DPE-1,5, WL/001-01	120	27	600	500	88x40x30	0,080
DPE-0,75, NL/301-01	30	60	60	2000	∅ 44x10	0,080
DPE-0,4, NL/302-01	5	70	60	150	70x70x10	0,150

silników piezoelektrycznych, które zostały opracowane i są wytwarzane w Politechnice Kijowskiej - tabela 1. Największy silnik skonstruowany w tym ośrodku posiada moment obrotowy na wale 10 Nm przy 48 obr/min, co daje moc obciążenia 50 W. Natomiast jeśli chodzi o prędkość obrotową, uzyskano górną granicę 10000 obr/min. Przewiduje się jednak, że największe zastosowanie tych silników będzie w zakresie małych mocy (ok. 3 W).

W zaletach tego typu silników podkreśla się:

- prostotę budowy,
- niepalność,
- można dopuścić wysoką temperaturę pracy (kilkaset stopni C),
- cały silnik może być wykonany z elementów niemetalowych (materiały ceramiczne, szkło, tworzywa sztuczne),
- parametry i charakterystyki silnika są znacznie korzystniejsze niż silników elektromagnetycznych, między innymi silniki te cechuje duża stabilność i równomierność prędkości obrotowej, stąd przeprowadza się próby ich stosowania w wideomagnetofonach, rejestratorach magnetycznych itp.

LITERATURA

- [1] Wstęp do piezoelektroniki. Praca zbiorowa. WNT, Warszawa 1981.
- [2] Migurski P., Pietrzyk W.: Wykorzystanie efektu piezoelektrycznego do budowy przetworników elektromechanicznych. Praca dyplomowa. Politechnika Śląska, Instytut Maszyn i Urządzeń Elektrycznych, Gliwice 1983.
- [3] Vishnevski V.S., Lavrinienko V.V.: A piezo-Electric Motor. Patent USA Nr 4019079, patent U.K. Nr 1480864, patent Francja Nr 2277458, patent Canada Nr 1034179.
- [4] Trofimow A.I., Jewmjenjenko W.W.: Liniejnnyje piezoeljektriczjeskije mikrodwigatjeli. Eljektriczjestwo. 1981 r. Nr 5.
- [5] Ławrinjenko W.W., Wisznjewskij W.S., Bojczjenko O.t., Hadkjernicznyj S.P., Szuljrjenko A.P.: Piezoeljektriczjeskij dwigatjel. Eljektriczjestwo 1981 r. Nr 6.

Recenzent: doc. dr inż. Jerzy Hickiewicz

Wpłynęło do redakcji dnia 2.V.1984 r.

ПЬЕЗОЭЛЕКТРИЧЕСКИЙ ДВИГАТЕЛЬ

Р е з ю м е

Новые пьезоэлектрические материалы керамического происхождения имеют энергетический коэффициент полезного действия несколько десятков процентов. Эти материалы дают возможность строения электромеханических преобразователей энергии—пьезоэлектрических двигателей. В статье предложены основы постройки и действия пьезоэлектрического двигателя, а также приведены модель такого двигателя и результаты экспериментальных испытаний полученные на этой модели.

PIEZO-ELECTRIC MOTOR

S u m m a r y

New piezoelectric ceramic materials give the possibility of energy transformation with efficiency of some scores of per cent.

These materials clear a way for construction of electromechanical transformers. In the paper the principles of construction and action of piezoelectric motor are given. There is also presented a working model of such a motor and its testing results.

Krzysztof KLUSZCZYŃSKI

Instytut Maszyn i Urządzeń Elektrycznych
Politechnika ŚląskaHARMONICZNE PRZESTRZENNE PRZEPŁYWU
W MASZYNACH ASYNCHRONICZNYCH

Streszczenie. W wielofazowych symetrycznych uzwojeniach maszyn asynchronicznych można rozłożyć wektory napięć i prądów fazowych na składowe, wytwarzające określone ciągi harmonicznych przestrzennych przepływu. W k-osiowym układzie współrzędnych składowe te odpowiadają parom współrzędnych lub pojedynczym współrzędnym. W stanach ustalonych wiąże się ze składowymi symetrycznymi. Model matematyczny uzwojenia w k-osiowym układzie współrzędnych nazwany schematem rozkładu uzwojenia wielofazowego na uzwojenia elementarne w bezpośredni sposób pozwala wyznaczać widmo krzywej przestrzennej przepływu przy różnym zasilaniu i różnych połączeniach faz.

1. Rozkład ortogonalny wektorów prądów i napięć fazowych maszyny asynchronicznej w stanie nieustalonym

W pracach [2], [3] wykazano, że w wielofazowej symetrycznej maszynie asynchronicznej o gładkiej szczelinie powietrznej i liniowym (nienasyconym) obwodzie magnetycznym jest możliwy rozkład ortogonalny wektorów prądów i napięć fazowych stojana, i wirnika na składowe, generujące określone ciągi harmonicznych przestrzennych przepływu (poła magnetycznego) w szczelinie powietrznej maszyny. Rozkład ten szczególnie dogodnie można przedstawić w k-osiowym układzie współrzędnych, wprowadzanym za pomocą macierzy transformacji:

$$\sqrt{\frac{2}{m}} \begin{bmatrix} \cos 0 & \cos \alpha & \cos 2\alpha & \dots & \cos (m-1)\alpha \\ \sin 0 & \sin \alpha & \sin 2\alpha & \dots & \sin (m-1)\alpha \\ \vdots & \vdots & \vdots & \dots & \vdots \\ \cos 0 & \cos \frac{m-1}{2}\alpha & \cos 2 \frac{m-1}{2}\alpha & \dots & \cos (m-1) \frac{m-1}{2}\alpha \\ \sin 0 & \sin \frac{m-1}{2}\alpha & \sin 2 \frac{m-1}{2}\alpha & \dots & \sin (m-1) \frac{m-1}{2}\alpha \\ \vdots & \vdots & \vdots & \dots & \vdots \\ \frac{1}{\sqrt{2}} & \frac{1}{\sqrt{2}} & \frac{1}{\sqrt{2}} & \dots & \frac{1}{\sqrt{2}} \end{bmatrix} \quad (1)$$

gdym = liczba nieparzysta, lub

$$\sqrt{\frac{2}{n}} \begin{bmatrix} \cos 0 & \cos \alpha & \cos 2\alpha & \dots & \cos(n-1)\alpha \\ \sin 0 & \sin \alpha & \sin 2\alpha & \dots & \sin(n-1)\alpha \\ \vdots & \vdots & \vdots & \dots & \vdots \\ \cos 0 & \cos(\frac{n}{2}-1)\alpha & \cos 2(\frac{n}{2}-1)\alpha & \dots & \cos(n-1)(\frac{n}{2}-1)\alpha \\ \sin 0 & \sin(\frac{n}{2}-1)\alpha & \sin 2(\frac{n}{2}-1)\alpha & \dots & \sin(n-1)(\frac{n}{2}-1)\alpha \\ \frac{1}{\sqrt{2}} & -\frac{1}{\sqrt{2}} & \frac{1}{\sqrt{2}} & \dots & -\frac{1}{\sqrt{2}} \\ \frac{1}{\sqrt{2}} & \frac{1}{\sqrt{2}} & \frac{1}{\sqrt{2}} & \dots & \frac{1}{\sqrt{2}} \end{bmatrix} \quad (2)$$

gdyn = liczba parzysta,

gdzie:

n - liczba faz uzwojenia,

$$\alpha = \frac{2\pi}{n}$$

albowiem poszczególnym składowym rozkładu ortogonalnego odpowiadają wówczas pary lub pojedyncze współrzędne

$$\begin{bmatrix} w_1^{(k)} \\ w_2^{(k)} \\ 0 \\ \vdots \\ \vdots \\ \vdots \\ 0 \end{bmatrix} = \begin{bmatrix} 0 \\ 0 \\ w_3^{(k)} \\ w_4^{(k)} \\ \vdots \\ \vdots \\ 0 \\ 0 \end{bmatrix} + \dots + \begin{bmatrix} 0 \\ 0 \\ \vdots \\ \vdots \\ w_{n-2}^{(k)} \\ w_{n-1}^{(k)} \\ 0 \\ 0 \end{bmatrix} + \begin{bmatrix} 0 \\ 0 \\ \vdots \\ \vdots \\ \vdots \\ 0 \\ w_n^{(k)} \end{bmatrix} \quad (3)$$

$$\begin{bmatrix} w_1^{(k)} \\ w_2^{(k)} \\ w_3^{(k)} \\ w_4^{(k)} \\ \vdots \\ w_{n-2}^{(k)} \\ w_{n-1}^{(k)} \\ w_n^{(k)} \end{bmatrix} \left. \begin{array}{l} \text{składowa } w_1, w_1^{(k)} + jw_2^{(k)} = \frac{w_1^{(k)}}{2} \\ \text{składowa } w_2, w_3^{(k)} + jw_4^{(k)} = \frac{w_2^{(k)}}{2} \\ \vdots \\ \text{składowa } w_{\frac{n-1}{2}, w_{\frac{n-2}{2}}^{(k)} + jw_{\frac{n-1}{2}}^{(k)} = \frac{w_{\frac{n-1}{2}}^{(k)}}{2} \\ \text{składowa } w_{\frac{n+1}{2}} \end{array} \right\}$$

gdyn = liczba nieparzysta,

lub

$$\begin{aligned}
 \left. \begin{array}{l} w_1^{(k)} \\ w_2^{(k)} \end{array} \right\} & \text{składowe } w_1, w_1^{(k)} + jw_2^{(k)} = \underline{w}_1^{(k)} \\
 \left. \begin{array}{l} w_3^{(k)} \\ w_4^{(k)} \end{array} \right\} & \text{składowe } w_2, w_3^{(k)} + jw_4^{(k)} = \underline{w}_2^{(k)} \\
 & \vdots \\
 \left. \begin{array}{l} w_{n-3}^{(k)} \\ w_{n-2}^{(k)} \end{array} \right\} & \text{składowa } w_{\frac{n}{2}-1}, w_{n-2}^{(k)} + jw_{n-2}^{(k)} = \underline{w}_{\frac{n}{2}-1}^{(k)} \\
 \left. \begin{array}{l} w_{n-1}^{(k)} \\ w_n^{(k)} \end{array} \right\} & \text{składowa } w_{\frac{n}{2}} \\
 & \text{składowa } w_{\frac{n}{2}+1}
 \end{aligned} \tag{4}$$

gdyn = liczba parzysta.

Jak pokazano powyżej, w miejsce par rzeczywistych współrzędnych k-osio- wych, opisujących poszczególne składowe 2-wymiarowe rozkładu ortogonalne- go, można wprowadzić współrzędne zespolone (wektory uogólnione, wektory przestrzenne).

2. Rozkład ortogonalny wektorów prądów i napięć fazowych maszyny asynchro- nicznej w stanie ustalonym

Niechaj w stanie ustalonym przy niesymetrycznym sinusoidalnym zasil- niu uzwojenia wartościom symbolicznym prądów i napięć fazowych $\underline{w}_1, \underline{w}_2, \dots, \underline{w}_m$ odpowiadają składowe symetryczne $\underline{w}_1^{(1)}, \underline{w}_2^{(1)}, \dots, \underline{w}_m^{(1)}$

$$\begin{bmatrix} \underline{w}_1^{(1)} \\ \underline{w}_2^{(1)} \\ \underline{w}_3^{(1)} \\ \vdots \\ \underline{w}_m^{(1)} \end{bmatrix} = \frac{1}{\sqrt{m}} \begin{bmatrix} 1 & a^{n-1} & a^{n-2} & a^{n-3} & \dots & a \\ 1 & a^{n-2} & a^{n-4} & a^{n-6} & \dots & a^2 \\ 1 & a^{n-3} & a^{n-6} & a^{n-9} & \dots & a^3 \\ \vdots & \vdots & \vdots & \vdots & \vdots & \vdots \\ 1 & 1 & 1 & 1 & \dots & 1 \end{bmatrix} \begin{bmatrix} \underline{w}_1 \\ \underline{w}_2 \\ \underline{w}_3 \\ \vdots \\ \underline{w}_m \end{bmatrix} \tag{5}$$

gdzie $a = e^{j\sigma}$.

Można wykazać, że pomiędzy rzeczywistymi i zespolonymi współrzędnymi k-osio- wymi (składowymi rozkładu ortogonalnego) i składowymi symetrycznymi zachodzą następujące relacje:

$$\begin{aligned}
 w_1^{(k)}(t) &= \frac{W_1^{(1)}}{2} e^{j\omega_0 t} + \frac{W_{-1}^{(1)}}{2} e^{-j\omega_0 t} \\
 w_2^{(k)}(t) &= \frac{W_2^{(1)}}{2} e^{j\omega_0 t} + \frac{W_{-2}^{(1)}}{2} e^{-j\omega_0 t} \\
 &\vdots \\
 w_{\frac{n-1}{2}}^{(k)}(t) &= \frac{W_{\frac{n-1}{2}}^{(1)}}{2} e^{j\omega_0 t} + \frac{W_{-\frac{n+1}{2}}^{(1)}}{2} e^{-j\omega_0 t} \\
 w_n^{(k)}(t) &= \sqrt{2} \operatorname{Re} W_{-\frac{n}{2}}^{(1)} e^{j\omega_0 t}
 \end{aligned} \tag{7}$$

gdy n = liczba nieparzysta
lub

$$\begin{aligned}
 w_1^{(k)}(t) &= \frac{W_1^{(1)}}{2} e^{j\omega_0 t} + \frac{W_{-1}^{(1)}}{2} e^{-j\omega_0 t} \\
 &\vdots \\
 w_{\frac{n}{2}-1}^{(k)}(t) &= \frac{W_{\frac{n}{2}-1}^{(1)}}{2} e^{j\omega_0 t} + \frac{W_{-\frac{n}{2}-1}^{(1)}}{2} e^{-j\omega_0 t} \\
 w_{\frac{n}{2}}^{(k)}(t) &= \sqrt{2} \operatorname{Re} \frac{W_{-\frac{n}{2}}^{(1)}}{2} e^{j\omega_0 t} \\
 w_n^{(k)}(t) &= \sqrt{2} \operatorname{Re} W_{\frac{n}{2}}^{(1)} e^{j\omega_0 t}
 \end{aligned} \tag{7}$$

gdy n = liczba parzysta.

Każda składowa 2-wymiarowa rozkładu ortogonalnego jest określona przez dwie składowe symetryczne, zaś 1-wymiarowa - przez jedną składową symetryczną.

3. Schemat rozkładu uzwojenia wielofazowego na uzwojenia elementarne

Podsumowaniem przedstawionych rozważań jest tabela 1, w której zestawiono ciągi harmonicznych przestrzennych przepływu (pola magnetycznego w szczelinie powietrznej) wytwarzanych w stanie nieustalonym przez poszczególne składowe rozkładu ortogonalnego (zespolone i rzeczywiste współrzędne k -osiowe) oraz w stanie ustalonym przez poszczególne składowe symetryczne. Tabelę tę dogodnie można ująć w formę tablicy, której wiersze odpowiadają składowym ortogonalnym rozkładu (3), (4), zaś kolumny - rzędom harmonicznych przestrzennych przepływu. Liczba wierszy równa się liczbie składowych rozkładu ortogonalnego (liczbie zespolonych i rzeczywistych).

Tabela 1

Ciągi harmoniczných przestrzenných przepływu generowane przez poszczególne składowe rozkładu ortogonalnego, współrzędne k-osiowe i składowe symetryczne

ciąg	współrzędne k-osiowe	zespolone współ k-osiowe	składowe symetryczne	rzędy harmoniczných przestrzenných przepływu
1	$w_1^{(k)}$ $w_2^{(k)}$	$\underline{w}_1^{(k)}$	$\underline{w}_1^{(i)}, \underline{w}_{m-1}^{(i)}$	1, m-1, m+1, 2m-1, 2m+1, 3m-1, 3m+1...
2	$w_3^{(k)}$ $w_4^{(k)}$	$\underline{w}_2^{(k)}$	$\underline{w}_2^{(i)}, \underline{w}_{m-2}^{(i)}$	2, m-2, m+2, 2m-2, 2m+2, 3m-2, 3m+2...
⋮	⋮	⋮	⋮	⋮
$\frac{m-1}{2}$	$w_{m-2}^{(k)}$ $w_{m-1}^{(k)}$	$\underline{w}_{\frac{m-1}{2}}^{(k)}$	$\underline{w}_{\frac{m-1}{2}}^{(i)}, \underline{w}_{\frac{m+1}{2}}^{(i)}$	$m-1, \frac{m+1}{2}, m+\frac{m-1}{2}, 2m-\frac{m-1}{2}, 2m+\frac{m-1}{2}, 3m-\frac{m-1}{2}, \dots$
$\frac{m+1}{2}$	$w_m^{(k)}$	$\underline{w}_m^{(k)}$	$\underline{w}_m^{(i)}$	m, 2m, 3m, 4m...

gdy $m = l$. nieparzysta

1	$w_1^{(k)}$ $w_2^{(k)}$	$\underline{w}_1^{(k)}$	$\underline{w}_1^{(i)}, \underline{w}_{m-1}^{(i)}$	1, m-1, m+1, 2m-1, 2m+1, 3m-1, 3m+1...
⋮	⋮	⋮	⋮	⋮
$\frac{m}{2}-1$	$w_{m-3}^{(k)}$ $w_{m-2}^{(k)}$	$\underline{w}_{\frac{m}{2}-1}^{(k)}$	$\underline{w}_{\frac{m}{2}-1}^{(i)}, \underline{w}_{\frac{m}{2}+1}^{(i)}$	$\frac{m}{2}-1, \frac{m}{2}+1, m+\frac{m}{2}-1, 2m-\frac{m}{2}+1, 3m+\frac{m}{2}-1, 3m-\frac{m}{2}+1, \dots$
$\frac{m}{2}$	$w_{m-1}^{(k)}$	$\underline{w}_{\frac{m}{2}}^{(k)}$	$\underline{w}_{\frac{m}{2}}^{(i)}$	$\frac{m}{2}, \frac{3}{2}m, \frac{5}{2}m, \frac{7}{2}m, \dots$
$\frac{m}{2}+1$	$w_m^{(k)}$	$\underline{w}_m^{(k)}$	$\underline{w}_m^{(i)}$	m, 2m, 3m, 4m...

gdy $m = l$. parzysta

tych współrzędnych k-osiowych), zaś liczba kolumn - rzędowi najwyższej uwzględnianej w analizie harmoniczných przestrzennej.

Dla przykładu przedstawiono tablice dla 6- i 7-fazowego uzwojenia, uwzględniając w obu przypadkach 18 kolejnych harmoniczných przestrzenných (rys. 1, 2). Tablice te odpowiadają modelowi matematycznemu uzwojeń w k-osiowym układzie współrzędnych [3]. Znak $\underline{\quad}$ symbolizuje symetryczne uzwojenie 2-fazowe o prostopadłych i lewostronnie zorientowanych osiach faz, znak \lfloor - uzwojenie 2-fazowe o prawostronnie zorientacji osi faz zaś znak $|$ - uzwojenie jednofazowe. Każde z tych 2- i 1-fazowych uzwojeń posiada sinusoidalny rozkład krzywej układu prądowego i może wytwarzać tylko jedną harmoniczną przestrzenną przepływu o rzędzie równym numerowi kolumny. Uzwojenia takie będziemy nazywali uzwojeniami elementarnymi. Odpowiadające sobie fazy uzwojeń elementarných, zajmujących ten sam wiersz są

$\frac{p}{k}$	1	2	3	4	5	6	7	8	9	10	11	12	13	14	15	16	17	18
$W_1^{(k)}$	┐				┐		┐				┐		┐					
$W_2^{(k)}$		┐																
$W_3^{(k)}$			┐															
$W_4^{(k)}$				┐										┐				
$W_5^{(k)}$								┐										
$W_6^{(k)}$										┐								

Rys. 1. Schemat rozkładu uzwojenia 6-fazowego na uzwojenia elementarne

$\frac{p}{k}$	1	2	3	4	5	6	7	8	9	10	11	12	13	14	15	16	17	18
$W_1^{(k)}$	┐					┐												
$W_2^{(k)}$													┐					
$W_3^{(k)}$		┐																
$W_4^{(k)}$			┐															
$W_5^{(k)}$				┐														
$W_6^{(k)}$																		
$W_7^{(k)}$								┐										

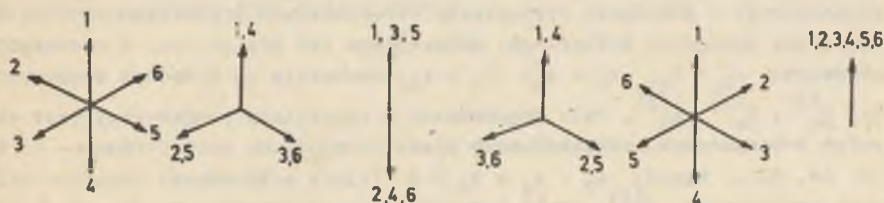
Rys. 2. Schemat rozkładu uzwojenia 7-fazowego na uzwojenia elementarne

szeregowo (galwanicznie) połączone i zasilane kolejnymi współrzędnymi k -osiowymi wektora napięcia. Wszystkie uzwojenia elementarne z danego wiersza tworzą uzwojenie zastępcze dla odpowiedniej składowej rozkładu ortogonalnego (3), (4). Uzwojenia elementarne układają się w obrębie tabeli w cyklicznie powtarzający się charakterystyczny kształt litery V. W przypadku nieparzystej liczby faz wierzchołek litery V jest spłaszczony. Ta regularność w budowie tabel pozwala na ich sporządzenie w sposób mnemotechniczny. Będziemy je nazywać dalej schematami rozkładu uzwojeń na uzwojenia elementarne. Ze schematu rozkładu uzwojenia wielofazowego na uzwojenia elementarne wynika następujący zasadniczy wniosek: wielofazowe uzwojenie symetryczne, (którego poszczególne fazy generują wszystkie harmoniczne przestrzenne przepływu), zasilane kolejnymi składowymi rozkładu ortogonalnego wytwarza pola magnetyczne w szczelinie powietrznej maszyny o rozrzedzonym widmie i różnym rzędzie najniższej harmonicznej przestrzennej. Widmo to jest tym rzadsze, im wyższa jest liczba fazy uzwojenia m . Tak więc zarówno w stanie ustalonym jak i nieustalonym, można poprzez odpowiedni dobór składowej napięcia zasilającego uzwojenie wytwarzać w szczelinie powietrznej pola magnetyczne o różnej liczbie par biegunów i w różny sposób odkształcone przez wyższe harmoniczne przestrzenne przepływu.

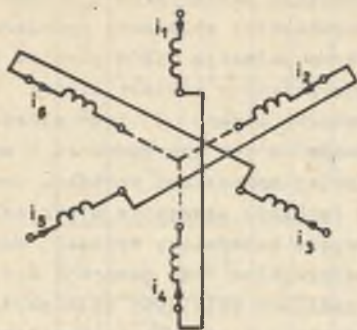
Przedstawione wnioski leżą u podstaw teorii uzwojeń maszyn elektrycznych m.in. w syntetyczny i przejrzysty sposób opisują mechanizm generowania wielobiegunowych pól magnetycznych przez uzwojenia wielofazowe.

4. Przykład

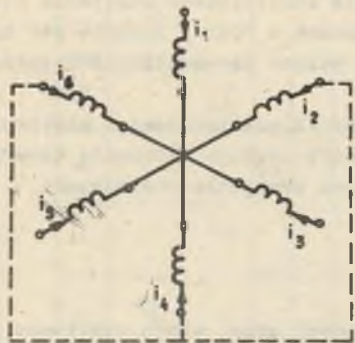
Rozważmy uzwojenie, złożone z 6 jednakowych grup, które traktować będziemy umownie jako uzwojenie 6-fazowe. Zakładamy najogólniejszy przypadek, a mianowicie, że pojedyncza grupa wytwarza wszystkie kolejne harmoniczne przestrzenne przepływu (w rzeczywistości niektóre harmoniczne przestrzenne mogą nie wyetąpić na skutek zerowania się współczynnika skrótu lub grupy). Schemat rozkładu uzwojenia 6-fazowego na uzwojenia elementarne przedstawia rys. 1 (rząd najwyższej uwzględnionej harmonicznej przestrzennej wynosi 18), zaś składowe symetryczne 6-fazowe (rys. 3). Uzwoje-



Rys. 3. Składowe symetryczne 6-fazowe



Rys. 4. Uzwojenie 2-biegunowe



Rys. 5. Uzwojenie 4-biegunowe

nie takie, zasilane pierwszą lub piątą składową symetryczną napięcia wytwarza przepływ zawierający harmoniczne przestrzenne 1, 5, 7, 11, 13, 17... Pole magnetyczne w szczelinie powietrznej jest więc polem 2-biegunowym, odkształconym wyższymi harmonicznymi przestrzennymi: 5, 7, 13, 17... W stanie ustalonym pole kołowe wiruje przeciwnie lub zgodnie z ruchem wskazówek zegara w zależności od tego czy uzwojenie jest zasilane pierwszą, czy też piątą składową symetryczną napięcia. Jeśli to samo uzwojenie zasilimy drugą lub czwartą składową symetryczną, w szczelinie powietrznej powstanie pole 4-biegunowe, odkształcone wyższymi harmonicznymi 4, 8, 10, 14, 16, ... Uzwojenie, zasilane składową symetryczną trzecią lub szóstą wytwarza pole magnetyczne pulsujące odpowiednio 6-biegunowe (odkształcone przez 3, 9, 15... harmoniczną) lub 12-biegunowe (odkształcone przez 6, 12, 18... harmoniczną). Niezależne fazy uzwojeń można łączyć w węzły i oczka, wykluczając w ten sposób możliwość występowania określonych składowych symetrycznych prądu i napięcia. Połączmy fazy uzwojenia 6-fazowego tak, jak to przedstawiono na rys. 4. Równania węzłów przyjmą

postać: $i_1 = -i_4$, $i_2 = -i_5$, $i_3 = -i_6$. Spełniają je prądy składowych symetrycznych: $i_1^{(1)}$, $i_3^{(1)}$, $i_5^{(1)}$. Uzwojenie jest więc uzwojeniem 2-biegunowym, którego rozkład przepływu może być odkształcony wyższymi harmonicznymi - 3, 5, 7, 9, 10, 11, 13, 15, 17... Węzeł (skojarzenie faz w gwiazdę): $i_2 + i_4 + i_6 = 0$, wyklucza składową symetryczną $i_3^{(1)}$ a w konsekwencji - możliwość wystąpienia harmonicznych przestrzennych: 3, 9, 15... Dla uzwojenia 6-fazowego, połączonego tak jak na rys. 5 obowiązują równania: $i_1 = i_4$, $i_2 = i_5$, $i_3 = i_6$. Spełniają je składowe symetryczne: $i_2^{(1)}$, $i_4^{(1)}$, $i_6^{(1)}$. Pole magnetyczne w szczelinie powietrznej jest więc polem 4-biegunowym, odkształconym przez harmoniczne przestrzenne - 4, 8, 10, 14, 16... Węzeł: $i_2 + i_4 + i_6 = 0$ (linia przerywana) wyklucza składową symetryczną $i_6^{(1)}$, czyli harmoniczne przestrzenne: 6, 12, 18... Aby umożliwić porównywanie widm przepływu uzwojeń o niejednakowej liczbie par

biegunów p , rzędy poszczególnych harmonicznym przestrzennym podaje się w odniesieniu do rzędu harmonicznym głównej (pracującej), a więc p -tej:

$$\nu' = \frac{p}{2} \nu$$

Porównajmy widma przepływu uzwojeń z rys. 4 i 5. Dla uzwojenia 2-biegunowego, zasilanego składową $\underline{u}_1^{(1)}$ lub $\underline{u}_5^{(1)}$: $\{\nu'\} = \{\nu\} = 1, 5, 7, 10, 11, 13, 17, \dots$ zaś dla uzwojenia 4-biegunowego zasilanego składową $\underline{u}_2^{(1)}$ lub $\underline{u}_4^{(1)}$: $\{\nu'\} = 1, 2, 4, 5, 7, 8, 10, 11, 13, 14, 16, 17, \dots$ Widmo uzwojenia 2-biegunowego jest znacznie rzadsze od widma uzwojenia 4-biegunowego, bowiem nie zawiera parzystych harmonicznym przestrzennym. Takie zróżnicowanie widm jest charakterystyczne dla uzwojeń, posiadających odpowiednio jedną lub dwie strefy fazowe na parę biegunów. Uzwojenia jednowarstwowe z jedną strefą na biegun to uzwojenia z grupami pełnymi, zaś z dwoma strefami na biegun - z grupami dzielonymi. Uzwojenia dwuwarstwowe to zazwyczaj uzwojenia z dwoma strefami fazowymi na parę biegunów. Jeden z wyjątków stanowi uzwojenie silnika 2-biegunowego (uzwojenie Dahlandera) przy większej z dwóch możliwych liczb par biegunów.

LITERATURA

- [1] Heller B., Hamata V.: Harmonic field effects in induction machines. Academia, Publishing House of the Czechoslovak Academy of Sciences, Prague 1977.
- [2] Kluszczyński K.: Przestrzenie aktywne i zerowe macierzy indukcyjności w maszynach asynchronicznych przy uwzględnieniu wyższych harmonicznym przestrzennym pola magnetycznego. Prace X Sympozjum nt.: Metody matematyczne w elektrotechnice, Karpacz 1981.
- [3] Kluszczyński K.: Model matematyczny wielofazowej maszyny asynchronicznej. Zeszyty Naukowe Politechniki Łódzkiej, Elektryka z. 74, Łódź 1983.
- [4] Wach P.: Niesymetrie wewnętrzne maszyn indukcyjnych. Zeszyty Naukowe Elektryka z. 19, WSI, Opole 1982.
- [5] Zembruski J., Kratochwil Z.: Uzwojenia silników indukcyjnych. WNT, Warszawa 1972.

Recenzent: doc. dr inż. Jerzy Hickiewicz

Wpłynęło do redakcji dnia 2 maja 1984 r.

ВЫСШИЕ ПРОСТРАНСТВЕННЫЕ ГАРМОНИКИ МАГНИТОДВИЖУЩЕЙ СИЛЫ В АСИНХРОННЫХ МАШИНАХ

Резюме

В многофазных симметричных обмотках асинхронных машин можно разложить векторы фазных напряжений и токов на составляющие, которые создают определённые ряды пространственных гармоник магнитодвижущей силы. В k -осевой системе координат эти составляющие соответствуют парам координат или единичным координатам. В установившихся режимах они связаны с симметричными составляющими. Математическая модель обмотки в k -осевой системе координат, названа схемой разложения многофазной обмотки на элементарные катушки, непосредственно делает возможным определить спектр гармоник магнитодвижущей силы при разных питании обмотки и разных соединениях фаз.

MFF SPACE HARMONICS IN ASYNCHRONOUS MACHINES

Summary

In polyphase symmetrical windings of asynchronous machines voltage and current vectors can be decomposed into components, generating the definite sequence of MFF space harmonics. These components correspond to the couple and individual k -axis coordinates. In steady state orthogonal components refer to symmetrical components. Mathematical model of winding in k -axis coordinate system, so-called the diagram of decomposition of winding into elementary windings allows to obtain the spectrum of MFF harmonics in the case of various phase connections.

Roman MIKSIEWICZ

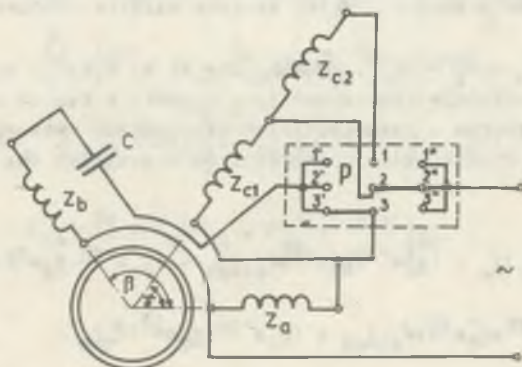
Instytut Maszyn i Urządzeń Elektrycznych
Politechnika Śląska

SILNIK JEDNOFAZOWY O DZIEWIĘCIU UKŁADACH
POŁĄCZEŃ UZWOJEŃ STOJANA

Streszczenie. Przeprowadzono analizę i przedstawiono metodę obliczeń obwodu elektromagnetycznego indukcyjnego silnika jednofazowego z kondensatorem pracy umożliwiającym uzyskiwanie dziewięciu różnych charakterystyk mechanicznych. Algorytm obliczeń zweryfikowano pomiarowo na silniku zaprojektowanym w oparciu o przeprowadzoną metodę obliczeń.

1. Wprowadzenie

Silniki indukcyjne jednofazowe z kondensatorem pracy produkcji krajowej posiadają uzwojenia, których osie są przesunięte przestrzennie o kąt elektryczny $\frac{\pi}{2}$. Dotyczy to zarówno silników o uzwojeniach włączonych na stałe (silniki ogólnego zastosowania np. serii SEf), jak również silników o uzwojeniach przełączalnych o dwóch lub trzech prędkościach obrotowych [3]. W pracach [1], [4] omawia się rozwiązania, w których kąt elektryczny między osiami uzwojeń jest różny od $\frac{\pi}{2}$. Daje to lepsze możliwości otrzymania różnych charakterystyk mechanicznych, zwłaszcza w silnikach o przełączalnych uzwojeniach. Wg autora patentu [2] możliwe jest otrzymanie dziewięciu prędkości obrotowych silnika przez zastosowanie tylko dwóch uzwojeń dodatkowych i odpowiednie włączanie tych uzwojeń za pomocą przełącznika P (rys. 1). Autor patentu zaleca, aby kąt między osią fazy

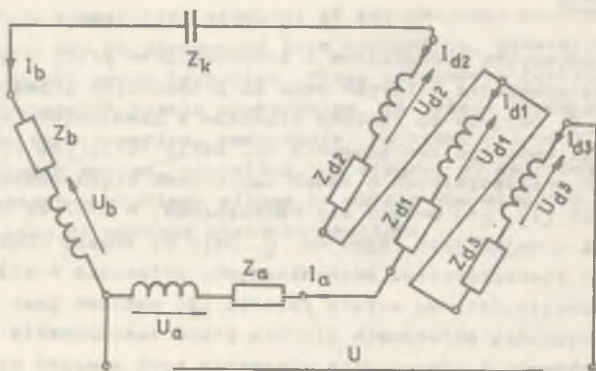


Rys. 1. Układ połączeń silnika o przełączalnych uzwojeniach stojana

głównej i pomocniczej zawierał się w przedziale 15° - 120° , natomiast kąt między osią fazy głównej, a osią fazy dodatkowej wynosił 20° - 70° . Celem niniejszej pracy było określenie możliwości uzyskania takiego rozwiązania w oparciu o obwód magnetyczny silnika produkowanego. Należało więc opracować algorytm obliczeń, zaprojektować uzwojenia oraz dokonać weryfikacji pomiarowej.

2. Obliczanie obwodu elektromagnetycznego

Przy opracowywaniu algorytmu obliczeń silnika posłużono się teorią pól wirujących. Przyjęto nienasycony obwód magnetyczny, uwzględniono podstawową harmoniczną przestrzenną, pominięto straty w rdzeniu oraz indukcyjności wzajemne między uzwojeniami związane ze strumieniem rozproszenia. Aby uprościć analizę, zastąpiono rzeczywisty układ połączeń układem równoważnym, pozwalającym na realizację wszystkich układów połączeń uzwojeń silnika rzeczywistego. Schemat takiego układu przedstawia rys. 2.



Rys. 2. Układ połączeń uzwojeń stojana silnika równoważnego

Impedancje $\underline{Z}_i = R_i + jX_{\sigma i}$, gdzie: $i = a, b, d_1, d_2, d_3$ zawierają rezystancje i reaktancje rozproszeń faz. Zgodnie z teorią pól wirujących siły elektromotoryczne w poszczególnych uzwojeniach wytworzone przez pole wirujące zgodnie i przeciwnie pochodzące od wszystkich faz są wyrażone w postaci:

$$U_a = (\underline{Z}_1 + \underline{Z}_2) I_a + (\underline{Z}_1 e^{-j\theta} + \underline{Z}_2 e^{j\theta}) \psi_{d1} I_{d1} + (\underline{Z}_1 e^{-j\theta} + \underline{Z}_2 e^{j\theta}) \psi_{d2} I_{d2} +$$

$$+ (\underline{Z}_1 e^{-j\theta} + \underline{Z}_2 e^{j\theta}) \psi_{d3} I_{d3} + (\underline{Z}_1 e^{-j\theta} + \underline{Z}_2 e^{j\theta}) \psi_b I_b$$

$$\begin{aligned} \underline{U}_b = & (Z_1 e^{j\beta} + Z_2 e^{-j\beta}) \dot{\varphi}_b \underline{I}_e + (Z_1 + Z_2) \dot{\varphi}_b^2 \underline{I}_b + \\ & + (Z_1 e^{j(\beta-\vartheta)} + Z_2 e^{-j(\beta-\vartheta)}) \dot{\varphi}_b \dot{\varphi}_{d1} \underline{I}_{d1} + \\ & + (Z_1 e^{j(\beta-\vartheta)} + Z_2 e^{-j(\beta-\vartheta)}) \dot{\varphi}_b \dot{\varphi}_{d2} \underline{I}_{d2} + \\ & + (Z_1 e^{j(\beta-\vartheta)} + Z_2 e^{-j(\beta-\vartheta)}) \dot{\varphi}_b \dot{\varphi}_{d3} \underline{I}_{d3} \end{aligned}$$

podobnie dla pozostałych uzwojeń,
gdzie:

$$\dot{\varphi}_b = \frac{z_b^k u_b}{z_a^k u_a}; \quad \dot{\varphi}_{d1} = \frac{z_{d1}^k u_{d1}}{z_a^k u_a}; \quad \dot{\varphi}_{d2} = \frac{z_{d2}^k u_{d2}}{z_a^k u_a};$$

$$\dot{\varphi}_{d3} = \frac{z_{d3}^k u_{d3}}{z_a^k u_a} - \text{przekładnia sprowadzająca uzwojenie danej fazy do fazy odniesienia,}$$

Z_1, Z_2 - impedancje dla składowej zgodnej i przeciwnej.

Korzystając z powyższych wyrażeń oraz równań prądowo-napięciowych obwodu (rys. 2), można wyprowadzić wzory na prądy fazowe:

$$\underline{I}_e = \underline{U} \frac{Z_{BB}}{Z_{AA} Z_{BB} - Z_{AB} Z_{BA}}$$

$$\underline{I}_b = \underline{U} \frac{Z_{BA}}{Z_{AA} Z_{BB} - Z_{AB} Z_{BA}}$$

gdzie:

$$Z_{AA} = Z_e + Z_{d1} + Z_{d3} + \left[1 + 2(\dot{\varphi}_{d1} + \dot{\varphi}_{d3}) \cos \vartheta + (\dot{\varphi}_{d1} + \dot{\varphi}_{d3})^2 \right] (Z_1 + Z_2)$$

$$Z_{AB} = Z_{d3} + \left[\dot{\varphi}_b e^{-j\beta} + (\dot{\varphi}_{d3} - \dot{\varphi}_{d2})(1 + \dot{\varphi}_{d1} + \dot{\varphi}_{d3}) e^{-j\vartheta} + \right.$$

$$\left. + \dot{\varphi}_b (\dot{\varphi}_{d1} + \dot{\varphi}_{d3}) e^{-j(\beta-\vartheta)} \right] Z_1 + \left[\dot{\varphi}_b e^{j\beta} + (\dot{\varphi}_{d3} - \dot{\varphi}_{d2}) \right.$$

$$\left. (1 + \dot{\varphi}_{d1} + \dot{\varphi}_{d3}) e^{j\vartheta} + \dot{\varphi}_b (\dot{\varphi}_{d1} + \dot{\varphi}_{d3}) e^{j(\beta-\vartheta)} \right] Z_2$$

$$\begin{aligned}
 Z_{BA} &= Z_a + Z_{d1} + \left[1 + 2\gamma_{d1}^2 \cos \varphi + \gamma_{d3}^2 e^{-j\varphi} + \gamma_{d2}^2 e^{j\varphi} - \right. \\
 &\quad \left. - \gamma_b^2 e^{j\beta} + (\gamma_{d1}^2 + \gamma_{d3}^2)(\gamma_{d1}^2 + \gamma_{d2}^2 - \gamma_b^2 e^{j(\beta-\varphi)}) \right] Z_1 + \\
 &\quad + \left[1 + 2\gamma_{d1}^2 \cos \varphi + \gamma_{d3}^2 e^{j\varphi} + \gamma_{d2}^2 e^{-j\varphi} - \gamma_b^2 e^{j\beta} + \right. \\
 &\quad \left. + (\gamma_{d1}^2 + \gamma_{d3}^2)(\gamma_{d1}^2 + \gamma_{d2}^2 - \gamma_b^2 e^{-j(\beta-\varphi)}) \right] Z_2 \\
 Z_{BB} &= -Z_b - Z_k - Z_{d2} + \left[2\gamma_b^2 \gamma_{d3}^2 \cos(\beta-\varphi) + (\gamma_{d3}^2 - \gamma_{d2}^2)(e^{-j\varphi} + \gamma_{d1}^2 + \gamma_{d2}^2) + \right. \\
 &\quad \left. + \gamma_b^2 (e^{-j\beta} + \gamma_{d1}^2 e^{-j(\beta-\varphi)} - \gamma_{d3}^2 e^{j(\beta-\varphi)}) - \gamma_b^2 \right] Z_1 + \\
 &\quad + \left[2\gamma_b^2 \gamma_{d2}^2 \cos(\beta-\varphi) + (\gamma_{d3}^2 - \gamma_{d2}^2)(e^{j\varphi} + \gamma_{d1}^2 + \gamma_{d2}^2) + \gamma_b^2 (e^{j\beta} + \gamma_{d1}^2 e^{j(\beta-\varphi)} - \right. \\
 &\quad \left. - \gamma_{d3}^2 e^{-j(\beta-\varphi)} - \gamma_b^2) \right] Z_2
 \end{aligned}$$

Prądy składowych zgodnych i przeciwnych:

$$\begin{aligned}
 I_1 &= \left[1 - e^{-j\varphi}(\gamma_{d1}^2 + \gamma_{d3}^2) \right] I_a + \left[\gamma_b^2 e^{-j\beta} - (\gamma_{d2}^2 - \gamma_{d3}^2) e^{j\varphi} \right] I_b \\
 I_2 &= \left[1 + e^{j\varphi}(\gamma_{d1}^2 + \gamma_{d3}^2) \right] I_a + \left[\gamma_b^2 e^{j\beta} - (\gamma_{d2}^2 - \gamma_{d3}^2) e^{j\varphi} \right] I_b
 \end{aligned}$$

Napięcia składowych zgodnych i przeciwnych:

$$E_1 = I_1 Z_1$$

$$E_2 = I_2 Z_2$$

Znając wartości napięć składowych oblicza się indukcyjność w szczelinie oraz w poszczególnych elementach obwodu magnetycznego. Momenty składowe:

$$M_1 = \frac{P_b}{2\pi f} I_1^2 \operatorname{Re} \left\{ Z_1 \right\}$$

$$M_2 = \frac{P_b}{2\pi f} I_2^2 \operatorname{Re} \left\{ Z_2 \right\}$$

Poszczególnym układom połączeń uzwojeń (rys. 1) odpowiadają następujące położenia przełącznika P, liczby zwojów (przekładnie) i impedancje rozproszeń \underline{Z}_1 uzwojeń dodatkowych:

$$\text{układ 1 - 1-1' i 1-1''} \quad \psi_{d1}^y = \psi_{c1}^y + \psi_{c2}^y \psi_{d2}^y = 0, \quad \psi_{d3}^y = 0$$

$$\underline{Z}_{d1} = \underline{Z}_{c1} + \underline{Z}_{c2}, \quad \underline{Z}_{d2} = 0, \quad \underline{Z}_{d3} = 0$$

$$\text{układ 2 - 1-1' i 2-2''} \quad \psi_{d1}^y = \psi_{c1}^y, \quad \psi_{d2}^y = \psi_{c2}^y, \quad \psi_{d3}^y = 0$$

$$\underline{Z}_{d1} = \underline{Z}_{c1}, \quad \underline{Z}_{d2} = \underline{Z}_{c2}, \quad \underline{Z}_{d3} = 0$$

$$\text{układ 3 - 1-1' i 3-3''} \quad \psi_{d1}^y = 0, \quad \psi_{d2}^y = \psi_{c1}^y + \psi_{c2}^y, \quad \psi_{d3}^y = 0$$

$$\underline{Z}_{d1} = 0, \quad \underline{Z}_{d2} = \underline{Z}_{c1} + \underline{Z}_{c2}, \quad \underline{Z}_{d3} = 0$$

$$\text{układ 4 - 2-2' i 1-1''} \quad \psi_{d1}^y = \psi_{c1}^y, \quad \psi_{d2}^y = 0, \quad \psi_{d3}^y = \psi_{c2}^y$$

$$\underline{Z}_{d1} = \underline{Z}_{c1}, \quad \underline{Z}_{d2} = 0, \quad \underline{Z}_{d3} = \underline{Z}_{c2}$$

$$\text{układ 5 - 2-2' i 2-2''} \quad \psi_{d1}^y = \psi_{c1}^y, \quad \psi_{d2}^y = 0, \quad \psi_{d3}^y = 0$$

$$\underline{Z}_{d1} = \underline{Z}_{c1}, \quad \underline{Z}_{d2} = 0, \quad \underline{Z}_{d3} = 0$$

$$\text{układ 6 - 2-2' i 3-3''} \quad \psi_{d1}^y = 0, \quad \psi_{d2}^y = \psi_{c2}^y, \quad \psi_{d3}^y = 0$$

$$\underline{Z}_{d1} = 0, \quad \underline{Z}_{d2} = \underline{Z}_{c2}, \quad \underline{Z}_{d3} = 0$$

$$\text{układ 7 - 3-3' i 1-1''} \quad \psi_{d1}^y = 0, \quad \psi_{d2}^y = 0, \quad \psi_{d3}^y = \psi_{c1}^y + \psi_{c2}^y$$

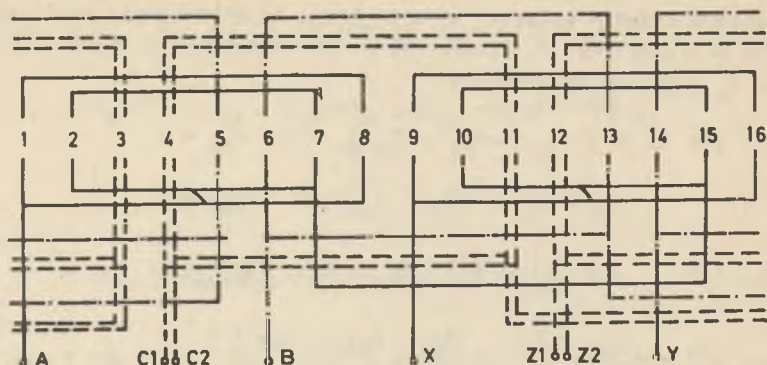
$$\underline{Z}_{d1} = 0, \quad \underline{Z}_{d2} = 0, \quad \underline{Z}_{d3} = \underline{Z}_{c1} + \underline{Z}_{c2}$$

$$\text{układ 8 - 3-3' i 2-2''} \quad \psi_{d1}^y = 0, \quad \psi_{d2}^y = 0, \quad \psi_{d3}^y = \psi_{c1}^y$$

$$\underline{Z}_{d1} = 0, \quad \underline{Z}_{d2} = 0, \quad \underline{Z}_{d3} = \underline{Z}_{c1}$$

$$\text{układ 9 - 3-3' i 3-3''} \quad \psi_{d1}^y = 0, \quad \psi_{d2}^y = 0, \quad \psi_{d3}^y = 0$$

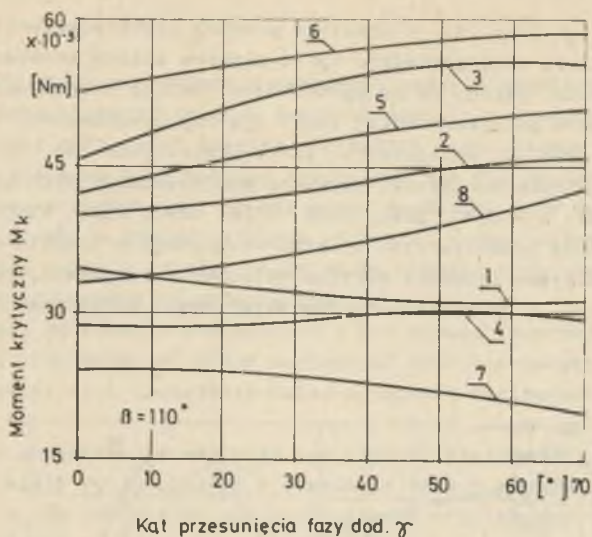
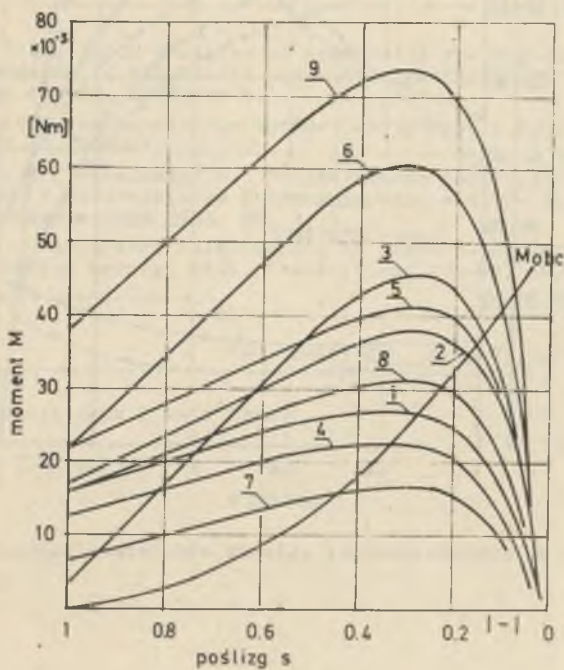
$$\underline{Z}_{d1} = 0, \quad \underline{Z}_{d2} = 0, \quad \underline{Z}_{d3} = 0.$$



Rys. 3. Schemat uzwojenia stojana $z_1 = 16$; $2p_b = 2$; $y_a = 7,5$; $y_b = 7$;
 $y_c = 7$

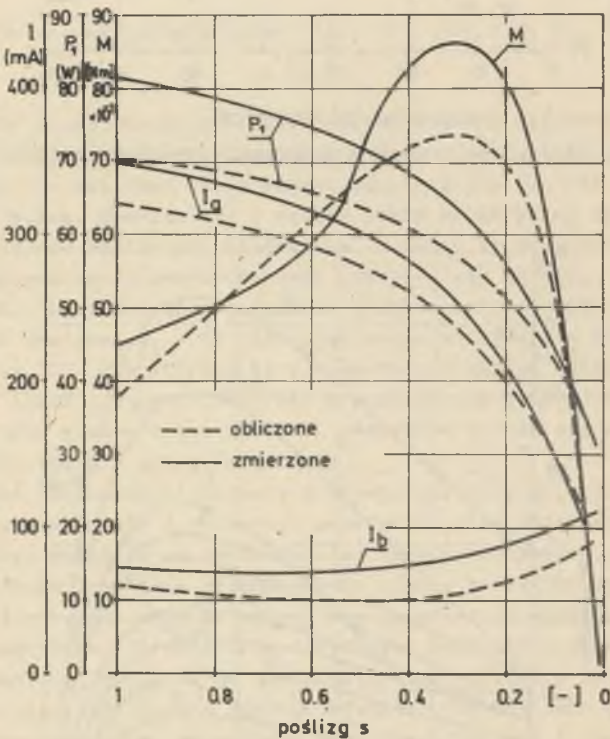
Na podstawie przedstawionych zależności opracowano algorytm i program obliczeń na maszynie cyfrowej umożliwiający zaprojektowanie tego typu silnika. Przyjęto do obliczeń obwód magnetyczny silnika UA-121 produkowanego przez FSMM Silma. Oparcie się o gotowy obwód magnetyczny ogranicza w znacznym stopniu możliwości projektowe, dotyczy to zwłaszcza doboru uzwojenia (rozmięszczenia przestrzennego uzwojeń fazy głównej, pomocniczej i dodatkowych), przy określonej liczbie żłobków stojana. Dla stojana o liczbie żłobków stojana $z_1 = 16$ zaprojektowano uzwojenie o liczbie biegunów $2p = 2$ (rys. 3), dla którego kąty elektryczne między osiami uzwojeń wynoszą $\beta = 112,5^\circ$, $\gamma = 67,5^\circ$. Przy projektowaniu uwzględniono w sposób tradycyjny dla maszyn elektrycznych, nasycenie obwodu magnetycznego oraz straty mechaniczne i straty w rdzeniu.

Zmiennymi niezależnymi zadania projektowego były więc dane nawojowe uzwojeń (liczby zwojów i przekroje przewodów) oraz pojemność kondensatora. Projektowanie polegało na takim doborze danych nawojowych, aby uzyskać możliwie maksymalnie duże zróżnicowanie między charakterystykami mechanicznymi silnika, co przy założonej charakterystyce obciążenia daje różne prędkości obrotowe. Ograniczenia dotyczyły: gęstości prądów w poszczególnych uzwojeniach, napięcia na kondensatorze, indukcji w szczeliny stojan-wirnik oraz zapełnienia żłobków stojana. Dla silników ogólnego zastosowania ograniczenia są sprawdzane przy biegu jałowym i obciążeniu znamionowym. W tym przypadku należało sprawdzać ograniczenia dla każdego z układów połączeń oddzielnie, dla poszczególnych określonych przecięciem charakterystyk mechanicznych silnika z charakterystyką obciążenia. Dla przebiegu charakterystyk silnika istotne znaczenie ma oprócz danych nawojowych również dobór kątów między osiami uzwojeń. Jek wykazały obliczenia, największe wartości momentów krytycznych uzyskuje się przy $\beta \approx 90^\circ$, natomiast poprzez zmianę przesunięcia uzwojeń dodatkowych (kąt γ) uzyskuje się zmianę wartości momentów krytycznych, wzrost bądź zmniejszenie ze

Rys. 4. Momenty krytyczne dla poszczególnych układów przy $\beta = \text{const}$ 

Rys. 5. Charakterystyki mechaniczne silnika dla poszczególnych układów połączeń

wzrostem kąta φ (rys. 4). W praktyce dowolne przemieszczenie osi uzwojeń nie jest możliwe, mogą zachodzić tylko skokowe zmiany spowodowane uzłobkowaniem stojana. Zmiany te są ograniczone również stosunkowo niewielką liczbą zębów w silnikach małej mocy. Dla zaprojektowanego silnika uzyskano charakterystyki mechaniczne, które przedstawia rys. 5. Przy założonej charakterystyce obciążenia uzyskano dla poszczególnych układów prędkości obrotowe $n = 1680, 2010, 2160, 2325, 2490, 2535, 2580, 2700, 2760$ obr/min. Badania laboratoryjne silnika wykonanego w oparciu o projekt wykazały zadowalającą zgodność wyników obliczeń z pomiarami. Dla układu połączeń 9 na rys. 6 przedstawiono charakterystyki obliczone i uzyskane z pomiarów.



Rys. 6. Charakterystyki silnika dla układu połączeń 9

3. Wnioski

Stwierdzono, że zastosowanie dodatkowych uzwojeń umożliwia uzyskanie dziewięciu różnych charakterystyk mechanicznych, a w konsekwencji dziewięciu prędkości obrotowych silnika. Wprawdzie przy zmianie tych charakterystyk nie ulega zmianie poślizg krytyczny, ale dla obciążenia typu wentylatorowego przedstawiony sposób zmian prędkości daje zadowalające rezultaty. W praktyce rzadko istnieje potrzeba nastawy dziewięciu prędkości. Eliminując jeden z przełączników można uzyskać trzy grupy, z których każda zawiera trzy różne charakterystyki.

W zależności od rodzaju wentylatora w ten sposób (poprzez zastosowanie odpowiedniego przełączenia) można dostosować charakterystyki silnika do różnych charakterystyk obciążenia celem uzyskania zbliżonych prędkości obrotowych.

Opracowany program obliczeń może być również zastosowany do obliczeń projektowych wielu typów uzwojeń o dowolnych kątach przesunięć między uzwojeniami, w tym również do obliczeń silnika trójfazowego zasilanego z sieci jednofazowej.

LITERATURA

- [1] Guru B.S.: Cross-field analysis of asymmetric three-phase induction motors extensions to single- and two-phase machines theoreof. IEEE Transactions PAS-98, 1979, nr 4.
- [2] Kohn A.: Perfectionnements aux moteurs monophasés a condensateur 1975. Patent nr 7503024.
- [3] Kluszczyński K., Mikielwicz R.: Projektowanie indukcyjnych silników jednofazowych z kondensatorem pracy za pomocą maszyny cyfrowej. Rozprawy Elektrotechniczne 1983, 29, z. 1.
- [4] Veinott C.G.: Perfornance calculations on L-and T-connected tapped-winding capacitor motors. IEEE, Transactions PAS-96, 1977, nr 4.

Recenzent: doc. dr inż. Jerzy Hickiewicz

Wpłynęło do redakcji dnia 2 maja 1984 r.

ОДНОФАЗНЫЙ ДВИГАТЕЛЬ С ДЕВЯТИ СХЕМАМИ
ВКЛЮЧЕНИЯ ОБМОТКОВ СТАТОРА

Р е з ю м е

Представлен метод расчетов и произведено анализ электромагнитной цепи однофазного индукционного двигателя с рабочим конденсатором. Через соответствующее переключивание обмоток статора этот двигатель делает возможным получение девяти различных механических характеристик. Алгоритм расчетов проверен для двигателя, который был проектирован согласно с разработанным методом расчетов.

SINGLE PHASE CAPACITOR MOTOR WITH NINE
VARIOUS CONNECTIONS OF STATOR WINDINGS

S u m m a r y

The single phase capacitor motor, allowing to obtain nine various torque characteristics has been described. The motor, designed according to presented algorithm of calculation of electromagnetic circuit has been accomplished and tested.

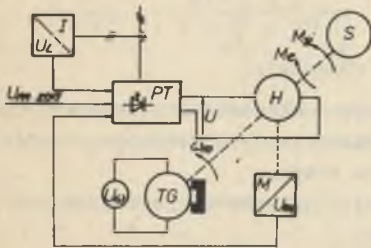
Aleksander FRĘCHOWICZ

Instytut Elektryfikacji i Automatykacji Górnictwa
Politechnika ŚląskaMETODYKA IDENTYFIKACJI PARAMETRÓW MODELU MATEMATYCZNEGO
UKŁADU ELEKTROMASZYNOWEGO NA PODSTAWIE JEGO CHARAKTERYSTYKI
CZĘSTOTLIWOŚCIOWEJ

Streszczenie. Pomiary i obliczenia parametrów maszyn elektrycznych małej mocy obciążone są znacznym błędem. W artykule, na przykładzie obciążonej hamownicy prądu stałego, przedstawiono metodykę identyfikacji parametrów modelu matematycznego układu elektromaszynowego, na podstawie jego charakterystyki amplitudowo-częstotliwościowej.

1. Wstęp

W artykule przedstawiono metodę identyfikacji parametrów modelu matematycznego układu elektromaszynowego, na przykładzie obciążonej hamownicy prądu stałego, zasilanej przez pełnosterowny wzmacniacz tyrystorowy, przeznaczonej do badań silników indukcyjnych w stanach nieustalonych. Zadaniem hamownicy jest wytworzenie momentu hamującego, regulowanego w trakcie rozruchu badanego silnika indukcyjnego. Schemat ideowy hamownicy przedstawiono na rys. 1.



Rys. 1. Schemat ideowy hamownicy wraz z silnikiem badanym

H - hamownica; S - silnik badany;
TG - tachoprądnica; PT - przekształtnik tyrystorowy wraz z układami regulacji i sterowania;
 U_{ω} - miernik prędkości obrotowej;
I/U - przetwornik prądu;
 M/U - przetwornik momentu

Poprawna synteza układu regulacji hamownicy wymagała wiernego modelu matematycznego. Pomiary i obliczenia parametrów maszyn małej mocy, do których można zaliczyć omawianą hamownicę, obciążone są dużym błędem. Minimalizację tego błędu osiąga się w normalnej praktyce inżynierskiej, przez uzupełnienie podstawowych równań fizycznych maszyny o inne elemen-

ty (np. wpływ nasycenia) i szczególnie staranny pomiar parametrów maszyny. W artykule przedstawiono metodykę budowy poprawnego modelu matema-

tycznego układu elektromaszynowego, opartego na podstawowych równaniach fizycznych maszyny prądu stałego, za pomocą obliczeń identyfikacyjnych parametrów modelu. Obliczenia wykonano opierając się na znajomości charakterystyki częstotliwościowej układu.

2. Model matematyczny obwodu twornika hamownicy

Model matematyczny hamownicy sporządzono wychodząc z podstawowych równań fizycznych obwodowej maszyny prądu stałego 2, przetworników prądu i wzmacniacza tyrystorowego:

$$M_e(t) = c \psi I(t) \quad (1)$$

$$E(t) = c \bar{\omega}_m(t) \quad (2)$$

$$E(t) - U(t) = R \left[I(t) + T_e \frac{dI(t)}{dt} \right] \quad (3)$$

$$M_s(t) - M_e(t) - M_t(t) = J \frac{d\omega_m(t)}{dt} \quad (4)$$

$$U(t) = C + k_p U_{st}(t) \quad (5)$$

$$U_1(t) = k_1 I(t) \quad (6)$$

$$M_t(t) = c_t \omega_t \quad (7)$$

W powyższych równaniach użyte symbole oznaczają:

- | | |
|---|---|
| U_{st}, U, U_1 | - napięcia sterujące wzmacniacza tyrystorowego, wyjściowe wzmacniacza tyrystorowego i wyjściowe przetwornika prądu, |
| E | - napięcie rotacji indukowane w obwodzie twornika hamownicy, |
| I | - prąd twornika hamownicy, |
| M_e, M_s, M_t | - momenty: elektromagnetyczny hamownicy, elektromagnetyczny silnika indukcyjnego, tarcia w łożyskach, |
| ω_m | - prędkość kątowna wirowania zespołu, |
| $R, T_e, c\bar{\omega}, J, c_t, k_1, k_p$ | - współczynniki stałe. |

Uwzględniając ponadto, że maszyna indukcyjna pracuje na stabilnej części charakterystyki mechanicznej opisanej równaniem:

$$M_s = B_1 + B_2 \omega_m \quad (8)$$

transmitancję operatorową obwodu twornika hamownicy można zapisać w postaci:

$$\frac{U_1(p)}{U_{st}(p)} = k_1 k_p \frac{\frac{1}{R} \left(1 + p \frac{J}{c_t + B_2}\right)}{R(c_t + B_2) + 1 + p(T_e + \frac{J}{c_t + B_2}) + p^2 \frac{J T_e}{c_t + B_2}} \quad (9)$$

Stosując podstawienia:

$$T = \frac{J}{c_t + B_2}$$

$$k = \frac{k_1 k_p (c_t + B_2)}{c^2 \Phi^2 + R(c_t + B_2)} \quad (10)$$

$$\omega_0 = \sqrt{\frac{R(c_t + B_2) + c^2 \Phi^2}{J R T_e}}$$

$$d = \frac{J + T_e (c_t + B_2)}{2 J T_e \omega_0}$$

Otrzymuje się prostą postać transmitancji operatorowej:

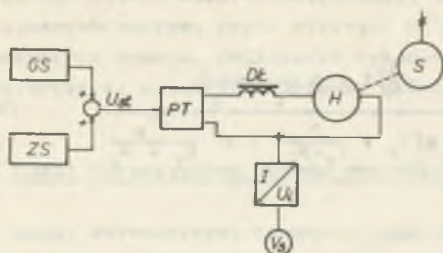
$$\frac{U_1(p)}{U_{st}(p)} = \frac{k(1 + pT)}{1 + p \frac{2d}{\omega_0} + p^2 \frac{1}{\omega_0^2}}$$

Na tej podstawie wyprowadzono wyrażenie określające charakterystykę amplitudowo-częstotliwościową obwodu twornika hamownicy [1]:

$$L_h(\omega) = 20 \lg k + 10 \lg(1 + \omega^2 T^2) + \\ + 40 \lg \omega_0 - 10 \lg \left[(\omega_0^2 - \omega^2)^2 + (2d\omega_0 \omega)^2 \right] \quad (11)$$

3. Identyfikacja parametrów modelu matematycznego obwodu twornika hamownicy

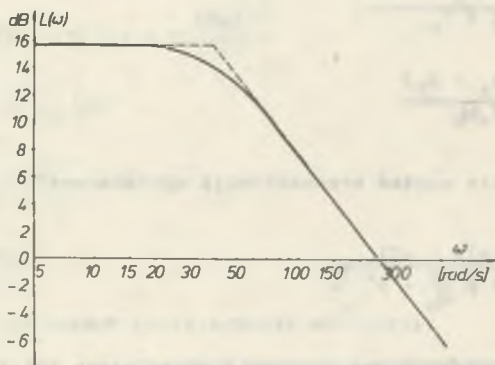
Obliczenia identyfikacyjne parametrów równania (9) przeprowadzono opierając się na znajomości charakterystyki amplitudowo-częstotliwościowej obwodu twornika hamownicy [1]. Schemat układu pomiarowego przedstawiono na rys. 2.



Rys. 2. Schemat układu pomiarowego do wyznaczenia charakterystyki amplitudowo-częstotliwościowej hamownicy

GS - generator napięcia sinusoidalnego; ZS - zasilacz stabilizowany; DŁ - dławik; Vs - woltmierz selektywny

Silnik indukcyjny załączono bez obciążenia momentem hamującym. Po dojściu do prędkości podsynchronicznej ustalono wartość prądu hamującego, wysterowując wzmacniacz tyrystorowy napięciem z zasilacza ZS. Następnie, za pomocą generatora napięcia sinusoidalnego doprowadzono do oscylacji prądu hamującego wokół zadanej wartości średniej. Amplitudę drgań prądu hamownicy zmierzono woltmierzem selektywnym dostrojonym do częstotliwości drgań generatora. Otrzymaną w ten sposób charakterystykę przedstawiono na rys. 3.



Rys. 3. Charakterystyka amplitudowo-częstotliwościowa wirującej hamownicy

Przyjmując, że przedstawiona na rys. 3 charakterystyka opisana jest zależnością (11), stwierdzić można, że jest ona funkcją pulsacji ω i czterech parametrów: T , k , ω_0 i d lub uwzględniając zależności (9), jest funkcją pulsacji ω i sześciu parametrów: R , J , c_r i B_2 , T_0 , $c^2 \phi^2$, $k_1 k_p$. W pracy przeprowadzono identyfikację sześciu parametrów fizycznych.

Na podstawie pomierzonej charakterystyki (rys. 3) utworzono wektor wartości rzeczywistych $[E_r(\omega)]$, który obejmuje trzydzieści sześć kolejnych wartości pomierzonej funkcji $L_{hr}(\omega)$ dla trzydziestu sześciu wartości pulsacji ω .

$$[E_r(\omega)] = \begin{bmatrix} L_{hr}(\omega_1) \\ L_{hr}(\omega_2) \\ \dots \\ L_{hr}(\omega_{36}) \end{bmatrix} \quad (12)$$

Dla przyjętych parametrów identyfikowanych: $R_1, J_1, (c_t + B_2)_1, T_{e1}, (c^2 \phi^2)_1, (k_1 k_p)_1$ i trzydziestu sześciu wartości pulsacji ω (tych samych co w wektorze $[E_r(\omega)]$), obliczono z zależności (11) trzydzieści sześć wartości funkcji $L_h(\omega)$ i utworzono z nich wektor wartości obliczonych $[E(\omega)]$:

$$[E(\omega)] = \begin{bmatrix} L_h[\omega_1, R_1, J_1, (c_t + B_2)_1, T_{e1}, (c^2 \phi^2)_1, (k_1 k_p)_1] \\ L_h[\omega_2, R_1, J_1, (c_t + B_2)_1, T_{e1}, (c^2 \phi^2)_1, (k_1 k_p)_1] \\ \dots \\ L_h[\omega_{36}, R_1, J_1, (c_t + B_2)_1, T_{e1}, (c^2 \phi^2)_1, (k_1 k_p)_1] \end{bmatrix} \quad (13)$$

Korzystając ze wzorów (12) i (13), obliczono odległość euklidesową między wektorami $[E_r(\omega)]$ i $[E(\omega)]$, jako:

$$d^2(E_r, E) = [E_r(\omega) - E(\omega)]^T [E_r(\omega) - E(\omega)] \quad (14)$$

Odległość (14) minimalizowano za pomocą maszyny cyfrowej posługując się algorytmem optymalizacyjnym Hooke'a - Jeevesa [4]. Wartość parametrów, dla których odległość (14) osiąga minimum są wartościami szukanymi parametrów modelu matematycznego.

Przeprowadzając obliczenia identyfikacyjne stwierdzono, że obliczone parametry transmitancji obwodu twornika zależą od doboru punktu startowego. Każdy, obliczony w ten sposób zestaw obliczonych parametrów, prowadzi do podobnej charakterystyki amplitudowo-częstotliwościowej, a zatem do zbliżonych własności dynamicznych hamownicy. Właściwość ta stwarza szansę doboru takich parametrów równań (1) - (6), które nie tylko umożliwią zbudowanie poprawnego modelu dynamicznego układu, (symulacja cyfrowa rozruchu zespołu wirującego oraz stany przejściowe zespołu zatrzymanego i wysterowanego, przy współpracy z różnymi typami silników indukcyjnych), ale również zapewnią odpowiednie własności statyczne hamownicy. Spośród sześciu wymienionych parametrów trzy (stała czasowa T_e , tangens kąta nachylenia części stabilnej charakterystyki mechanicznej B_2 oraz stała hamownicy $c \phi$) powinny mieć wartość zgodną z rzeczywistą. Próby ustalenia tych trzech parametrów i przeprowadzenia obliczeń identyfikacyjnych za pomocą pozostałych trzech parametrów - nie dawały poprawnego rozwiązania. Również obliczenia umożliwiające drobną korektę trzech parametrów przy zasadniczej zmianie trzech pozostałych - dawały wynik negatywny (wydłuże-

nie czasu obliczeń, charakterystyka otrzymana przy pomocy parametrów obliczonych odbiegała od charakterystyki rzeczywistej). Poprawne wyniki otrzymano dopiero przy założeniu dowolnych zmian czterech parametrów: R , J , $k_1 k_p$ oraz c_Φ^2 i minimalnych zmian współczynników T_e oraz $(c_t + B_2)$. Rozrzut punktów charakterystyki pomierzonej i obliczonej za pomocą parametrów otrzymanych z obliczeń identyfikacyjnych był mniejszy od 0,3 dB. Jako parametry punktu startowego przyjęto rzeczywiste, fizyczne parametry hamownicy.

4. Wyniki obliczeń identyfikacyjnych i symulacyjnych hamownicy

W tabeli 1 zestawiono parametry punktu startowego obliczeń identyfikacyjnych i wartości obliczone tych parametrów. Obliczenia przeprowadzone zostały dla hamownicy wielkości mechanicznej "2B" o danych znamionowych $U_n = 220$ V, $I_n = 4$ A, $n_n = 3000$ obr/min.

Tabela 1

P a r a m e t r		Punkt startowy	Obliczona wartość
R	- rezystancja obwodu twornika	4,3 Ω	5,5 Ω
J	- moment bezwładności mas wirujących	0,0067 kgm^2	0,0062 kgm^2
$c_t + B_2$	- nachylenie charakterystyki silnika badanego	0,255 Nms	0,2587 Nms
c_Φ^2	- kwadrat stałego współczynnika	0,64 $(\frac{\text{Nm}}{\text{A}})^2$	0,43 $(\frac{\text{Nm}}{\text{A}})^2$
T_e	- elektromagnetyczna stała czasowa	0,0309 s	0,0325 s
$k_1 k_p$	- współczynnik wzmocnienia	45	43,3

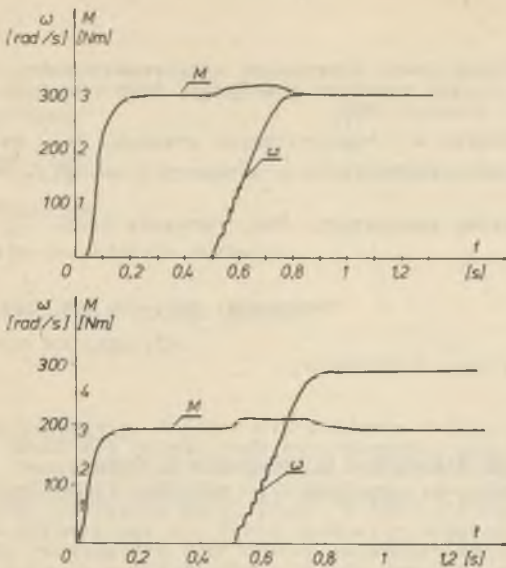
Przyjęcie w modelu matematycznym stałego współczynnika maszyny $c_\Phi = \sqrt{c_\Phi^2} = \sqrt{0,43} = 0,65$ prowadziłoby do błędnej zależności momentu elektromagnetycznego w funkcji prądu hamownicy. Aby tego uniknąć równania modelu hamownicy (1) i (2) przedstawione w postaci:

$$M_e(t) = A_1 I(t) \quad (1a)$$

$$E(t) = A_2 \omega_m(t) \quad (2a)$$

Przyjmując: $A_1 = 0,8 \frac{\text{Nm}}{\text{A}}$ (zgodnie z wartością pomierzoną parametru) otrzymano:

$$A_2 = \frac{0,43}{0,8} = 0,54 \text{ Va.}$$



Rys. 4. Moment hamujący i prędkość kątowna hamownicy w cyklu pracy
a) wielkości obliczone, b) oscylogram przebiegów

Dzięki temu zabiegowi uzyskano poprawne własności dynamiczne modelu ($A_1 A_2 = c^2 \phi^2$), a także zgodny z rzeczywistością stosunek momentu elektromagnetycznego do prądu:

$$\frac{M_e(t)}{I(t)} = 0,8 \frac{\text{Nm}}{\text{A}}$$

Wyniki obliczeń identyfikacyjnych użyte zostały w programie symulacyjnym do obliczeń cyklu pracy hamownicy. Pełny program symulacji oprócz równań (1) - (6) obejmował równania momentu silnika badanego [3] oraz symulację cyklu hamownicy obejmującego narastanie momentu hamującego zatrzymanego zespołu i rozruch silnika obciążonego momentem hamującym. Na rys. 4 przedstawiono wyniki obliczeń i oscylogram rzeczywistych przebiegów momentu i prędkości obrotowej hamownicy.

LITERATURA

- [1] Fręchowicz A.: Właściwości dynamiczne elektromaszynowej hamownicy prądu stałego o stałym momencie hamującym. Rozprawa doktorska. Politechnika Śląska, Gliwice 1983.
- [2] Gogolewski Z., Gabryś W.: Maszyny prądu stałego. PWT, Warszawa 1960.
- [3] Kopyłow J.P.: Elektromechaniczne przetworniki energii. PWN, Warszawa 1978.
- [4] Węgrzyn S.: Podstawy automatyki. PWN, Warszawa 1972.

Recenzent: doc. dr inż. Jerzy Hickiewicz

Wpłynęło do redakcji dnia 2.V.1984 r.

МЕТОДИКА ИДЕНТИФИКАЦИИ ПАРАМЕТРОВ МАТЕМАТИЧЕСКОЙ МОДЕЛИ
ЭЛЕКТРОМАШИННОЙ СИСТЕМЫ, НА ОСНОВАНИИ ЕЕ ЧАСТОТНОЙ ХАРАКТЕРИСТИКИ

Р е з ю м е

Измерения и исчисления параметров электрических машин малой мощности обременены значительной ошибкой. В статье на примере тормоза постоянного тока независимого возбуждения, представлена методика идентификации параметров математической модели электромашинной системы, на основании её амплитудно-частотной характеристики.

METHODOLOGY OF PARAMETERS IDENTIFICATION IN A MATHEMATICAL MODEL
OF THE ELECTRICAL MACHINES SYSTEM, ON THE BASIS OF ITS FREQUENCY
CHARACTERISTICS

S u m m a r y

In the measurements and calculations concerning the parameters of low-power electric machines there often appear considerable errors. The paper, taking as an example dynamometer of direct current, shows the methodology of parameters identification in a mathematical model of the electrical machines system, on the basis of its amplitude-frequency characteristics.

Maciej SIWCZYŃSKI

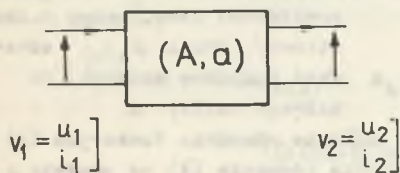
Politechnika Śląska

Zuzanna SIWCZYŃSKA

Wyższa Szkoła Inżynierska w Opolu

RÓWNANIA FUNKCYJNE W TEORII UKŁADÓW
O PARAMETRACH ROZŁOŻONYCH

Streszczenie. W pracy sformułowano teorię niejednorodnych liniowych obwodów o parametrach rozłożonych z użyciem równań funkcyjnych. Podano ogólne rozwiązania równania funkcyjnego obwodu. Następnie rozpatrzono obwody kawałkami różniczkowalne, kawałkami jednorodnymi, kawałkami analitycznymi. W tych przypadkach równanie funkcyjne sprowadzono do równań całkowych obowiązujących na kawałkach. Podano rozwiązanie tych równań całkowych metodą perturbacyjną, metodą kolejnych przybliżeń i metodą szeregów potęgowych. Zaproponowano też metodę faktoryzacji równania funkcyjnego.

1. Czwórnik skupione

Rys. 1. Czwórnik skupiony

Na rysunku 1 pokazano czwórnik skupiony, w którym wektor napięcie - prąd v_1 jest związany z wektorem napięcie - prąd v_2 odwzorowaniem afinicznym (A, a) :

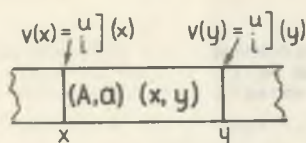
$$v_1 = (A, a)v_2 = Av_2 + a \quad (1)$$

Odwzorowanie to składa się z macierzy łańcuchowej A i wektora źródeł a . Czwórnik nie zawierający źródeł autonomicznych ma zerowy wektor źródeł i będzie nazywany beźźródłowym. Jednostkowe odwzorowanie afiniczne ma postać $(I, 0)$, gdzie I jest macierzą jednostkową. Złożenie odwzorowań afinicznych, odpowiadające kaskadzie czwórników, odbywa się według wzoru:

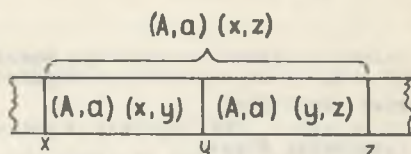
$$(A_1, a_1) \circ (A_2, a_2) = (A_1 A_2, A_1 a_2 + a_1) \quad (2)$$

2. Równania funkcyjne linii

W pokazanej na rys. 2 odcinku linii operator afiniczny wiążący napięcie i prąd w miejscu x z napięciem i prądem w miejscu y zależy od pary (x, y) , $0 \leq x \leq y \leq l$:



Rys. 2. Odcinek linii



Rys. 3. Dwa przylegające odcinki

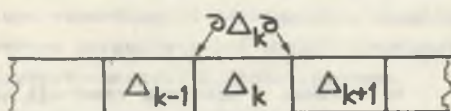
$$v(x) = (A,a)(x,y)v(y) = A(x,y)v(y) + a(x,y). \quad (3)$$

Kaskada widoczna na rys. 3 prowadzi bezpośrednio do równania funkcyjnego, w którym niewiadomą jest operator afiniczny odcinka linii zawartego między przekrojami x, y :

$$(A,a)(x,z) = (A,a)(x,y) \circ (A,a)(y,z), \quad (4)$$

gdzie $x \leq y \leq z$.

Sformułujemy podstawową własność równania (4). W tym celu dokonamy tzw. regularnego podziału linii dzieląc ją na skończony ciąg rozłącznych,



Rys. 4. Regularny podział linii

przylegających do siebie otwartych odcinków Δ_k , $k = 1, 2, \dots$ (rys. 4). Symbolami $\partial\Delta_k$, $\Delta_k\partial$, $\partial\Delta_k\partial$ oznaczamy brzegi odcinka Δ_k odpowiednio: lewy, prawy i obustronny. Przez $\Delta_k(x)$ oznaczę będziemy odcinek, do którego należy x .

Niech $x, y, z \in \Delta_k$ i niech $(A,a)_k(x,y)$ spełnia równanie funkcyjne (4) - powiemy też, że funkcja $(A,a)_k(x,y)$ spełnia równanie (4) na odcinku Δ_k . Wówczas funkcja

$$(A,a)(x,y) \hat{=} (A,a)_{k(x)}(x, \Delta_k\partial(x)) \circ (A,a)_{[k(x)+1]}(\partial\Delta_{[k(x)+1]}) \circ \dots \circ (A,a)_{[k(y)-1]}(\partial\Delta_{[k(y)-1]}) \circ (A,a)_{k(y)}(\partial\Delta_{k(y)}, y) \quad (5)$$

jest rozwiązaniem równania (4).

Założenie operatorów afinicznych dane wzorem (2) rozбивa równanie (4) na dwa równania funkcyjne

$$A(x,z) = A(x,y) A(y,z) \quad (6a)$$

$$a(x,z) = A(x,y) a(y,z) + a(x,y). \quad (6b)$$

Widać, że równanie (6a) jest niezależne od (6b). Dlatego równanie (6a) odgrywać będzie dalej rolę zasadniczą.

Ze względów praktycznych dużą rolę odgrywają linie kawałkami różniczkowalne, tj. takie dla których istnieją regularne podziały na odcinki Δ_k , na których funkcje $(A, a)_k(x, y)$ są różniczkowalne. Różniczkując wówczas równania (6) na odcinku Δ_k podług z w punkcie $z = y$ otrzymamy:

$$A'_{k,y}(x, y) = A_k(x, y)H_k(y) \quad (7a)$$

$$a'_{k,y}(x, y) = A_k(x, y)h_k(y) \quad (7b)$$

gdzie

$$H_k(y) = A'_{k,z}(y, y), \quad h_k = a'_{k,z}(y, y) \quad (8a, b)$$

są tzw. tworzącymi macierzy $A_k(x, y)$ i źródła $a_k(x, y)$, będziemy też mówili: tworzącymi na odcinku Δ_k . Tworzące reprezentują rozkłady parametrów i źródeł autonomicznych wzdłuż linii, dlatego uważamy je za znane w procesie analizy obwodu. Funkcje $A_k(x, y)$, $a_k(x, y)$ można wyznaczyć przez rozwiązanie równań różniczkowych (7) przy warunkach początkowych

$$A_k(x, x) = I, \quad a_k(x, x) = 0 \quad (9a, b)$$

Rozwiązanie równania funkcyjnego (4) dla funkcji kawałkami różniczkowalnych ma postać:

$$\begin{aligned} (A, a)(x, y) &= (A, a)_{k(x)}(x, \Delta_k(x)) \circ (A, a)(\Delta_k(x), \Delta_k(x)) \circ \\ &\circ (A, a)_{[k(x)+1]}(\Delta_k(x), \Delta_k(x)) \circ \dots \\ &\dots \circ (A, a)_{[k(y)-1]}(\Delta_k(y), \Delta_k(y)) \circ \\ &\circ (A, a)_{k(y)}(\Delta_k(y), y) \end{aligned} \quad (10)$$

Powróćmy do równań (7a, b) dla odcinka Δ_k . Jeżeli znajdziemy rozwiązanie równania (7a), to rozwiązanie równania (7b) można określić wzorem

$$a_k(x, y) = \int_x^y A_k(x, \xi) h_k(\xi) d\xi. \quad (11)$$

Odcinek Δ_k nazwiemy wzajemnym, jeżeli nie zawiera on rozłożonych źródeł sterowanych, tj. gdy macierz $H_k(y)$ ma strukturę

$$H_k(y) = \begin{bmatrix} 0 & Z_k \\ Y_k & 0 \end{bmatrix} (y) \quad (12)$$

gdzie Z_k i Y_k to impedancja podłużna i admitancja poprzeczna odcinka na jednostkę długości. Źródła sterowane rozłożone zapełniają miejsca zerowe w macierzy (12). Z tożsamości Jakobiego dla równania (7a) wynika, że dla odcinka wzajemnego

$$|A_k(x, y)| = e^{\int_x^y \text{tr}[H_k(\xi)] d\xi} = 1 \quad (13)$$

3. Linie z nieznaczną niejednorodnością

Rozważmy odcinek linii, na którym istnieje tworząca $H + \varepsilon F(x)$, gdzie H jest stałą macierzową, a ε małym parametrem. Równanie różniczkowe (7a) na tym odcinku przyjmuje postać:

$$A'_y(x, y) = A(x, y)[H + \varepsilon F(y)] \quad (14)$$

Równanie to doprowadzimy do równania całkowego Volterry:

$$A(x, y) = e^{(y-x)H} + \varepsilon \int_0^{y-x} A(x, x+\xi) F(x+\xi) e^{(y-x-\xi)H} d\xi \quad (15)$$

Stosując metodę perturbacyjną poszukujemy rozwiązania równania (15) w postaci szeregu potęgowego parametru:

$$A(x, y) = [I + \varepsilon A_1(x, y) + \varepsilon^2 A_2(x, y) + \dots] e^{(y-x)H} \quad (16)$$

Podstawiając funkcję (16) do równania (15) łatwo otrzymuje się formuły rekurencyjne dla macierzy $A_n(x, y)$:

$$A_{n+1}(x, y) = \int_0^{y-x} A_n(x, x+\xi) e^{H\xi} F(x+\xi) e^{-\xi H} d\xi \quad (17)$$

$$A_0(x, y) \equiv I.$$

Poszczególnych funkcji $A_n(x, y)$ będziemy poszukiwać w postaci szeregów

$$A_n(x, y) = (y-x)^n \sum_{m=0}^{\infty} (y-x)^m A_{nm}(x) \quad (18)$$

W tym celu rozwinięto w szereg potęgowy funkcję

$$F(x+\xi) = F_0(x) + \xi F_1(x) + \xi^2 F_2(x) + \dots \quad (19)$$

$$F_n(x) = \frac{1}{n!} [F^{(n)}(x+\xi)]_{\xi=0}$$

Korzystając ze wzoru Bakera - Campbella - Hausdorffa [2]

$$e^A B e^{-A} = B + [A, B] + \frac{1}{2}[A, [A, B]] + \frac{1}{3!}[A, [A, [A, B]]] + \dots$$

gdzie

$$[A, B] = AB - BA$$

jest komutatorem macierzy, mamy kolejne rozwinięcia:

$$e^{\xi H} F_0(x) e^{-\xi H} = F_0(x) + \xi [H, F_0(x)] + \frac{1}{2} \xi^2 [H, [H, F_0(x)]] + \dots$$

$$+ \frac{1}{3!} \xi^3 [H, [H, [H, F_0(x)]]] + \dots$$

$$e^{\xi H} \xi F_1(x) e^{-\xi H} = \xi F_1(x) + \xi^2 [H, F_1(x)] + \frac{1}{2} \xi^3 [H, [H, F_1(x)]] + \dots$$

$$+ \frac{1}{3!} \xi^4 [H, [H, [H, F_1(x)]]] + \dots$$

$$e^{\xi H} \xi^2 F_2(x) e^{-\xi H} = \xi^2 F_2(x) + \xi^3 [H, F_2(x)] + \frac{1}{2} \xi^4 [H, [H, F_2(x)]] + \dots$$

$$+ \frac{1}{3!} \xi^5 [H, [H, [H, F_2(x)]]] + \dots$$

...

Po zsumowaniu powyższych wzorów otrzymujemy rozwinięcie

$$e^{\xi H} F(x+\xi) e^{-\xi H} = Q_0(x) + \xi Q_1(x) + \xi^2 Q_2(x) + \dots \quad (20)$$

gdzie

$$Q_0(x) = F_0(x)$$

$$Q_1(x) = [H, F_0(x)] + F_1(x) \quad (21)$$

$$Q_2(x) = \frac{1}{2}[H, [H, F_0(x)]] + [H, F_1(x)] + F_2(x)$$

$$Q_3(x) = \frac{1}{3!}[H, [H, [H, F_0(x)]]] + \frac{1}{2}[H, [H, F_1(x)]] + [H, F_2(x)] + F_3(x)$$

...

Zanim skorzystamy ze wzoru (17), trzeba wymnożyć szeregi (18) i (20):

$$A_n(x, x+\xi) e^{\xi H} F(x+\xi) e^{-\xi H} =$$

$$= \xi^n \sum_{m=0}^{\infty} \xi^m A_{nm}(x) [Q_0(x) + \xi Q_1(x) + \xi^2 Q_2(x) + \dots] =$$

$$= \xi^n A_{n0}(x) Q_0(x) + \xi^{n+1} [A_{n1}(x) Q_0(x) + A_{n0}(x) Q_1(x)] +$$

$$+ \xi^{n+2} [A_{n2}(x) Q_0(x) + A_{n1}(x) Q_1(x) + A_{n0}(x) Q_2(x)] + \dots$$

Wzór (17) daje

$$A_{n+1}(x, y) = (y-x)^{n+1} \left\{ \frac{1}{n+1} A_{n0}(x) Q_0(x) + \right. \\ \left. + (y-x) \frac{1}{n+2} [A_{n1}(x) Q_0(x) + A_{n0}(x) Q_1(x)] + \right. \\ \left. + (y-x)^2 \frac{1}{n+3} [A_{n2}(x) Q_0(x) + A_{n1}(x) Q_1(x) + \right. \\ \left. + A_{n0}(x) Q_2(x)] + \dots \right\}$$

Stąd łatwo określić wzór rekurencyjny dla macierzy - współczynników szeregu (18):

$$A_{n+1,m}(x) = \frac{1}{n+1+m} \sum_{p=0}^m A_{n,m-p}(x) Q_p(x), \quad (22)$$

przy czym

$$A_{00}(x) = I, \quad A_{0m}(x) \equiv \emptyset, \quad \text{dla } m > 0.$$

4. Linie kawałkami analityczne

Linie kawałkami analityczną nazywamy linię, dla której istnieje podział regularny taki, że na poszczególnych odcinkach tego podziału istnieje tworząca rozwijalna w odpowiednio zbieżne szeregi potęg przyrostów argumentu x . Weźmy pod uwagę odcinek Δ linii, na którym istnieje tworząca $H + F(x)$, gdzie H jest macierzą niezależną od x .

Równanie (7a) ma w tym przypadku postać:

$$A'_y(x, y) = A(x, y)[H + F(y)] \quad (23)$$

Równanie (23) łatwo doprowadzić do równania całkowego Volterry:

$$A(x, y) = e^{(y-x)H} + \int_0^{y-x} A(x, x+\xi) F(x+\xi) e^{(y-x-\xi)H} d\xi \quad (24)$$

Rozważmy równanie (24) z punktu widzenia zasady odwzorowań zwężających. Niech \mathcal{B} będzie takim ciągłym operatorem przekształcającym przestrzeń macierzy \mathcal{R} w siebie, że pewna jego potęga $\mathcal{D} = \mathcal{B}^n$ jest zwężeniem, wówczas równanie

$$x = \mathcal{B}(x)$$

ma w \mathcal{R} jednoznaczne rozwiązanie. Istotnie, niech x będzie punktem stałym operatora \mathcal{D} , tj. $\mathcal{D}(x) = x$.

Wtedy

$$\mathcal{B}(x) = \mathcal{B}[\mathcal{D}^k(x)] = \mathcal{D}^k[\mathcal{B}(x)] = \mathcal{D}^k(x_0) \rightarrow x, \quad (k \rightarrow \infty)$$

ponieważ operator \mathcal{D} jest zwężeniem i dlatego ciąg

$$\mathcal{D}(x_0), \mathcal{D}^2(x_0), \mathcal{D}^3(x_0), \dots$$

dla dowolnego $x_0 \in \mathcal{R}$ dąży do punktu stałego x operatora \mathcal{D} . Zatem $\mathcal{B}(x) = x$. Ten punkt stały jest jedyny, gdyż dowolny punkt stały względem

\mathcal{B} jest stały również względem operatora zwężającego \mathcal{B}^n , dla którego punkt stały może być tylko jeden. Niech

$$[\mathcal{B}(A)](x, y) = e^{(y-x)H} + \int_0^{y-x} A(x, x+\xi) F(x+\xi) e^{(y-x-\xi)H} d\xi \quad (25)$$

Jest to więc operator równania (24). Zbadamy istnienie i jednoznaczność rozwiązania równania (24) w przedziale: $x, y \in \Delta$.

Metrykę wprowadzimy następująco:

$$\rho(A_1, A_2) = \max_{x, y \in \Delta} \|A_1(x, y) - A_2(x, y)\|$$

gdzie $\|\cdot\|$ jest zwykłą normę macierzy $A = [a_{ij}]$, $i, j = 1, \dots, N$

$$\|A\| = \max_{1 \leq i \leq N} \sum_{j=1}^N |a_{ij}|.$$

Wykażemy, że pewna potęga operatora (25) jest zwężeniem:

$$\begin{aligned} & \| [\mathcal{B}(A_1)](x, y) - [\mathcal{B}(A_2)](x, y) \| = \\ & = \left\| \int_0^{y-x} [A_1(x, x+\xi) - A_2(x, x+\xi)] F(x+\xi) e^{(y-x-\xi)H} d\xi \right\| \leq \\ & \leq \mu(y-x) \max_{x, y \in \Delta} \|A_1(x, y) - A_2(x, y)\| = \mu(y-x) \rho(A_1, A_2), \end{aligned}$$

gdzie

$$\mu = \max_{x, y \in \Delta} \|F(x) e^{(y-x)H}\|.$$

Stąd

$$\begin{aligned} & \| [\mathcal{B}^2(A_1)](x, y) - [\mathcal{B}^2(A_2)](x, y) \| \leq \mu^2 \frac{(y-x)^2}{2} \rho(A_1, A_2) \\ & \dots \dots \dots \\ & \| [\mathcal{B}^n(A_1)](x, y) - [\mathcal{B}^n(A_2)](x, y) \| \leq \mu^n \frac{(y-x)^n}{n!} \rho(A_1, A_2) \end{aligned}$$

Zatem:

$$\rho[\mathcal{B}^n(A_1), \mathcal{B}^n(A_2)] \leq \frac{(\mu|\Delta|)^n}{n!} \rho(A_1, A_2)$$

gdzie $|\Delta|$ oznacza długość odcinka Δ . Wynika stąd, że zawsze można wybrać na tyle duże n , aby

$$\frac{(\mu|\Delta|)^n}{n!} < 1,$$

Czyli \mathcal{B}^n jest zwężeniem i równanie (24) posiada jednoznaczne rozwiązanie, które jest granicą ciągu danego wzorem:

$$A_{n+1}(x, y) = e^{(y-x)H} + \int_0^{y-x} A_n(x, x+\xi) F(x+\xi) e^{(y-x-\xi)H} d\xi \quad (26)$$

W celu dalszej analizy równania (24) wprowadzimy pojęcie szeregu absolutnie δ - zbieżnego. Szereg

$$\sum_{n=0}^{\infty} x^n A_n, \quad (27)$$

gdzie A_n są stałymi macierzami, nazywamy absolutnie δ - zbieżnym, jeżeli istnieje taka liczba $\delta > 0$, że dla każdego $|x| < \delta$ szereg liczbowy

$$\sum_{n=0}^{\infty} |x|^n \|A_n\| \quad (28)$$

jest zbieżny. Szczególnym przypadkiem jest szereg absolutnie zbieżny, dla którego przy wszystkich x szereg (28) jest zbieżny. Łatwo przekonać się, że szeregi

$$e^{xA}, \cos(xA), \sin(xA)$$

są przykładami szeregów absolutnie zbieżnych. Oczywiście wielomian

$$A_0 + xA_1 + \dots + x^n A_n,$$

jest szeregiem absolutnie zbieżnym. Niech szeregi

$$\sum_{n=0}^{\infty} x^n A_n, \quad \sum_{n=0}^{\infty} x^n B_n$$

będą absolutnie δ - zbieżne. Zbadajmy iloczyn sum częściowych:

$$\sum_{n=0}^N x^n A_n \sum_{m=0}^N x^m B_m = \sum_{n=0}^N \sum_{m=0}^N x^{n+m} A_n B_m = \sum_{n=0}^{2N} x^n C_n,$$

gdzie

$$C_n = \sum_{p=0}^n A_{n-p} B_p.$$

Zachodzi nierówność

$$\sum_{n=0}^{2N} |x|^n \|C_n\| = \sum_{n=0}^{2N} |x|^n \left\| \sum_{p=0}^n A_{n-p} B_p \right\| \leq \sum_{n=0}^{2N} |x|^n \sum_{p=0}^n \|A_{n-p} B_p\| \leq$$

$$\sum_{n=0}^{2N} |x|^n \sum_{p=0}^n \|A_{n-p}\| \|B_p\| = \sum_{n=0}^N \sum_{m=0}^N |x|^{n+m} \|A_n\| \|B_m\| =$$

$$= \sum_{n=0}^N |x|^n \|A_n\| \sum_{m=0}^N |x|^m \|B_m\|,$$

z której wynika, że iloczyn absolutnie δ -zbieżnych szeregów również jest absolutnie δ -zbieżny.

Załóżmy teraz, że macierz $F(x+\xi)$ rozkłada się w absolutnie δ -zbieżny szereg (19). Szereg ten pomnożony przez absolutnie zbieżny szereg funkcji $e^{(y-x-\xi)H}$ daje w wyniku szereg absolutnie δ -zbieżny. Przyjmując $A_0(x, x+\xi) = I$ i całkując otrzymamy $A_1(x, y)$ w postaci absolutnie δ -zbieżnego szeregu potęg $(y-x)$. Z drugiej strony łatwo zauważyć, że operator (25) przekształca absolutnie δ -zbieżny szereg potęg $(y-x)$ w absolutnie δ -zbieżny szereg tych potęg. Na zasadzie indukcji wynika więc ze wzoru (26), że równanie (24) ma jednoznaczne absolutnie δ -zbieżne rozwiązanie. Przyjmując

$$A_0(x, y) = e^{(y-x)H}$$

i stosując iteracje (26) otrzymamy

$$\begin{aligned} A_1(x, y) &= e^{(y-x)H} + \int_0^{y-x} e^{\xi H} F(x+\xi) e^{(y-x-\xi)H} d\xi = \\ &= [I + (y-x)P_{11}(x) + (y-x)^2 P_{12}(x) + \dots] e^{(y-x)H} = \\ &= P_1(x, y) e^{(y-x)H}, \end{aligned}$$

gdzie $P_1(x, y)$ jest absolutnie δ -zbieżnym szeregiem potęg $(y-x)$. Podstawiając do wzoru (26)

$$A_n(x, y) = P_n(x, y) e^{(y-x)H},$$

gdzie $P_n(x, y)$ jest absolutnie δ - zbieżnym szeregiem potęg $(y-x)$ i $P_n(x, x) \equiv I$, otrzymamy

$$A_{n+1}(x, y) = P_{n+1}(x, y) e^{(y-x)H},$$

gdzie $P_{n+1}(x, y)$ też jest absolutnie δ - zbieżny i $P_{n+1}(x, x) \equiv I$.
Zatem jedynym rozwiązaniem równania (24) jest funkcja

$$A(x, y) = [P_0(x) + (y-x)P_1(x) + (y-x)^2P_2(x) + \dots] e^{(y-x)H}, \quad (29)$$

$P_0(x) \equiv I$, gdzie szereg w nawiasie kwadratowym jest absolutnie δ - zbieżny. Równanie (24) przepiszemy w formie

$$A(x, y) e^{(x-y)H} = I + \int_0^{y-x} A(x, x+\xi) F(x+\xi) e^{-\xi H} d\xi. \quad (30)$$

Będziemy wyznaczać niewiadome macierze $P_1(x), P_2(x), \dots$ bezpośrednio, wstawiając funkcję (29) do równania (30):

$$\begin{aligned} (y-x) P_1(x) + (y-x)^2 P_2(x) + \dots = \\ = \int_0^{y-x} [P_0(x) + \xi P_1(x) + \xi^2 P_2(x) + \dots] e^{\xi H} F(x+\xi) e^{-\xi H} d\xi. \end{aligned} \quad (31)$$

Rozwijamy w szereg potęgowy funkcję

$$e^{\xi H} F(x+\xi) e^{-\xi H} = Q_0(x) + \xi Q_1(x) + \xi^2 Q_2(x) + \dots$$

przy czym macierze $Q_0(x), Q_1(x), Q_2(x), \dots$ wyznaczamy za pomocą wzorów (19) i (21). Wymnożenie szeregów daje:

$$\begin{aligned} [P_0(x) + \xi P_1(x) + \xi^2 P_2(x) + \dots] [Q_0(x) + \xi Q_1(x) + \xi^2 Q_2(x) + \dots] = \\ = P_0(x)Q_0(x) + \xi [P_1(x)Q_0(x) + P_0(x)Q_1(x)] + \\ + \xi^2 [P_2(x)Q_0(x) + P_1(x)Q_1(x) + P_0(x)Q_2(x)] + \dots \end{aligned} \quad (32)$$

Wstawiając szereg (32) do równania (31) i całkując otrzymamy

$$\begin{aligned} & (y-x)P_1(x) + (y-x)^2P_2(x) + (y-x)^3P_3(x) + \dots \\ &= (y-x)P_0(x)Q_0(x) + (y-x)^2 \left[P_1(x)Q_0(x) + P_0(x)Q_1(x) \right] + \\ &+ (y-x)^3 \left[P_2(x)Q_0(x) + P_1(x)Q_1(x) + P_0(x)Q_2(x) \right] + \dots, \end{aligned}$$

a stąd wynikają wzory rekurencyjne:

$$\begin{aligned} P_1(x) &= P_0(x)Q_0(x) \\ P_2(x) &= \frac{1}{2} [P_1(x)Q_0(x) + P_0(x)Q_1(x)] \\ P_3(x) &= \frac{1}{3} [P_2(x)Q_0(x) + P_1(x)Q_1(x) + P_0(x)Q_2(x)] \\ &\dots \qquad \qquad \qquad \dots \\ P_n(x) &= \frac{1}{n} \sum_{m=0}^{n-1} P_{n-1-m}(x)Q_m(x) \\ &\dots \qquad \qquad \qquad \dots \end{aligned} \tag{33}$$

Jeżeli funkcja $F(x+\xi)$ w równaniu (24) rozwija się w absolutnie δ -zbieżny szereg potęg ξ , to równanie to ma jedyne rozwiązanie (29), gdzie szereg w nawiasie kwadratowym jest absolutnie zbieżny. Wniosek ten ma znaczenie wówczas, gdy $F(x+\xi)$ jest wielomianem.

5. Faktoryzacja rozwiązania [6]

W tym rozdziale otrzymamy macierz $A(x,y)$ w postaci iloczynu wielomianów i funkcji wykładniczych. Zapiszmy równanie (7a) w postaci

$$A' = AH_0, \tag{34}$$

gdzie

$$H_0(y) = H(y)$$

jest tworzącą odcinka linii, symbol A' oznacza $A'_y(x,y)$.
Podstawmy w równaniu (34):

$$A(x,y) = A_{d1}(x,y)A_0(x,y),$$

co zapiszemy krótko

$$A = A_{d1}A_0 \quad (35)$$

Otrzymamy równanie

$$A'_{d1} = A_{d1}H_1 \quad (36)$$

gdzie

$$H_1 = (A_0H_0 - A'_0)A_0^{-1} \quad (37)$$

Macierz A_{d1} nazwiemy macierzą linii resztkowej. Linia resztkowa spełnia równanie (36) z tworzącą $H_1(x,y)$ zadaną wzorem (37). Macierz linii resztkowej powinna być możliwie bliska macierzy jednostkowej, co ma miejsce gdy tworząca $H_1(x,y)$ jest równa macierzy zerowej, czyli gdy spełnione jest równanie:

$$A'_0 = A_0H_0 \quad (38)$$

Ponieważ macierz resztkowa A_{d1} spełnia równanie (36) o takiej samej strukturze co równanie (34), można więc z macierzą A_{d1} postąpić tak samo jak z macierzą A . Kontynuując ten proces dalej uzyskuje się ciąg równań:

$$A = A_{d1}A_0$$

$$A'_0 = A_0H_0$$

$$A_{d1} = A_{d1}H_1$$

$$A_{d1} = A_{d2}A_1$$

$$A'_1 = A_1H_1$$

$$A'_{d2} = A_{d2}H_1$$

$$A_{d2} = A_{d3}A_2$$

$$A'_2 = A_2H_2$$

$$A'_{d3} = A_{d3}H_2$$

...

$$A_{dn} = A_{d,n+1}A_n$$

$$A'_n = A_nH_n$$

$$A'_{d,n+1} = A_{d,n+1}H_{n+1}$$

$$H_1 = (A_0H_0 - A'_0)A_0^{-1}$$

$$H_2 = (A_1H_1 - A'_1)A_1^{-1}$$

$$H_3 = (A_2H_2 - A'_2)A_2^{-1}$$

...

$$H_{n+1} = (A_nH_n - A'_n)A_n^{-1}$$

Proces ten jest prowadzony w kierunku uzyskania najmniejszej co do normy macierzy tworzącej H_n . Stąd otrzymujemy

$$A = A_{d1}A_0 = A_{d2}A_1A_0 = A_{d3}A_2A_1A_0 = \dots = A_{d,n+1}A_nA_{n-1}\dots A_1A_0$$

W powyższym ciągu równań najważniejsze są te, które ujęto w ramki. W praktyce proces zaczynamy od wyboru funkcji $A_0(x, y)$, a następnie obliczamy $H_1(x, y)$ przyjmując $H_0(y) = H(y)$. Potem wyznaczamy $A_1(x, y)$, a stąd $H_2(x, y)$. Postępując tak dalej w kierunku wyznaczonym przez strzałki dochodzimy do pewnej tworzącej $H_{n+1}(x, y)$, która powinna być mała co do normy. Każde z równań ujętych w ramki można zastąpić równaniem całkowym Volterry, dlatego proces rozwiązywania równania (34) może być sprowadzony do następującej procedury:

Wybieramy funkcję $A_0(x, y)$,

wyznaczamy rekurencyjnie

$$H_n(x, y) = [(A_{n-1}H_{n-1} - A'_{n-1})A_{n-1}^{-1}](x, y), \quad (39)$$

$$A_n(x, y) = I + \int_0^{y-x} A_n(x, x+\xi) H_n(x, x+\xi) d\xi. \quad (40)$$

zapisujemy rozwiązanie w formie iloczynu

$$\begin{aligned} A(x, y) &= [A_{d,n+1}A_nA_{n-1}\dots A_1A_0](x, y) \\ &\approx [A_nA_{n-1}\dots A_1A_0](x, y). \end{aligned} \quad (41)$$

Jeżeli tworząca $H_n(x, y)$ rozwija się w szereg

$$H_n(x, y) = Q_{n0}(x) + (y-x)Q_{n1}(x) + (y-x)^2 Q_{n2}(x) + \dots$$

to funkcji $A_n(x, y)$ będziemy poszukiwać w formie szeregu:

$$A_n(x, y) = I + (y-x)P_{n1}(x) + (y-x)^2 P_{n2}(x) + \dots$$

a macierze $P_{n1}(x)$ wyznaczmy ze wzorów (33):

$$\begin{aligned} P_{n1}(x) &= Q_{n0}(x) \\ P_{n2}(x) &= \frac{1}{2}[P_{n1}(x)Q_{n0}(x) + Q_{n1}(x)] \\ \dots & \dots \end{aligned}$$

We wzorze (39) zachodzi konieczność odwrócenia macierzy $A_n(x, y)$. Można to zrobić wykorzystując wzór

$$(I + x)^{-1} = I - x + x^2 - x^3 + \dots$$

słuszny przy $\|x\| < 1$. W tym przypadku za x przyjmujemy część szeregu funkcji $A_n(x, y)$, tj.:

$$(y-x)P_{n1}(x) + \dots$$

Dzięki temu otrzymamy macierz $A_n^{-1}(x, y)$ w postaci szeregu potęg $(y-x)$. Uwzględniając obcięty szereg

$$I - x + \dots + (-1)^{N \times N} x^N$$

popelniamy błąd, który można określić z równości

$$(I + x) I - x + \dots + (-1)^{N \times N} x^N = I + (-1)^{N \times N+1} x^{N+1}$$

Jeżeli przyjąć

$$A_{n-1}(x, y) = e^{(y-x)E_{n-1}(x)}, \quad (42)$$

to

$$H_n(x, y) = e^{(y-x)E_{n-1}(x)} [H_{n-1}(x, y) - E_{n-1}(x)] e^{(x-y)E_{n-1}(x)}$$

co pokrywa się z wynikiem otrzymanym w rozdziale 6. Macierze współczynników rozkładu funkcji $H_n(x, y)$ w szereg uzyskujemy ze wzorów (21). Jeżeli natomiast

$$H_n(x, y) = Q_{n0}(x) + (y-x)Q_{n1}(x) + \dots + (y-x)^N Q_{nN}(x),$$

$$A_n(x, y) = I + (y-x)P_{n1}(x) + \dots + (y-x)^M P_{nM}(x), \quad (43)$$

to

$$\begin{aligned} H_{n+1}(x, y) &= [P_{n1}(x) + (y-x)2P_{n2}(x) + \dots + (y-x)^{n+M}(n+M+1)P_{n, n+M+1}(x) - \\ &- P_{n1}(x) - (y-x)2P_{n2}(x) - \dots - (y-x)^{M-1}MP_{nM}(x)] A_n^{-1}(x, y) = \\ &= [(y-x)^{M(M+1)}P_{n, M+1}(x) + \dots + (y-x)^{N+M}(n+M+1)P_{n, n+M+1}(x)] A_n^{-1}(x, y) \end{aligned}$$

Stosując na przemian funkcje (42) i (43) otrzymamy funkcję $A(x, y)$ w postaci naprzemiennego iloczynu wielomianów potęg $(y-x)$ i macierzy wykładniczych argumentu $(y-x)$.

LITERATURA

- [1] Bellman R.: Introduction to Matrix Analysis. McGraw-Hill 1960.
- [2] Brockett R.: Lie algebras and Lie groups in control theory. Proc. of the NATO Advanced study institute held at London, August 27 - September 7, 1973, Dordrecht - Boston, D. Reidel Publishing Company, 1973, pp. 43-82.
- [3] Koźmogorow A.N., Fomin S.W.: Elementy teorii funkcji i funkcjonalnowo analiza. Nauka, Moskwa 1976.
- [4] Lankaster P.: Theory of Matrices, Academic Press 1969.
- [5] Redheffer R.M.: Novel uses of functional equations, J. Rational Mech. Anal. 3 1954, pp. 271-279.
- [6] Siwczyńska Z.: Iteracyjne metody rozwiązywania liniowych niejednorodnych obwodów o parametrach rozłożonych. Praca doktorska, Politechnika Śląska, Gliwice 1982.

ФУНКЦИОНАЛЬНЫЕ УРАВНЕНИЯ В ТЕОРИИ ЦЕПИ С РАСПРЕДЕЛЕННЫМИ
ПАРАМЕТРАМИ

Р е з ю м е

В работе разработана теория неоднородных линейных цепей с распределёнными параметрами с применением функциональных уравнений. Найдено общее решение функционального уравнения цепи. Далее рассмотрены кусочно-регулярные цепи, кусочно-однородные и кусочно-аналитические цепи. В этих случаях функциональные уравнения сведены к кусочно-интегрируемым уравнениям. Найдено решение этих интегральных уравнений методом малого параметра, итерационным методом и методов степенных рядов. Предложен также метод факторизации решения функционального уравнения.

FUNCTIONAL EQUATIONS IN THE THEORY OF THE SYSTEMS WITH
DISTRIBUTED PARAMETERS

S u m m a r y

The theory of nonhomogenous systems with distributed parameters by the means of functional equations was formulated. The general solution of circuit functional equations was given. Piecewise differentiable, piecewise homogenous, and piecewise analytic circuits were examined. The functional equations of this cases are reduced to integral equations suitable for the pieces. The solution of the integral equations with the use of perturbation method, step by step method and power series method is given. The factorization of functional equation solution is proposed.